

ZÁPADOČESKÁ UNIVERZITA V PLZNI  
**FAKULTA STROJNÍ**

Studijní program: N2301 Strojní inženýrství  
Studijní obor: 2301T001 Dopravní a manipulační technika

## **DIPLOMOVÁ PRÁCE**

Návrh mechanického pohonu tramvajového vozidla s čelní převodovkou

Autor: **Bc. Dmytro BARNA**

Vedoucí práce: **Doc. Ing. Petr HELLER, CSc.**

Akademický rok 2017/2018

## ZADÁNÍ DIPLOMOVÉ PRÁCE

(PROJEKTU, UMĚLECKÉHO DÍLA, UMĚLECKÉHO VÝKONU)

Jméno a příjmení: **Bc. Dmytro BARNA**  
Osobní číslo: **S15N0029P**  
Studijní program: **N2301 Strojní inženýrství**  
Studijní obor: **Dopravní a manipulační technika**  
Název tématu: **Návrh mechanického pohonu tramvajového vozidla s čelní převodovkou**  
Zadávací katedra: **Katedra konstruování strojů**

### Z á s a d y p r o v y p r a c o v á n í :

Základní požadavky:

Hledat možnost použití jednostupňové převodovky. Trakční elektrický motor o výkonu cca 100 kW a otáčkách 4000 ot/min.

Základní technické údaje:

Technické parametry jsou uvedeny v příloze zadání.

Osnova diplomové práce:

1. Rešerše pohonu dvojkolí tramvajových vozidel.
2. Návrh a volba varianty pohonu.
3. Koncepce podvozku s vybraným pohonem.
4. Výkresová dokumentace, výpočty.
5. Zhodnocení práce, závěr.

Rozsah grafických prací: **dle potřeby**  
Rozsah kvalifikační práce: **50-70 stran A4**  
Forma zpracování diplomové práce: **tištěná/elektronická**  
Seznam odborné literatury:

**HELLER, P., DOSTÁL, J. Kolejová vozidla III.. Plzeň: ZČU, 2011**

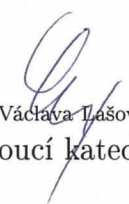
*Podkladový materiál, výkresy, katalogy, apod. poskytnuté zadavatelem úkolu.*

Vedoucí diplomové práce: **Doc. Ing. Petr Heller, CSc.**  
Katedra konstruování strojů  
Konzultant diplomové práce: **Ing. Antonín Roub**  
ŠKODA TRANSPORTATION s.r.o.

Datum zadání diplomové práce: **19. září 2017**  
Termín odevzdání diplomové práce: **21. května 2018**



Doc. Ing. Milan Edl, Ph.D.  
děkan



Doc. Ing. Václava Lášová, Ph.D.  
vedoucí katedry

V Plzni dne 19. září 2017

## **Prohlášení o autorství**

Předkládám tímto k posouzení a obhajobě diplomovou práci, zpracovanou na závěr studia na Fakultě strojní Západočeské univerzity v Plzni.

Prohlašuji, že jsem tuto diplomovou práci vypracoval samostatně, s použitím odborné literatury a pramenů, uvedených v seznamu, který je součástí této diplomové práce.

V Plzni dne: .....

.....  
podpis autora

## **Poděkování**

Tímto chci poděkovat vedoucímu mé práce panu Doc. Ing. Petru Hellerovi, CSc. za cenné rady, odborné připomínky a metodické vedení práce. Také bych chtěl poděkovat panu Ing. Robertu Zemánkovi za veškeré poskytnuté dokumenty a informace z praxe. V neposlední řadě bych velice rád poděkoval mé rodině za podporu při studiu.

## ANOTAČNÍ LIST DIPLOMOVÉ PRÁCE

<b>AUTOR</b>	Příjmení Bc. Barna	Jméno Dmytro		
<b>STUDIJNÍ OBOR</b>	2301T001 „Dopravní a manipulační technika“			
<b>VEDOUcí PRÁCE</b>	Příjmení (včetně titulů) Doc. Ing. Heller, CSc.	Jméno Petr		
<b>PRACOVIŠTĚ</b>	ZČU - FST - KKS			
<b>DRUH PRÁCE</b>	<b>DIPLOMOVÁ</b>	<b>BAKALÁŘSKÁ</b>	Nehodící se škrtněte	
<b>NÁZEV PRÁCE</b>	Návrh mechanického pohonu tramvajového vozidla s čelní převodovkou			

<b>FAKULTA</b>	strojní	<b>KATEDRA</b>	KKS	<b>ROK ODEVZD.</b>	2018
----------------	---------	----------------	-----	--------------------	------

### POČET STRAN (A4 a ekvivalentů A4)

<b>CELKEM</b>	101	<b>TEXTOVÁ ČÁST</b>	58	<b>GRAFICKÁ ČÁST</b>	43
---------------	-----	---------------------	----	----------------------	----

<b>STRUČNÝ POPIS (MAX 10 ŘÁDEK)</b>  <b>ZAMĚŘENÍ, TÉMA, CÍL POZNATKY A PŘÍNOSY</b>	<p>Diplomová práce obsahuje návrh dvoustupňové čelní převodovky pro částečně nízkopodlažní tramvaj. Výpočet ozubení byl proveden pomocí programu Autodesk Inventor 2016. Převodovka je opatřena všemi potřebnými komponenty pro správnou funkci. Samotná převodovka je zakomponována do pohonného soustrojí, které je schematicky umístěno v podvozku.</p>
<b>KLÍČOVÁ SLOVA</b>  <b>ZPRAVIDLA JEDNOSLOVNÉ POJMY, KTERÉ VYSTIHUJÍ PODSTATU PRÁCE</b>	<p>Tramvaj, čelní ozubení, převodovka, hřídel, pohon, trakční motor, podvozek, Autocad Inventor 2016</p>

## SUMMARY OF DIPLOMA SHEET

<b>AUTHOR</b>	<b>Surname</b> Bc. Barna	<b>Name</b> Dmytro	
<b>FIELD OF STUDY</b>	2301T001 “Transport and handling machinery“		
<b>SUPERVISOR</b>	<b>Surname (Inclusive of Degrees)</b> Doc. Ing. Heller,CSc.	<b>Name</b> Petr	
<b>INSTITUTION</b>	ZČU - FST - KKS		
<b>TYPE OF WORK</b>	<b>DIPLOMA</b>	<b>BACHELOR</b>	<b>Delete when not applicable</b>
<b>TITLE OF THE WORK</b>	Design of mechanical drive of a tram with a front gearbox		

<b>FACULTY</b>	Mechanical Engineering	<b>DEPARTMENT</b>	Machine Design	<b>SUBMITTED IN</b>	2018
----------------	------------------------	-------------------	----------------	---------------------	------

### NUMBER OF PAGES (A4 and eq. A4)

<b>TOTALLY</b>	101	<b>TEXT PART</b>	58	<b>GRAPHICAL PART</b>	43
----------------	-----	------------------	----	-----------------------	----

<b>BRIEF DESCRIPTION TOPIC, GOAL, RESULTS AND CONTRIBUTIONS</b>	The diploma thesis includes a proposal of a two-stage front gearbox for a partially low-rise tram. Gear calculation was done with Autodesk Inventor 2016. The gearbox has got all the necessary components for proper operation. The gearbox it self is placed in a powerplant that is schematically located in the chassis.
<b>KEY WORDS</b>	Tram, Front teeth, Gearbox, Shaft, Drive, Traction Engine, Chassis, Autocad Inventor 2016

## Obsah

<b>1</b>	<b>Zkratky a symboly .....</b>	<b>3</b>
<b>2</b>	<b>Úvod .....</b>	<b>8</b>
2.1	Cíl práce.....	8
2.2	Volba koncepce .....	8
2.3	Faktory ovlivňující konstrukci pohonu a podvozku .....	10
2.3.1	<i>Výška podlahy .....</i>	<i>10</i>
2.3.2	<i>Možnost natočení podvozku vůči skříní .....</i>	<i>11</i>
2.3.3	Velikost kol .....	12
2.3.4	<i>Omezení spodního obrysu vozidla .....</i>	<i>12</i>
<b>3</b>	<b>Rešerše pohonu dvojkolí tramvajových vozidel.....</b>	<b>13</b>
3.1	Pohon motorem s osou kolmou k nápravě.....	13
3.2	Pohon s osou motoru rovnoběžnou s nápravou .....	15
3.3	Převodovky pro pohon tramvajových vozidel.....	16
3.3.1	Motor s osou kolmou k nápravě .....	16
3.3.2	Pohony s osou motoru rovnoběžnou s nápravou .....	18
3.4	Trakční elektrické motory .....	20
3.4.1	<i>Porovnání motorů .....</i>	<i>21</i>
3.5	Volba varianty pohonu .....	22
<b>4</b>	<b>Vlastní návrh pohonu .....</b>	<b>23</b>
4.1	Výstupní parametry vozidla.....	23
4.2	Volba motoru .....	24
4.3	Návrh jednostupňové převodovky s čelním soukolím .....	25
4.4	Dvoustupňová převodovka s čelním soukolím.....	26
4.4.1	<i>Předběžné dílčí převody .....</i>	<i>26</i>
4.4.2	<i>Výpočet točivých momentů a otáček jednotlivých hřídeli .....</i>	<i>27</i>
4.4.3	<i>Vstupní hodnoty pro výpočet ozubených kol .....</i>	<i>28</i>
4.5	Výpočet reakcí v ložiskách.....	31
4.5.1	<i>Výpočet reakce na vstupní hřídeli .....</i>	<i>32</i>
4.5.2	<i>Výpočet na předlohové hřídeli .....</i>	<i>33</i>
4.5.3	<i>Výpočet na výstupní hřídeli .....</i>	<i>35</i>
4.6	Návrh ložisek.....	36
4.7	Pevnostní kontrola hřídele na ohyb a krut .....	39



4.7.1	<i>Kontrola vstupní hřídele</i> .....	39
4.7.2	<i>Kontrola předlokové hřídele</i> .....	40
4.8	Výpočet nalisování ozubeného kola na nápravu .....	42
4.9	Výpočet těsného pera.....	44
4.10	Konstrukce převodovky.....	45
4.10.1	<i>Popis vnitřního uspořádání převodovky</i> .....	46
4.10.2	<i>Vnější popis převodovky</i> .....	47
<b>5</b>	<b>Koncepce podvozku</b> .....	<b>48</b>
5.1	Zatížení nápravy .....	48
5.2	Návrh nápravového ložiska .....	50
5.3	Ložisková skříň.....	51
5.4	Primární vypružení .....	51
5.5	Zubová spojka.....	52
5.6	Zavěšení převodovky.....	52
5.7	Pohonné ústrojí.....	53
5.8	Další části podvozku.....	53
<b>6</b>	<b>Závěr</b> .....	<b>54</b>
<b>7</b>	<b>Použitá literatura</b> .....	<b>55</b>
<b>8</b>	<b>Internetové zdroje</b> .....	<b>55</b>
<b>9</b>	<b>Seznam obrázků</b> .....	<b>56</b>
<b>10</b>	<b>Seznam tabulek</b> .....	<b>57</b>
<b>11</b>	<b>Výkresová dokumentace</b> .....	<b>58</b>

## 1 Zkratky a symboly

ČSN	Česká státní norma
EN	Evropská norma
ISO	International Organization for Standardization
TK	Temeno kolejnice
Max.	Maximální hodnota
Pa	Jednotka tlaku
m	Jednotka délky
N	Jednotka síly
Nm	Jednotka momentu síly
kg	Jednotka hmotnosti
°	Jednotka rovinného úhlu
W	Jednotka výkonu
12	Soukolí pastorek 1 – kolo 2
34	Soukolí pastorek 3 – kolo 4
A,B,C,D,E,F	Podpory
KKS	Katedra konstruování strojů
FST	Fakulta strojní
ZČU	Západočeská univerzita v Plzni

<b>Symbol</b>	<b>Název symbolu</b>	<b>Jednotky</b>
$D_{\max}$	Průměr nového kola tramvaje	mm
$D_{\min}$	Průměr ojetého kola tramvaje	mm
$D$	Střední průměr tramvajového kola	mm
$v$	Rychlost tramvaje	m/s
$n_k$	Výstupní otáčky tramvaje	ot/min
$o_k$	Obvod tramvajového kola	mm
$Q_N$	Nápravové zatížení	N
$\mu$	Součinitel adheze	-
$T_k$	Tečná síla na tramvajovém kole	N
$M_k$	Krouticí moment na kole	Nm
$P_k$	Výstupní výkon na kole	W
$i_k$	Počet hnacích kol	-
$P_{Pk}$	Potřebný výkon na kole	W
$P_P$	Potřebný výkon na dvojkolí	W
$\eta_c$	Minimální účinnost soustrojí	-
$P_M$	Výkon motoru	W
$n_M$	Otáčky motoru	ot/min
$M_M$	Krouticí moment motorů	Nm
$i_p$	Celkový převodový poměr	-
$m_j$	Modul pro jednostupňovou převodovku	mm
$\beta$	Úhel sklonu zubů	°
$c$	Materiálová konstanta	MPa
$\Psi$	Součinitel tvrzení zubů pro čelní soukolí	-
$h$	Výška obrysu pro neodpružené součásti	mm
$d_{2j}$	Jednostupňový roztečný průměr ozubeného kola	mm
$i_{12p}$	Předběžný převodový poměr prvního soukolí	-
$i_{34p}$	Předběžný převodový poměr druhého soukolí	-
$Z_1$	Počet zubů pastorku 1	-
$Z_2$	Počet zubů ozubeného kola 2	-
$Z_3$	Počet zubů pastorku 3	-
$Z_4$	Počet zubů ozubeného kola 4	-
$i_{12}$	Skutečný převodový poměr prvního soukolí	-
$i_{34}$	Skutečný převodový poměr druhého soukolí	-
$i$	Skutečný převodový poměr	-

$\Delta i$	Odchylka převodového poměru	%
$n$	Skutečné otáčky	ot/min
$\Delta n$	Odchylka otáček	%
$\eta_i$	Účinnost ozubených převodů	-
$n_1$	Otáčky vstupní hřídele	ot/min
$M_{k1}$	Krouticí moment vstupní hřídele	Nm
$n_2$	Otáčky předlokové hřídele	ot/min
$M_{k2}$	Krouticí moment předlokové hřídele	Nm
$n_3$	Otáčky výstupní hřídele	ot/min
$M_{k3}$	Krouticí moment výstupní hřídele	Nm
$M_{MAX}$	Maximální krouticí moment motoru	Nm
$\lambda_m$	Koeficient přetížení momentem	-
$n_{Mmax}$	Otáčky při maximálním momentu motoru	ot/min
$M_{Vmax}$	Maximální výstupní moment na nápravě	Nm
$m_{12}$	Modul pro soukolí 12	mm
$m_{34}$	Modul pro soukolí 34	mm
$a_{12}$	Osová vzdálenost prvního soukolí	mm
$a_{34}$	Osová vzdálenost druhého soukolí	mm
$b_{w12}$	Šířka ozubených kol soukolí 12	mm
$b_{w34}$	Šířka ozubených kol soukolí 34	mm
$K_A$	Součinitele vnějších dynamických sil	-
$S_{Hmin}$	Minimální bezpečnost v ohybu pro ozubená kola	-
$S_{Fmin}$	Minimální bezpečnost v dotyku pro ozubená kola	-
$d_{1or}$	Orientační průměr pro vstupní hřídel	mm
$d_{2or}$	Orientační průměr pro předlohou hřídel	mm
$\sigma_{pt}$	Mez pevnosti v tahu	MPa
$\sigma_{kt}$	Mez kluzu	MPa
$\sigma_{Hlim}$	Mez únavy v ohybu	MPa
$\sigma_{Flim}$	Mez únavy v dotyku	MPa
$W_k$	Průřezový modul v krutu	mm <sup>3</sup>
$\tau_{Dk}$	Dovolené napětí v krutu	MPa
$d_{4a}$	Hlavový průměr kola 4	mm
$F_{a12}$	Axiální síla na prvním soukolí	N
$F_{r12}$	Radiální síla na prvním soukolí	N
$F_{o12}$	Obvodová síla na prvním soukolí	N

$F_{a34}$	Axiální síla na druhém soukolí	N
$F_{r34}$	Radiální síla na druhém soukolí	N
$F_{o34}$	Obvodová síla na druhé soukolí	N
$l_1, l_2, l_3, l_4, l_5, l_6, l_7$	Vzdálenosti podpor	mm
$d_1$	Roztečný průměr pastorku 1	mm
$d_2$	Roztečný průměr ozubeného kola 2	mm
$d_3$	Roztečný průměr pastorku 3	mm
$d_4$	Roztečný průměr ozubeného kola 4	mm
$RA_y, RA_z, RA_x$	Reakce v podpoře A	N
$RB_y, RB_x$	Reakce v podpoře B	N
$RC_y, RC_z, RC_x$	Reakce v podpoře C	N
$RD_y, RD_x$	Reakce v podpoře D	N
$RE_y, RE_z, RE_x$	Reakce v podpoře E	N
$RF_y, RF_x$	Reakce v podpoře F	N
$RA, RB, RC, RD, RE, RF$	Výsledné radiální reakce v podporách	N
$p$	Exponent pro čarový styk	-
$F_a, F_{a1}, F_{a2}, F_{a3}$	Axiální síly v ložiskách	N
$F_r, F_{r1}, F_{r2}, F_{r3}$	Radiální síly v ložiskách	N
$C$	Dynamická únosnost ložiska	N
$e, Y$	Výpočtové součinitele pro ložiska	-
$F_e, F_{e1}, F_{e2}, F_{e3}$	Ekvivalentní dynamické zatížení ložisek	N
$L_{ABhod}$	Životnost ložiska A a B	hod
$L_{CDhod}$	Životnost ložiska C a D	hod
$L_{EFhod}$	Životnost ložiska E a F	hod
$W_o$	Modul průřezů v ohybu	mm <sup>3</sup>
$S_D$	Bezpečnost pro houževnaté materiály	-
$\sigma_D$	Dovolené napětí	MPa
$y_{maxOz}$	Maximální průhyb pod ozubeným kolem	mm
$y_{maxL}$	Maximální průhyb mezi ložisky	mm
$\tau_{k1}, \tau_{k2}$	Napětí v krutu pro hřídel 1 a 2	MPa
$\sigma_{o1}, \sigma_{o2C}, \sigma_{o2D}$	Ohybové napětí pro hřídel 1 a 2	MPa
$d_{m1}$	Nejmenší průměr hřídele 1	mm
$d_{h1}$	Největší průměr hřídele 1	mm
$M_{oAYZ}, M_{oAXZ}$	Ohybový moment od reakce A v rovině YZ a XZ	Nm
$M_{oCYZ}, M_{oCXZ}$	Ohybový moment od reakce C v rovině YZ a XZ	Nm

$M_{oDYZ}, M_{oDXZ}$	Ohybový moment od reakce D v rovině YZ a XZ	Nm
$\sigma_{red1}, \sigma_{red2}$	Redukované napětí pro hřídel 1 a 2	MPa
$d_{h2}$	Největší průměr hřídele 2	mm
f	Součinitel tření	-
L	Délka nalisovaného spoje	mm
E	Modul pružnosti v tahu	MPa
$d_0$	Vnitřní průměr nápravy	mm
$d_{11}$	Vnitřní průměr nápravy	mm
$d_{21}$	Vnější průměr náboje	mm
$s_f$	Součinitel bezpečnosti proti prokluzu	-
$C_1, C_2$	Výpočtové koeficienty pro nalisování	-
$p_{1potř}$	Potřebný tlak v nalisovaném spoji	MPa
$\Delta d_{potř}$	Minimální potřebný přesah pro lisovaný spoj	mm
$e_j, e_i, e_k, e_e,$	Vzdálenosti hodnot uložení	mm
$\Delta d_{max}$	Maximální průměr nalisování	mm
$p_{max}$	Maximální tlak ve spojované ploše	MPa
$\sigma_{redN}, \sigma_{redH}$	Redukované napětí na hřídeli a náboji	MPa
$b_p$	Šířka pera	mm
$h_p$	Výška pera	mm
$l_p$	Délka pera	mm
$d_{h2}$	Průměr hřídele pod spojením perem	mm
$p_D$	Dovolený tlak	MPa
$\tau_{Ds}$	Dovolené napětí ve smyku	MPa
$S_p, S_s$	Velikost plochy pro otláčení a smyk	mm <sup>2</sup>
$\delta, \delta_p, \delta_z$	Empirické rozměry skříně převodovky	mm
$L_{Not}$	Otáčková životnost nápravového ložiska	ot/min
$L_S$	Požadovaná trvanlivost nápravových ložisek	km
$L_{Sot}$	Otáčková životnost nápravových ložisek	ot/min

## 2 Úvod

### 2.1 Cíl práce

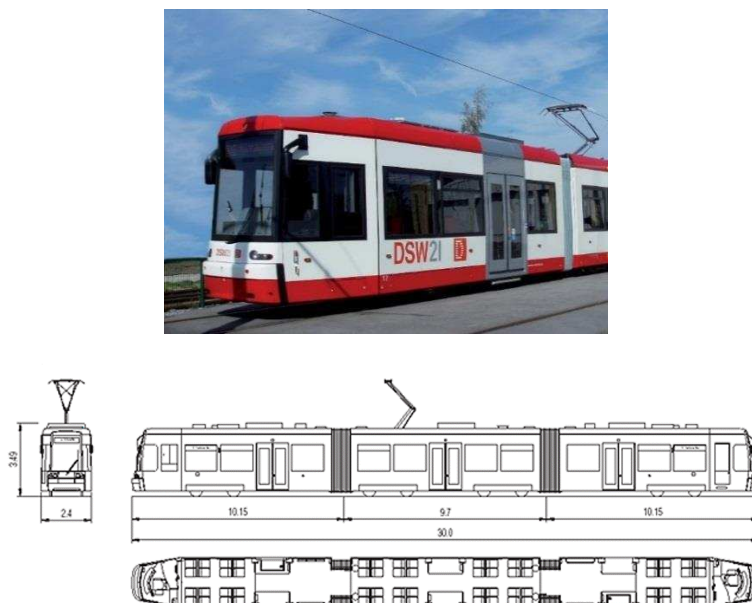
Cílem práce je navrhnout pohon tramvajového vozidla s použitím čelní převodovky. Pohon bude prováděn pomocí trakčního elektrického motoru o výkonu přibližně 100 kW a otáčkách 4000 ot/min. Hlavním úkolem je najít možnost použití jednostupňové čelní převodovky. Úkolem další části práce je navržený pohon zakomponovat do podvozku vozidla.

### 2.2 Volba koncepce

V zadání není upřesněno, pro jaký typ tramvaje se má návrh provádět. Podvozek včetně pohonu se odvíjí od koncepce vozidla. Konkrétně jakou kapacitu tramvaj má a její rozměrové parametry. Z těchto vlastností pak vyplývá celková hmotnost tramvaje a potřebný výkon pohonu. Abychom mohli provádět návrh, je potřeba určit o jakou koncepci tramvaje se jedná.

Volba koncepce byla ovlivněna požadavkem použití čelní převodovky. V úvahu bereme také možnost použití čelní jednostupňové převodovky. Z konstrukčního hlediska dané provedení nelze umístit pod nízkou podlahou, protože při použití větších převodových poměrů, nabývají čelní ozubená kola velkých rozměrů. Dále pak daný typ převodovky nelze umístit vně rámu podvozku z důvodu polohy motoru vůči nápravě, kde by bylo nutné použít kuželový převod. Z přístupnosti parametru koncepcí a s ohledem na nutnost použití čelní převodovky zvolíme provedení tramvaje částečně nízkopodlažní.

Pro tuto práci je zvolena tramvaj Flexity Classic od firmy Bombardier, pro kterou byly získány základní parametry. Tramvaje Flexity Classic jsou využívány v německých městech Dortmund a Frankfurt. Jedná se o tříčlánkové vozidlo. Nízká úroveň vstupů u všech dveří usnadňuje snadný nástup a výstup z vozidla. Tramvaje mají délku 30 metrů, a proto mohou přepravovat až 178 cestujících, z toho 64 sedících. Pro zvýšení pohodlí a bezpečnosti cestujících jsou nové tramvaje vybaveny klimatizací a systémem video pozorování. Možnost bezbariérového přístupu pro uživatele invalidních vozíků. [9]

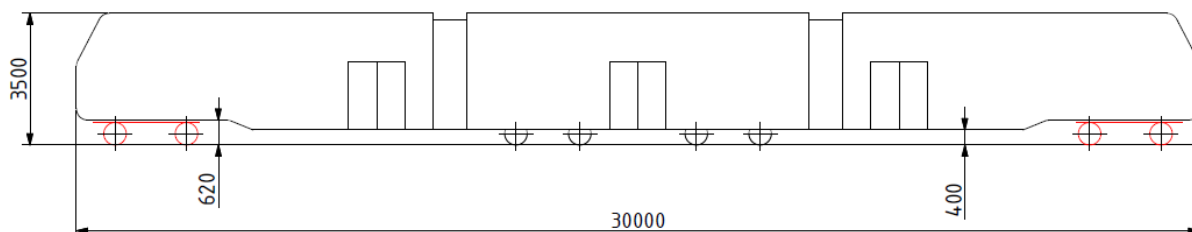


Obrázek 1: Bombardier Flexity Classic [9]

Tabulka 1: Parametry tramvaje Flexity Classic [9]

Délka vozů	30 m
Délka přes nárazníky	31 m
Výška	3,54 m
Šířka	2,4
Rozchod	1435 mm
Výška nástupní/výstupní podlahy	400 mm
Výška podlahy nad hnacími podvozků	620 mm
Nízkopodlažnost	70%
Průměr kola (nový/opotřeбенý)	600/520 mm
Hmotnost prázdného vozidla	42 t
Hmotnost vozidla (2/3 naložena)	54,9 t
Maximální zatížení nápravy	83,4 kN
Tlak na nárazník	300 kN
Proud napájení	600/750 V
Maximální rychlost	70 m/s
Sedících míst	64
Stojících míst	114

Na obrázku 1. je zobrazena varianta Flexity Classic s 100% nízkou podlahou. Získané parametry v tabulce 1. však popisují parametry dané tramvaje provedenou jako částečně nízkopodlažní, kde hodnoty dvou výškových stupňů jsou 620/400 mm. Výsledná koncepce, pro kterou bude navrhován pohon, je zobrazena na obrázku 2. Skládá se ze tří článků a čtyř otočných podvozků. Dva z nich jsou hnací a dva běžné. Hnací podvozky jsou umístěny pod krajními články, přesněji pod kabinou strojvedoucího, aby nezasahovaly do interiéru pro cestující. Dva běžné podvozky jsou umístěny pod středním článkem, čímž se docílí nízké podlahy pro snadnou výměnu cestujících. V práci budeme řešit pouze podvozek hnací, který je umístěn pod vysokou podlahou. Řešený podvozek je na obrázku 2. označený červenou barvou.



Obrázek 2: Řešená koncepce tramvaje

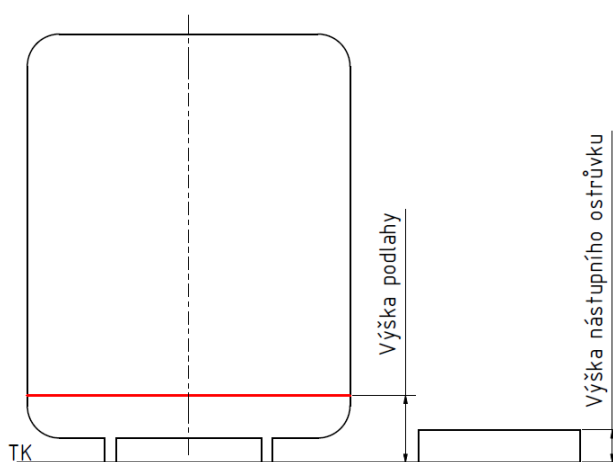


## 2.3 Faktory ovlivňující konstrukci pohonu a podvozku

Návrh pohonu a podvozku ovlivňuje spousta faktorů, které je třeba vzít v potaz. Nejdůležitější čtyři parametry tramvaje, které hrají rozhodující roli v prostorových vlastnostech podvozku a jeho komponent jsou: výška podlahy, otáčení podvozku, velikost kol a omezení spodního obrysu vozidla.

### 2.3.1 Výška podlahy

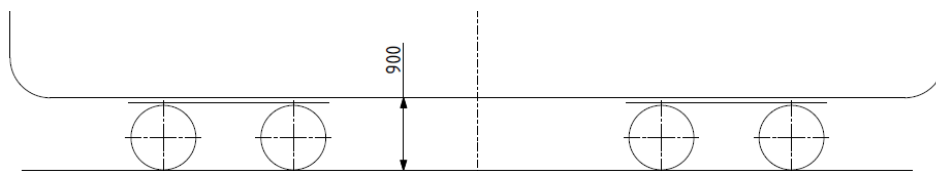
Nejdůležitějším parametrem je výška podlahy tramvajového vozidla. Je úzce spjata s výškou nástupní hrany nad spojnicí temen kolejnic, je rovna hodnotě největšího tzv. šlápnutí, která se pohybuje v rozmezí 160 až 200 mm. Je měřena od temene kolejnice, daný výraz je dále v práci označován jako TK. Výška ovlivňuje snadnou přístupnost pro cestující a rychlost jejich výměny. Z konstrukčního hlediska výška podlahy určuje množství prostoru pod skříní vozidla, které je možné využít pro umístění podvozku a jeho komponent. [1,3]



Obrázek 3: Výška podlahy

### Vysoká podlaha

O vysokopodlažním provedení hovoříme, pokud výška podlahy po celé délce tramvaje má hodnotu okolo 900 mm. Daný rozměr poskytuje velký prostor pro podvozkové komponenty. Za další výhodu tohoto provedení se považuje spolehlivost a jednoduchost. Nevýhodou je nastupování a vystupování z tramvaje. Cestující musí překonat velkou překážku, proto jsou tyto tramvaje opatřeny schůdky. U městské dopravy, kde je potřeba rychlé výměny cestujících, se vysoká podlaha nepoužívá. [3]

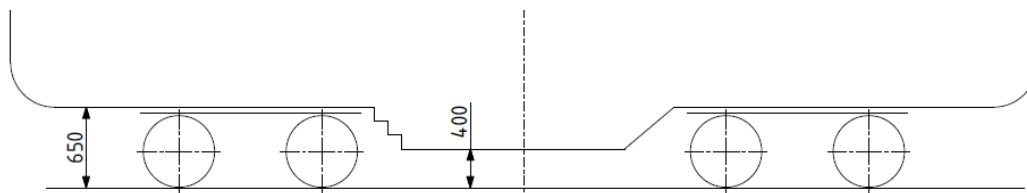


Obrázek 4: Vysokopodlažní provedení

### Částečně nízká podlaha

Daná koncepce je střední cestou mezi vysokou a nízkou podlahou. Má dvě výškové úrovně. Pro snadný nástup a výstup je snaha snížit podlahu pod hodnotu 400 mm, čehož lze docílit v prostorech mimo podvozky. Dále pak obsahuje druhou úroveň, zvýšenou kvůli podvozkům na 600 - 700 mm. Podvozky jsou z tohoto důvodu umístěny pod kabinu strojvedoucího, aby nezasahovaly do prostoru pro cestující. Přechod mezi jednotlivými

výškami je prováděn pomocí schodů nebo rampy. Je však snaha snižovat výšku na všech úrovních. Daný typ podlahy je velmi často používaný pro městskou dopravu. [3]



Obrázek 5: Částečně nízkopodlažní provedení

### Nízká podlaha

Pro nízkopodlažní tramvaj platí, že nástupní výška při ojetých (nových) kolech a prázdném vozidle nesmí být vyšší než 400 mm. Musí být zajištěn nástup do vozu bez schodů a plynulý průchod tramvají. Množství nízké podlahy v tramvaji se udává procentem nízké podlahy. Je zde však omezen prostor pro podvozek a jeho komponenty včetně dvojkolí. Kvůli tomuto omezení se pro nízkopodlažní tramvaje využívají menší kola, nápravnice nebo motor umístěný vně podvozku. [1,3]

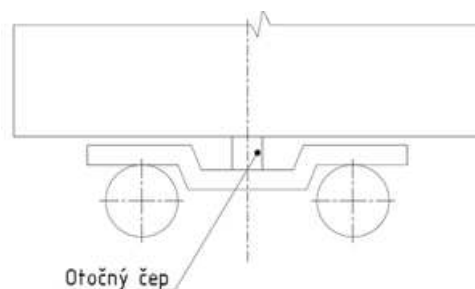


Obrázek 6: Nízkopodlažní provedení

### 2.3.2 Možnost natočení podvozku vůči skříní

#### Otočný podvozek

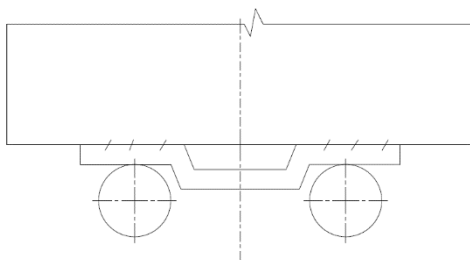
Podvozek je otočně spojen se skříní nejčastěji pomocí otočného čepu. Dané provedení umožňuje natočení podvozku vůči skříní až o  $12^\circ$ . Proto je vhodnější pro tratě obsahující oblouky. Zamezuje velkému namáhání kol a koleje, ale více omezuje možnost použití nízké podlahy, protože pohon a jiné komponenty jsou otáčeny s podvozkem. Z konstrukčního hlediska musí podvozek obsahovat potřebná zařízení pro otočení pod skříní. [3]



Obrázek 7: Otočný povozek

#### Neotočný podvozek

Výhodou daného podvozku oproti otočnému je konstrukční jednoduchost a snadnější zabudování nízké podlahy. Podvozek se v oblouku natáčí současně se skříní. Nevýhodou je větší namáhání kolejí, a tím rychlejší opotřebení kol a kolejí způsobené příčnými silami při průjezdu obloukem. Méně klidný chod při vyšších rychlostech. [3]



Obrázek 8: Neotočný podvozek

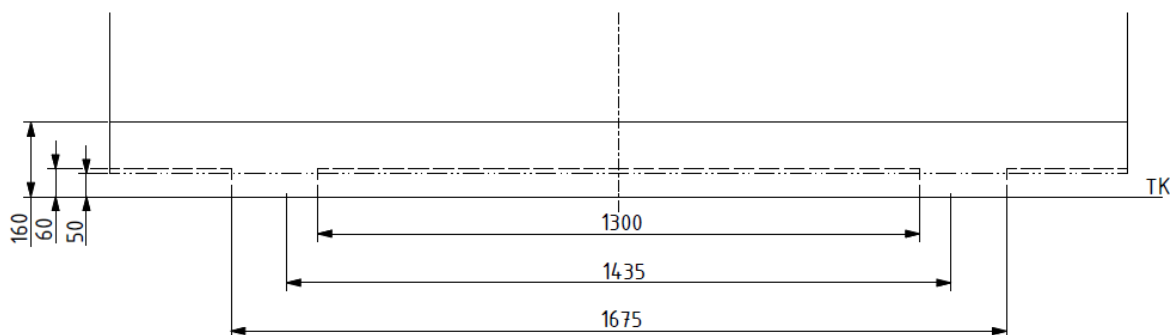
### 2.3.3 Velikost kol

V případě použití částečně nízkopodlažního nebo nízkopodlažního vozidla musí být použita i menší kola. To však vede k omezení prostorových možností podvozku. Dochází také k rychlejšímu opotřebení kola a přenášení menšího nápravového zatížení. Dle normy ČSN 28 1300 je maximálně přípustná svíslá síla mezi kolem a kolejnicí 110 kN. [2,3]

### 2.3.4 Omezení spodního obrysu vozidla

Dle normy ČSN 28 0318, která stanovuje omezení spodního obrysu vozidla, určuje odstupy od spojnice TK při maximálním ojetí obručí kol pro:

- základní část obrysu pro vozidla (odpružené součásti vozidel při zatížení)
- obrys pro neodpružené součásti vozidel
- obrys pro ochranné rámy a zařízení vozidel. [2]



OSA OBRYSU PRO VOZIDLO .....  
 ZÁKLADNÍ ČÁST OBRYSU PRO VOZIDLA .....  
 (PRO ODPRUŽENÉ ČÁSTI)  
 OBRYŠ PRO NEODPRUŽENÉ ČÁSTI VOZIDEL .....  
 OBRYŠ PRO OCHRANNÉ ŠTÍTY A RÁMY .....

Obrázek 9: Omezení spodního obrysu vozidla [2]

### 3 Rešerše pohonu dvojkolí tramvajových vozidel

Aby docházelo k pohonu tramvaje, musí hnací vozidlo obsahovat minimálně jedno hnací dvojkolí. Pohon zajišťuje přenos výkonu (krouticího momentu) od zdroje, kterým je většinou trakční elektrický motor na dvojkolí. Pohon musí vyhovovat několika důležitým požadavkům. Musí přenášet potřebný výkon, ale přitom jeho rozměry jsou omezeny prostorem podvozku. Zároveň je potřeba po celou dobu životnosti tramvaje pohon udržovat, popřípadě opravovat. Z toho vyplývá, že pohon má mít co nejmenší rozměry, levnou a jednoduchou údržbu. V dnešní době je nejčastěji používán individuální pohon dvojkolí. Pomocí trakčního eklektického motoru dochází k individuálnímu pohonu každého dvojkolí. Výhodou je jednodušší konstrukce a snadný přívod energie. Nevýhodou je možnost prokluzu při odlehčení nebo ztrátě adheze. [3]

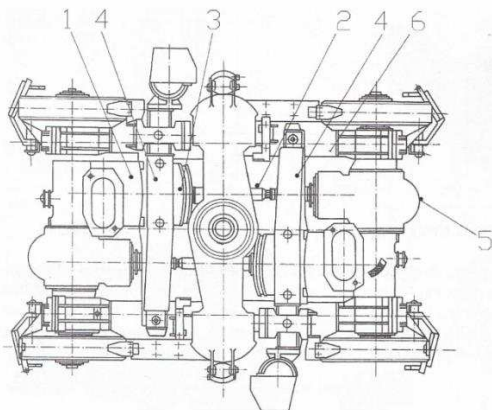
Tabulka 2: Rozdělení pohonu dvojkolí dle umístění osy motoru [3]

Trakční motor s osou kolmou k nápravě	<input type="checkbox"/> Pohon jednoho dvojkolí s tuhou nápravou uvnitř rámu
	<input type="checkbox"/> Pohon jednoho dvojkolí s tuhou nápravou vně rámu
	<input type="checkbox"/> Pohon trakčním motorem přes dvě čelní převodovky
Trakční motor s osou rovnoběžnou s nápravou	<input type="checkbox"/> Pohon kloubovou hřídelí procházející dutým pastorkem
	<input type="checkbox"/> Závěškový pohon
	<input type="checkbox"/> Pohon dutou hřídelí kolem nápravy

#### 3.1 Pohon motorem s osou kolmou k nápravě

##### Pohon jednoho dvojkolí s tuhou nápravou uvnitř rámu

Daný typ pohonu má veškeré hnací soustrojí rozmístěno mezi dvojkolím. Pohon má uplatnění pro vozidla městské hromadné dopravy s vysokopodlažním provedením. Trakční motor je zavěšen na motorovém příčníku podvozku (4). Motor přes kotoučovou brzdu (3) a kloubovou hřídel (2) pohání hypoidní převodovku (5). Tato převodovka je spojena s nápravou pomocí „kalhot“, kterými jsou ložiska mazána olejem z převodovky. Jedním z představitelů je pohon v podvozku tramvají typu T1, T2, T3. [3]



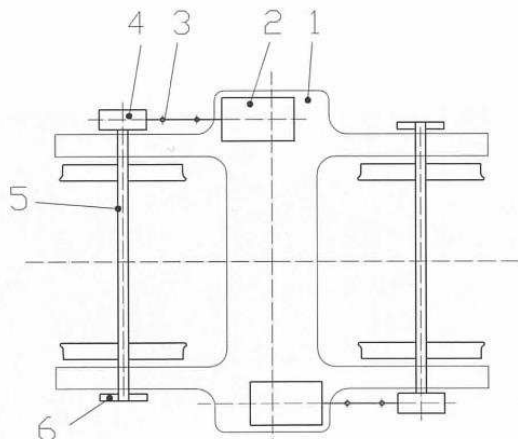
Obrázek 10: Motor kolmý k nápravě uvnitř rámu [3]



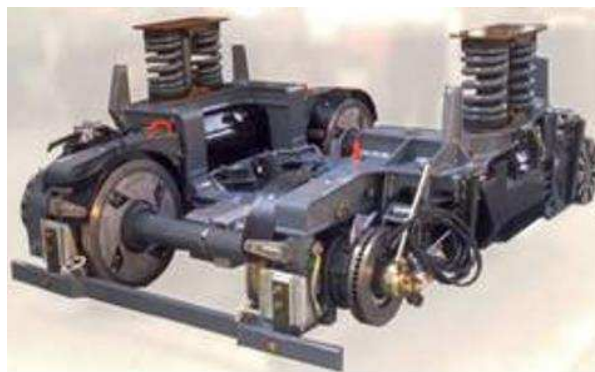
Obrázek 11: Podvozek KOMFORT [3]

### Pohon jednoho dvojkolí s tuhou nápravou vně rámu

Daný typ oproti předchozímu umožňuje použití nízké podlahy. Prostor v podélné ose podvozku je volný, hnací soustrojí je umístěno vně rámu. Trakční asynchronní motor (2) je připevněn na vnější straně rámu (1) podvozku. Přes kloubovou hřídel (3) je poháněna kuželová převodovka s pružnou spojkou (4), od ní je poháněné dvojkolí (5). Na opačném konci dvojkolí je upevněna kotoučová brzda (6). [3]



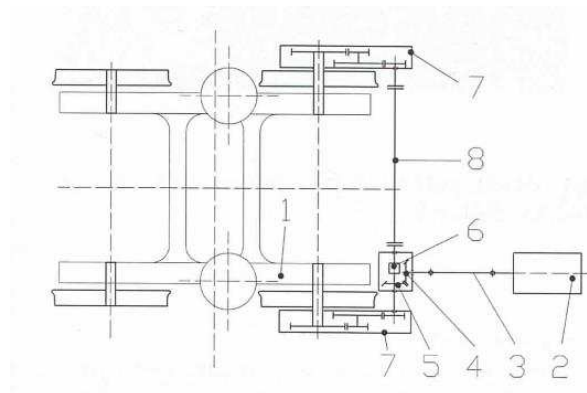
Obrázek 13: Pohon podélným motorem s tuhou nápravou [3]



Obrázek 12: Podvozek Flexity Bombardier [3]

### Pohon trakčním motorem přes dvě čelní převodovky

Daný typ lze využít pro nízkopodlažní tramvaje, prostor mezi koly je volný, Kola nejsou vázány pevnou nápravou. Motor je umístěn mimo rám podvozku. Kroučící moment se přenáší přes kloubovou hřídel (3) na pastorek (4) s kuželovým ozubením, který zabírá do kuželového ozubeného kola (5). Od tohoto kola je poháněna dvoustupňová převodovka (7) spojená pravým kolem. Stejná převodovka (7) je i na levém kole, ta je však poháněna přes samozamykací hydraulický diferenciál (6) a příčnou hřídel (8). Diferenciál je uzamčen při jízdě v přímé koleji, pravé i levé kolo má shodné otáčky a kola se chovají jako pevné dvojkolí. Při jízdě v oblouku je diferenciál funkční, což umožňuje rozdílné otáčky pravého a levého kola a tedy průjezd obloukem téměř bez skluzu a s minimálním opotřebením. Nevýhoda větší velikosti nevyprážených hmot je vyvážena snížením opotřebením kol a snížením ztrátového výkonu. Daný typ byl použit v rovinatých městech Německa. [3]



Obrázek 14: Pohon přes dvě čelní převodovky [3]



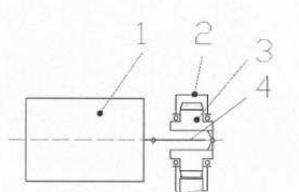
Obrázek 15: Podvozek AEG-MAN [3]



### 3.2 Pohon s osou motoru rovnoběžnou s nápravou

#### *Pohon kloubovou hřídelí procházející dutým pastorkem*

Na rozdíl od pohonu kloubovou hřídelí procházející dutinou rotoru trakčního motoru, lze tento pohon aplikovat na vozidla s menším trakčním motorem, jako jsou tramvaje a metra. Kloubová hřídel se nachází v dutině pastorku. Od trakčního motoru (1) vede krátká hřídel (4) se dvěma klouby na obou koncích. Tato hřídel prochází dutým pastorkem (3). Jeden kloub je u motoru, druhý na straně pastorku. Pastorek uložen v převodové skříni (2) v ložiskách. [3]

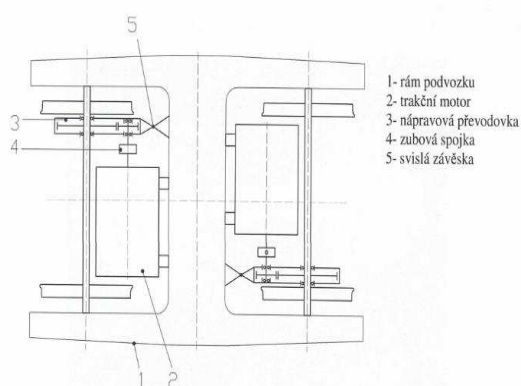


Obrázek 16: Schéma pohonu s dutým pastorkem [3]

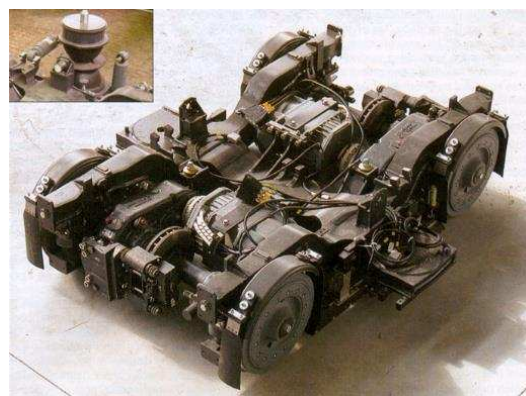
#### *Závěskový pohon*

Pro daný typ pohonu je používána nápravová převodovka, která je nasazena na nápravu. K rámu je však připevněna pomocí speciálního zařízení nazývaného závěska. Dané provedení je možné použít u tramvajových podvozků s menšími rozměry trakčního motoru. Motor je umístěn na vypruženém rámu podvozku, proto se vůči nápravě svisle pohybuje. Z tohoto důvodu spojení motoru a převodovky zajišťuje spojka nebo kloubová hřídel. Tyto prvky umožňují přenášet krouticí moment i při svislém pohybu vypruženého motoru vůči nápravové převodovce.

Na obrázku 17. je znázorněno provedení závěskového pohonu se spojkou. K rámu podvozku (1) je upevněn trakční motor (2), jehož osa je rovnoběžná s osou nápravy. Spojka (4) přenáší krouticí moment z trakčního motoru na převodovku (3). Převodovka je umístěna na nápravě a k rámu je připevněna pomocí svislé závěsky (5). Téměř stejný popis by měl pohon s kloubovou hřídelí, která by nahradila spojku mezi motorem a převodovkou. [3]



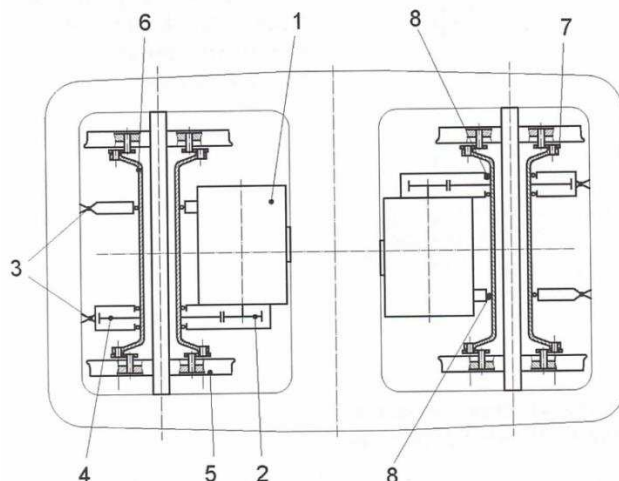
Obrázek 17: Schéma pohonu dvojkolí se spojkou [3]



Obrázek 18: Podvozek pro tramvaj 16T, 14T [3]

### Pohon dutou hřídelí kolem nápravy

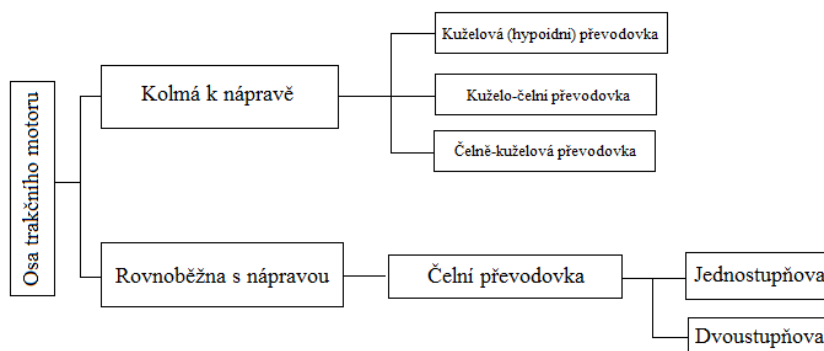
Cílem je snížení velikosti nevyprážených hmot. Trakční motor (1) má na své hřídeli nasazen pastorek (2). Ten zabírá s ozubeným kolem (4), které je nasazeno na duté hřídeli (6). Celé toto soustrojí je zavěšeno na hlavním příčnicku rámu podvozku a přes závěsy (3) na čelník. Dutá hřídel je uložena na valivých ložiskách (8), které jsou součástí soustrojí motoru a převodovky. Dutá hřídel má na obou koncích konzoly, které jsou připojeny přes ojničkový mechanismus (7) s koly (5). Soustrojí motoru, převodovky a duté hřídele je plně vypružené.



Obrázek 19: Pohon dutou hřídelí kolem nápravy [3]

## 3.3 Převodovky pro pohon tramvajových vozidel

Převodové skříně jsou nedílnou součástí pohonu kolejového vozidla. Zajišťují přenos krouticího momentu od trakčního motoru na dvojkolí při konstantním převodovém poměru. Některé motory jsou umístěny přímo na nápravě nebo kole vozidla. V těchto případech převodovka většinou není použita. V kapitole 3. jsou pohony rozděleny podle směru orientace osy trakčního motoru vzhledem k ose nápravy. U převodovek provedeme stejné rozdělení.



Obrázek 20: Rozdělení převodovek dle osy motoru

### 3.3.1 Motor s osou kolmou k nápravě

Daný typ pohonu musí obsahovat převodovku. Důvodem je vzájemná orientace osy nápravy a motoru otočených vůči sobě o 90°. Proto se u této koncepce využívá jednostupňového nebo dvoustupňového převodu s jedním kuželovým nebo hypoidním soukolím. Častěji však jsou používány jednostupňové převody ve formě hypoidního soukolí. Při dvoustupňovém převodu se používají kuželové převodovky v kombinaci s čelním soukolím ve formě kuželovo-čelní nebo čelně-kuželového provedení.

### ***Kuželové a hypoidní jednostupňové převodovky***

Jedná se o jediný způsob jednostupňového přenosu silového toku, pokud jsou vstupní a výstupní hřídele otočeny vůči sobě o 90°. Převodovky musí přenést velký převodový poměr, proto nabývají velkých rozměrů. Z tohoto důvodu se daný typ převodovky používá pouze pro vysokopodlažní nebo částečně nízkopodlažní tramvaje.



Obrázek 21: Jednostupňová kuželová převodovka AWBC-Z [10]

Tabulka 3: Vysokopodlažní tramvaj s hypoidní převodovkou [10]



	Typ převodovky	Jednostupňová hypoidní –AWBD-H
	Popis	Přenos krouticího momentu od motoru k nápravě. Spojení motoru a převodovky pomocí kloubové hřídele.
	Typ tramvaje	RT8D5M, T6A5
	Výkon	64,5 kW
	Max. otáčky	1946 ot/min
	Max. krouticí moment	640 Nm

### ***Kuželo-čelní a čelně-kuželové převodovky***



Jedná se o dvoustupňovou převodovku složenou nejčastěji ze vstupního kuželového soukolí a výstupního čelního. Lze však použít i méně časté provedení čelně-kuželové převodovky. Daný typ převodovky je jeden z nepoužívanějších. Dají se použít pro všechny typy tramvají včetně nízkopodlažních.



Tabulka 4: Kuželovo-čelní převodovka pro nízkopodlažní tramvaj [10]

 	Typ převodovky	Dvoustupňová kuželovo-čelní převodovka
	Popis	Přenos krouticího momentu od motoru k nápravě. Spojení motoru a převodovky pomocí pružné spojky. Spojení převodovky s nápravou pomocí pružné spojky.
	Výkon	190 kW
	Max. otáčky	4800 ot/min
	Max. krouticí moment	1060 Nm

Tabulka 5: Dvoustupňová převodovka pro vysokopodlažní tramvaj [10]

 	Typ převodovky	Dvoustupňová kuželovo-čelní
	Popis	Přenos krouticího momentu od motoru k nápravě. Spojení motoru a převodovky pomocí kloubové hřídele.
	Typ tramvaje	T8M-700IT
	Výkon	110 kW
	Max. otáčky	2580 ot/min
	Max. krouticí moment	609 Nm

### 3.3.2 Pohony s osou motoru rovnoběžnou s nápravou

Daný typ pohonu má více možností přenosu výkonu. Motor lze umístit přímo na nápravu nebo kolo, pro tento případ se většinou převodovky nepoužívají. Pokud je motor umístěn rovnoběžně, ale mimo nápravu, je zapotřebí použít čelní nápravové převodovky. Motor v dané poloze má stejnou orientaci osy jako náprava, proto není potřeba měnit směr silového toku.

### Čelní jednostupňové

Potřebný převodový poměr je přenášen párem spoluzabírajících ozubených kol. Výhodou jednostupňové převodovky je konstrukční jednoduchost a nižší spotřeba materiálu. Pro přenos většího převodového poměru má ozubené kolo velký průměr, který se nevejde pod podlahu vozidla. Proto se jednostupňové čelní převodovky pro tramvaje prakticky nepoužívají. Lze je použít v případech, kde je dostatečně místa pod podlahou vozidla, například pro metro.





Obrázek 22: Čelní jednostupňová převodovka pro metro [10]


### Čelní dvoustupňové

Převodový poměr je rozdělen do dvou dílčích převodových stupňů. Díky tomu dojde ke zmenšení rozměru ozubených kol a celé převodovky. Výhodou je přenos větších převodových poměrů, menší výškové rozměry a menší hlučnost. Nevýhodou jsou větší šířkové parametry a hmotnost. Čelní dvoustupňové převodovky jsou nejčastěji používané pro částečně nízkopodlažní tramvaje. Dají se však použít i pro nízkopodlažní koncepci.

Tabulka 6: Převodovka pro částečně nízkopodlažní tramvaj [10]

 	Typ převodovky	Dvoustupňová čelní převodovka – AWHD-Z
	Popis	Přenos krouticího momentu od motoru k nápravě. Spojení motoru a převodovky pomocí pružné spojky.
	Typ tramvaje	ŠKODA 3T, 13T, 14T, 16T
	Výkon	90 kW
	Max. otáčky	4500 ot/min
	Max. krouticí moment	1100 Nm

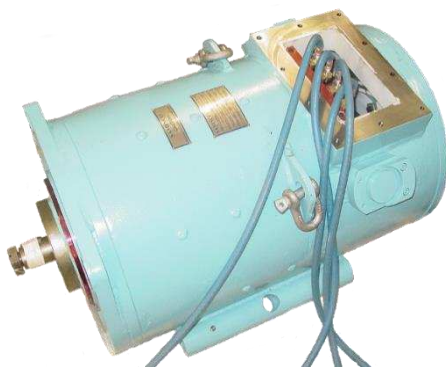
Tabulka 7: Čelní dvoustupňová převodovka pro nízkopodlažní tramvaj [10]

	Typ převodovky	Dvoustupňová čelní převodovka - AWHD388-R
	Typ tramvaje	City-Star 71-991
	Výkon	72 kW
	Max. otáčky	4750 ot/min
	Max. kroucí moment	500 Nm

### 3.4 Trakční elektrické motory

Jedná se o elektrický točivý stroj, měnící elektrickou energii na mechanickou práci. Elektromotor užívaný k pohonu vozidel se označuje jako trakční motor. Jsou rozděleny do tří hlavních skupin.

#### *Stejnoseměrné stroje*



Obrázek 23: Stejnoseměrný motor [11]

Prvními elektrickými stroji, které byly používány jako hlavní pohony pro tramvajová vozidla, byly stejnosměrné motory. Před 20 lety byly naprosto dominantními pro pohon tramvají. V dnešní době jsou sice stále používány, ale jejich počet klesá. Výhodou daných motorů je poměrně snadná regulace a možnost velkého přetížení. Hlavní nevýhodou daného motoru je komutátor. Jsou rozlišovány dva typy stejnosměrných motorů: sériový motor a cize buzený motor. Sériový stejnosměrný motor využívá tramvaj Tatra T3. [7]

#### *Asynchronní stroje*

Asynchronní motory jsou v současné době nejvíce používanými a nejrozšířenějšími trakčními motory pro elektrickou trakci. Jejich rozšířené použití je způsobeno jejich příznivými vlastnostmi. Motor se vyznačuje konstrukční jednoduchostí, což vede k nízkým výrobním nákladům. Zároveň mají nízké nároky na údržbu a jsou velmi spolehlivé. Mají však i své nevýhody. Jednou z nich je obtížná regulace rychlosti a nutnost velkých proudů pro rozběh. Výzkum však přivedl k možnosti plynulé regulace otáček asynchronního motoru. Většina dnes vyráběných trakčních vozidel je vybavena pohony s trakčním asynchronním motorem. [7]



Obrázek 24: Asynchronní motor [12]

### **Synchronní stroje (permanentní magnety)**

Daný typ motoru se začal používat při aplikaci pro malé a střední výkony. Hlavním důvodem použití synchronních motorů je použití permanentních magnetů ze vzácných zemin. Motory jsou hojně využívány v různých oblastech a odvětvích, v poslední době se však začaly používat i pro elektrickou trakci. Daný typ motoru v Česku využijí tramvaje 15 T ForCity. Dalším představitelem je tramvaj Cidaris od firmy Alstom. [7]

#### **3.4.1 Porovnání motorů**

Prvním porovnávacím kritériem trakčních motorů jsou jejich rozměry a s tím související hmotnost. Pro tramvajová vozidla je obzvláště důležité docílit malých rozměrů a nízké hmotnosti kvůli možnosti použití nízkopodlažního provedení. Z daného srovnání vychází nejlépe motor synchronní, jehož rozměr je menší z důvodu absence budícího vinutí.

Z ekonomického hlediska je nejvýhodnější asynchronní motor. Jeho konstrukce je jednodušší a vyrábí se sériově. Použitím permanentních magnetů a složitějších technologií výroby vede k vysoké ceně synchronních motorů.

Dalším důležitým kritériem je údržbová náročnost a spolehlivost. Při porovnání všech tří motorů jako první vyřadíme motor stejnosměrný. Údržba komutátoru a kartáčů je náročná a drahá. Synchronní motory nejsou používány pro trakční účely dlouhou dobu, nemohou tedy ve spolehlivosti konkurovat motorům asynchronním.

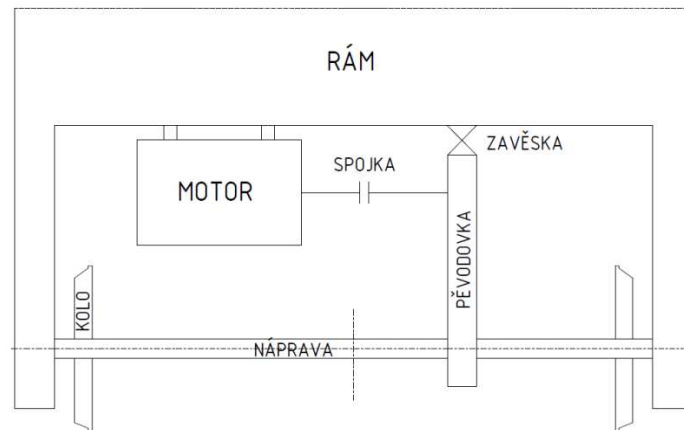
Možnost pohonu bez použití převodového ústrojí je zajímavé pro porovnání a je závislé na jmenovitých otáčkách. Otáčky asynchronních strojů se pohybují v rozmezí přibližně 800 až 2000 ot/min, což neumožňuje bezpřevodový pohon. U synchronních strojů ovšem je možná konstrukce výkonných pomaluběžných motorů, které právě naopak jsou vhodné pro tyto bezpřevodové pohony a mohou být využívány jako kolové pohony integrované přímo v kolech. [7]

#### ***Shrnutí***

Ze zmíněných typů motorů jsou stejnosměrné motory nejstarším typem, a proto se s nimi setkáváme v některých starších typech vozidel. Přitom jsou stále víc nahrazovány, proto je jen otázka času, kdy budou nahrazeny úplně. Motory synchronní jsou vhodné kvůli jejich vlastnostem pro konstrukci nízkopodlažních vozidel, jejich velkou nevýhodou je však cena. Po zvážení všech kladných i záporných vlastností vychází jako nejlepší pohon pro tramvajová vozidla trakční asynchronní motor. [7]

### 3.5 Volba varianty pohonu

V předchozích kapitolách byly popsány různé koncepce pohonu a podvozku. Úkolem je navrhnout pohon s čelní převodovkou. Abychom mohli použít daný typ, musí být motor umístěn rovnoběžně s osou nápravy. Tímto způsobem se dá motor umístit pouze mezi dvojkolí. Vysoká podlaha nad hnacími podvozkou toto umístění z rozměrového hlediska umožňuje. Poloha převodovky k takto položenému motoru umožní přenos momentu bez změny orientace osy. Jako motor budeme volit pouze asynchronní, protože jak již bylo popsáno, má nejvhodnější vlastnosti a navíc umožní použití převodkového pohonu. Spojení motoru a převodového ústrojí, bude provedeno pomocí spojky. Převodovka bude k rámu připevněna pomocí závěsky. Dle rozměrových možností bude rám vnitřní. Na obrázku 25. jsou zobrazené hlavní části navrhovaného podvozku.



Obrázek 25: Hlavní části navrhovaného pohonu



## 4 Vlastní návrh pohonu

Návrh pohonu konkrétně převodovky záleží na vstupních parametrech motoru a výstupních parametrech vozidla. Abychom mohli začít řešit a navrhovat převodovku je potřeba určit potřebný převodový poměr, který musíme přenést z motoru na dvojkolí. Jako první je potřeba zjistit výstupní hodnoty vozidla a následně vhodný trakční motor. Dané hodnoty získáme výpočtem ze zadaných parametrů tramvaje.

### 4.1 Výstupní parametry vozidla

#### Střední průměr kola

Při jízdě tramvaje po kolejích se kola vozidla opotřebují. Z tohoto důvodu je stanoven střední průměr kola, který bude používán ve výpočtech jako průměr kola. Nové kolo pro námi zvolenou tramvaj má průměr  $D_{max} = 600$  mm a nejmenší průměr opotřebovaného kola, které lze používat je  $D_{min} = 520$  mm.

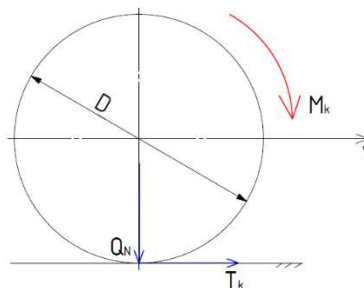
$$D = \frac{D_{max} + D_{min}}{2} = \frac{600 + 520}{2} = 560 \text{ mm} \quad (1)$$

#### Výstupní otáčky

Otáčky dvojkolí vypočítáme ze známé maximální rychlosti a obvodu kola vozidla. Z parametru zvolené tramvaje víme, že maximální rychlost je  $v = 70$  km/h a průměr kola získaný v předchozím výpočtu má hodnotu  $D = 560$  mm.

$$n_k = \frac{v}{o_k} = \frac{60 \cdot v}{\pi \cdot D} = \frac{60 \cdot 19,444}{\pi \cdot 0,560} = 663,13 \text{ ot/min} \quad (2)$$

#### Výstupní moment



Obrázek 26: Síla na kole

Maximální nápravové zatížení je pro zvolenou tramvaj  $Q_N = 83\,400$  N. Toto zatížení je rozděleno mezi dvě kola. Maximální přenositelnou tečnou sílu na kole získáme vynásobením polovičního nápravového zatížení součinitelem adheze  $\mu = 0,3$ .

$$T_k = \frac{Q_N}{2} \cdot \mu = \frac{83400}{2} \cdot 0,3 = 12510 \text{ N} \quad (3)$$

Dle obrázku 26. vidíme, že krouticí moment vychází z tečné síly a poloměru kola.

$$M_k = T_k \cdot \frac{D}{2} = 12510 \cdot \frac{0,560}{2} = 3502,8 \text{ Nm} \quad (4)$$

#### Výstupní výkon na kole

$$P_k = M_k \cdot \omega_k = M_k \cdot \frac{2 \cdot \pi \cdot n_k}{60} = 3502,8 \cdot \frac{2 \cdot \pi \cdot 663,13}{60} = 243244,279 \text{ W} = 243 \text{ kW} \quad (5)$$

## 4.2 Volba motoru

### Potřebný výkon motoru pro jedno kolo

Zvolená tramvaj má 8 náprav. Přičemž 4 nápravy jsou běžné, bez pohonu. Zbylé 4 jsou nápravy hnací, přenášejí moment z motoru na dvojkolí. Výkon je tedy rozdělen mezi 8 kol čtyř hnacích náprav, počet hnacích kol označíme jako  $i_k$ .

Návrh se bude týkat čelního ozubení. Z tohoto důvodu pro výpočet výkonu hnacího motoru lze uvažovat, že nejnižší možná dosažená účinnost mechanismu neklesne pod hodnotu  $\eta_c = 0,8$ .

$$P_{Pk} = \frac{P_k}{\mu_c \cdot i_k} = \frac{243244,279}{0,8 \cdot 8} = 380006,92 \text{ W} = 38 \text{ kW} \quad (6)$$

### Potřebný výkon pro dvojkolí

U tramvajového vozidla jeden motor pohání jedno dvojkolí a tedy 2 kola. Proto potřebný výkon motoru vztahujeme ke dvěma kolům.

$$P_P = P_{Pk} \cdot 2 = 380006,82 \cdot 2 = 76013,837 \text{ W} = 76 \text{ kW} \quad (7)$$

Získání technických informací a parametrů motoru pro pohon tramvajů je složité, protože výrobci nechtějí parametry poskytovat veřejně. Nicméně podařilo se nám sehnat informace o asynchronních motorech ATD od ruské firmy Pskovský elektro strojírenský závod.

S ohledem na zadání a výpočet (7) je z katalogu zvolen trakční asynchronní motor ATD-9. Parametry zvoleného motoru i další typy motoru jsou zobrazeny v příloze č. 1.

Tabulka 8: Parametry motoru ATD-9

Označení	ATD-9
Výkon $P_M$	125 kW
Otáčky $n_M$	2400 (4000) ot/min
Krouticí moment $M_M$	497 Nm
Hmotnost	387±3



Obrázek 27: Ukázka motoru ATD-3 [13]

Kontrola momentu motoru pro ověření, zda parametry motoru odpovídají katalogu.

$$M_M = \frac{P_M}{\omega_M} = \frac{P_M \cdot 60}{2 \cdot \pi \cdot n_j} = \frac{125000 \cdot 60}{2 \cdot \pi \cdot 2400} = 497,359 \text{ Nm} \quad (8)$$

Po zvoleném motoru a vypočtených výstupních parametrech spočítáme celkový převodový, který je třeba přenést z motoru na dvojkolí. Převodový poměr je dán maximálními otáčkami motoru a otáčkami dvojkolí při maximální rychlosti.

$$i_p = \frac{n_M}{n_k} = \frac{4000}{663,13} = 6,032 \quad (9)$$

### 4.3 Návrh jednostupňové převodovky s čelním soukolím

Jednostupňová převodovka se skládá pouze z páru spoluzabírajících ozubených kol. Pastorek je umístěn na vstupní hřídeli a ozubené kolo je spojené s nápravou. Pro návrh soukolí je nejprve potřeba zvolit počet zubů pastorku. Z doporučeného rozmezí (15÷28) volíme počet zubů pastorku  $z_1 = 20$ .

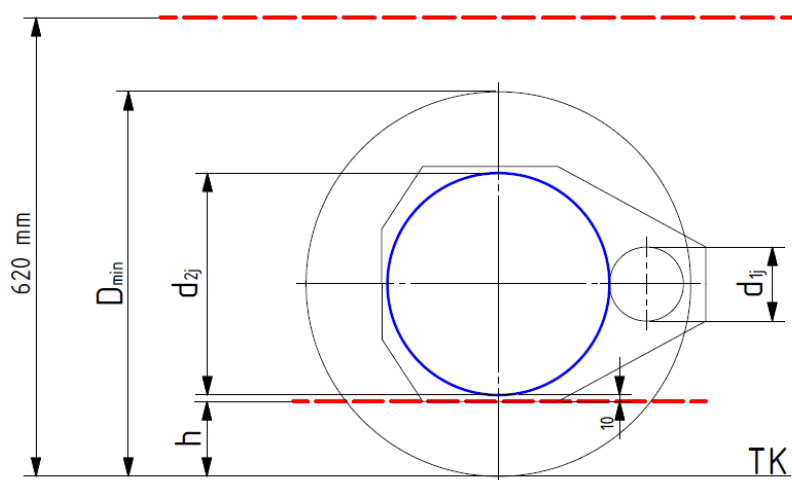
Ze známých a zvolených hodnot vypočteme modul ozubení pomocí Bachova vzorce

$$m_j = 7,5 \cdot \sqrt[3]{\frac{M_M \cdot \cos\beta}{c \cdot \Psi \cdot z_1}} = 7,5 \cdot \sqrt[3]{\frac{497,359 \cdot \cos 15}{10 \cdot 10 \cdot 20}} = 4,662 \text{ mm} = 5 \text{ mm} \quad (10)$$

Pro výpočet uvažujeme šikmé ozubení se sklonem zubů  $15^\circ$ . Materiálovou konstantu z rozmezí (10÷15) MPa volíme  $c = 10$  MPa. Součinitel pro čelní ozubená kola  $\Psi$  pro tvrzené zuby (10÷15) volíme  $\Psi = 10$ . Zvolené hodnoty dle přílohy č. 2.

Výpočtem (10) jsme získali potřebné údaje pro zjištění roztečného průměru ozubeného kola  $d_{zj}$ . Počet zubů ozubeného kola není známo, proto  $z_2$  vyjádříme pomocí celkového převodového poměru a počtem zubů pastorku.

$$d_{zj} = m_j \cdot z_2 = m_j \cdot z_1 \cdot i_p = 5 \cdot 20 \cdot 6,032 = 603,2 \text{ mm} \quad (11)$$



Obrázek 28: Omezení spodního obrysu a průměru ozubeného kola

Abychom mohli posoudit, zda se kolo vejde pod skříň vozidla, musíme brát v úvahu omezení spodního obrysu vozidla a omezení výšky podlahy nad podvozkem. Výška nad podvozkem by neměla žádným způsobem omezovat konstrukci, jelikož se nejedná o nízkopodlažní provedení nad hnacími podvozky a jeho hodnota činí 620 mm. Pro náš případ řešíme omezení spodního obrysu pro neodpružené součásti vozidla, jelikož uvažujeme nasazení převodovky přímo na nápravu. Dovolenu výšku v práci budeme označovat jako  $h$  a dle obrázku 9. má hodnotu 60 mm. Nejpřesnější výpočet bychom získali s průměrem hlavové kružnice ozubeného kola. Ten však v daný moment nemáme, proto porovnání provedeme pouze pro roztečnou kružnici. V úvahu bereme rovněž tloušťku stěny převodové skříně, kterou volíme 10 mm.



Zda se kolo vejde pod vozidlo, určíme z podmínky:

$$\left(\frac{D_{min}}{2} - h\right) > \left(\frac{d_{2j}}{2} + 10\right) \quad (12)$$

$$\left(\frac{520}{2} - 60\right) > \left(\frac{603}{2} + 10\right) \quad (13)$$

200 mm > 311,5 mm → NEVYHOVUJE

Podmínka není splněna, ozubené kolo včetně šířky skříně je větší než dovolený rozměr, který lze umístit pod skříň. Proto jednostupňovou převodovku s čelními koly nelze pro námi vypočtený převodový poměr použít. Podobně vysokých hodnot by nabývalo kolo i v případě změn některých parametrů. Z tohoto důvodu dále v práci budeme řešit pouze dvoustupňovou čelní převodovku.

#### 4.4 Dvoustupňová převodovka s čelním soukolím

Na rozdíl od jednostupňové převodovky daný typ obsahuje 2 páry spolu zabírajících ozubených kol. Proto celkový převod je rozdělen do dvou dílčích převodů  $i_{12}$  a  $i_{34}$  se zvolenými počty zubů jednotlivých ozubených kol. Díky tomuto kroku dojde k výraznému zmenšení ozubených kol a tím i celé převodovky.

##### 4.4.1 Předběžné dílčí převody

Predběžný převodový poměr pro první soukolí je zvolen  $i_{12p} = 2,3$ , následně z celkového a zvoleného poměru dopočteme převodový poměr druhého soukolí  $i_{34p}$ .

Volba byla provedena dle následujících doporučení:

- jednotlivé převody volit do hodnoty 4,5,
- doporučuje se volit jednotlivé hodnoty převodových poměrů jako čísla nesoudělná,
- od vstupu do převodovky převodové poměry směrem k výstupu zvyšovat.

$$i_p = 6,032 \quad \rightarrow \quad i_{12p} = 2,3$$

$$i_{34p} = \frac{i_p}{i_{12p}} = \frac{6,032}{2,3} = 2,623 \quad (14)$$

##### *Soukolí 12*

Pro první vstupní soukolí od motoru označeny 12 zvolíme počet zubů pastorku  $z_1 = 19$  a převodový poměr  $i_{12p} = 2,3$ .

Ze zvoleného převodového poměru vypočítáme počet zubů ozubeného kola  $z_2$

$$i_{12p} = \frac{z_2}{z_1} \quad \rightarrow \quad z_2 = i_{12p} \cdot z_1 = 2,3 \cdot 19 = 43,7 = 44 \quad (15)$$

Nyní z ozubení dopočítáme skutečný převodový poměr pro první soukolí:

$$i_{12} = \frac{z_2}{z_1} = \frac{44}{19} = 2,316 \quad (16)$$

##### *Soukolí 34*

Pro druhé soukolí označené 34 zvolíme počet zubů pastorku  $z_3 = 20$ . Předběžný převodový poměr je spočten  $i_{34p} = 2,623$ .

Ze zvoleného převodového poměru vypočteme počet zubů ozubeného kola  $z_4$

$$i_{34p} = \frac{z_4}{z_3} \quad \rightarrow \quad z_4 = i_{34p} \cdot z_3 = 2,623 \cdot 20 = 52,46 = 53 \quad (17)$$

Skutečný převodový poměr pro sokolí 34

$$i_{34} = \frac{z_4}{z_3} = \frac{53}{20} = 2,650 \quad (18)$$

### Kontrola převodového poměru

V předchozím výpočtu byly získány hodnoty skutečných převodových poměrů pro jednotlivá soukolí. Ty se však liší od předběžných poměrů. Povolená odchylka skutečného převodového poměru a tím i skutečných otáček pro námi zvolený počet zubů se nesmí lišit od předběžného celkového převodového poměru a výstupních otáček víc než o 2%.

Skutečný převodový poměr:

$$i = i_{12} \cdot i_{34} = \frac{z_2}{z_1} \cdot \frac{z_4}{z_3} = \frac{44}{19} \cdot \frac{53}{20} = 6,137 \quad (19)$$

Odchylka převodového poměru:

$$\Delta i = 100 - \frac{i}{i_p} \cdot 100 = 100 - \frac{6,137}{6,032} \cdot 100 = 1,74 \% \quad (20)$$

Skutečné otáčky

$$n = \frac{n_M}{i_{12} \cdot i_{34}} = \frac{n_M}{\frac{z_2}{z_1} \cdot \frac{z_4}{z_3}} = \frac{4000}{\frac{44}{19} \cdot \frac{53}{20}} = 651,801 \text{ ot/min} \quad (21)$$

Odchylka otáček

$$\Delta n = 100 - \frac{n}{n_k} \cdot 100 = 100 - \frac{651,801}{663,13} \cdot 100 = 1,71 \% \quad (22)$$

Z dané kontroly je patrné, že výstupní skutečné otáčky spočtené v kroku (21) jsou nepatrně nižší než požadované výstupní otáčky (2). Rozdíl však leží v intervalu 2%. Proto kontrola pro zvolené dílčí počty zubů, a tedy i skutečný převodový poměr vyhovuje.

#### 4.4.2 Výpočet točivých momentů a otáček jednotlivých hřídelí

Převodové ústrojí se skládá ze vstupní, předlokové a výstupní hřídele. V našem případě výstupní hřídel představuje náprava. Účinnost ozubených převodů je dána  $\eta_i = 0,98$ . Výpočet provádíme pro jmenovité parametry motoru.

##### Vstupní hřídel

$$M_M = M_{k1} = 497,359 \text{ Nm}$$

$$n_M = n_1 = 2400 \text{ ot/min}$$

##### Předloková hřídel

$$M_{k2} = M_{k1} \cdot i_{12} \cdot \eta_i = 497,359 \cdot 2,316 \cdot 0,98 = 1128,846 \text{ Nm} \quad (23)$$

$$n_2 = \frac{n_1}{i_{12}} = \frac{2400}{2,316} = 1036,27 \text{ ot/min} \quad (24)$$

##### Výstupní hřídel

$$M_{k3} = M_{k2} \cdot i_{34} \cdot \eta_i = 1128,846 \cdot 2,650 \cdot 0,98 = 2931,613 \text{ Nm} \quad (25)$$

$$n_3 = \frac{n_2}{i_{34}} = \frac{1036,27}{2,650} = 391,045 \text{ ot/min} \quad (26)$$

Tabulka 9: Momenty a otáčky na jednotlivých hřídelích

	M [Nm]	n <sub>j</sub> [ot/min]	n <sub>max</sub> [ot/min]
3	2931,613	391,045	651,742
2	1128,846	1036,27	1727,116
1	497,359	2400	4000

V tabulce 9. jsou vypočítány hodnoty momentů a otáček na jednotlivých hřídelích. Otáčky jsou spočteny jako jmenovité a maximální. Při jmenovitých parametrech zvolený motor nepřevyšuje potřebné parametry momentů a otáček pro námi spočítané hodnoty. Přesto však daný motor použijeme, protože dokáže pokrýt potřebný moment i otáčky při svých maximálních parametrech. Zároveň bereme v úvahu, že motor nebude pracovat na maximálním výkonu po celou dobu jízdy.

#### Maximální moment motoru

Pro daný motor nebyla získána momentová charakteristika. Abychom dokázali, že motor dokáže pokrýt potřebný moment pro pohon dvojkolí, provedeme výpočet maximálního momentu motoru při přetížení. Pro daný výpočet použijeme koeficient přetížení momentem  $\lambda_m$ , který pro námi zvolený motor má hodnotu 2,2.

$$M_{Mmax} = M_M \cdot \lambda_m = 497,359 \cdot 2,2 = 1094,19 \text{ Nm} \quad (27)$$

Otáčky při maximálním momentu

$$n_{Mmax} = \frac{9550 \cdot P_M}{M_{Mmax}} = \frac{9550 \cdot 125000}{1094,27} = 1090,91 \text{ ot/min} \quad (28)$$

Výstupní moment na nápravě při maximálním momentu motoru

$$M_{Vmax} = M_{Mmax} \cdot i \cdot \eta_i = 497,359 \cdot 6,137 \cdot 0,98 = 5325,073 \text{ Nm} \quad (29)$$

#### **4.4.3 Vstupní hodnoty pro výpočet ozubených kol**

Výpočet a kontrola ozubených kol jsou provedeny pomocí programu Autodesk Inventor 2016 dle normy ČSN 01 4686. V tomto kroku spočteme některé hodnoty, které poslouží jako vstupní parametry pro výpočet programem.

#### Modul pro jednotlivá soukolí

Po zjištění krouticího momentu na jednotlivých hřídelích, spočteme moduly pro obě soukolí.

$$m_{12} = 7,5 \cdot \sqrt[3]{\frac{M_{k1} \cdot \cos\beta}{c \cdot \Psi \cdot z_1}} = 7,5 \cdot \sqrt[3]{\frac{497,359 \cdot \cos 15}{10 \cdot 10 \cdot 19}} = 4,7414 \text{ mm} = 5 \text{ mm} \quad (30)$$

$$m_{34} = 7,5 \cdot \sqrt[3]{\frac{M_{k2} \cdot \cos\beta}{c \cdot \Psi \cdot z_3}} = 7,5 \cdot \sqrt[3]{\frac{1128,846 \cdot \cos 15}{10 \cdot 10 \cdot 20}} = 6,127 \text{ mm} = 6 \text{ mm} \quad (31)$$

Hodnoty konstant byly použity stejné, jako při výpočtu modulu jednostupňové převodovky.

#### Osová vzdálenost

$$a_{12} = \frac{m_{12} \cdot (z_1 + z_2)}{2 \cdot \cos\beta} = \frac{5 \cdot (19 + 44)}{2 \cdot \cos 15} = 163,056 \text{ mm} = 165 \text{ mm} \quad (32)$$

$$a_{34} = \frac{m_{34} \cdot (z_3 + z_4)}{2 \cdot \cos\beta} = \frac{6 \cdot (20 + 53)}{2 \cdot \cos 15} = 226,726 \text{ mm} = 230 \text{ mm} \quad (33)$$

#### Šířka ozubených kol

$$b_{w12} = \Psi \cdot m_{12} = 13 \cdot 5 = 65 \text{ mm} \quad (34)$$

$$b_{w34} = \Psi \cdot m_{34} = 13 \cdot 6 = 78 \text{ mm} = 80 \text{ mm} \quad (35)$$

Dle přílohy č. 2. a strojnických tabulek volíme koeficient pro tvrzené zuby  $\Psi = 13$ .

V tabulce 10. jsou zobrazeny navržené a vypočítané hodnoty pro soukolí 12 a 34. Většina hodnot součinitelů přídavných zatížení pro výpočet byly ponechány přednastavením programu. Změnili jsme však hodnotu součinitele vnějších dynamických sil na  $K_A = 1,5$ .

Součinitel bezpečnosti pro ozubená kola je zvolen z doporučených hodnot:

$$\text{Minimální bezpečnost v ohybu} \quad S_{Hmin} = (1,1 \div 1,2) = 1,2$$

$$\text{Minimální bezpečnost v dotyku} \quad S_{Fmin} = (1,4 \div 1,7) = 1,5$$

Volba hodnoty dynamického součinitele je zobrazena v příloze č. 2. Podrobné hodnoty rozměru ozubení, sil v ozubení a kontroly ozubení získané programovým výpočtem jsou zobrazeny v příloze č. 3.

Tabulka 10: Vstupní hodnoty pro kompletní výpočet ozubených kol

	Soukolí 12	Soukolí 34
Počty zubů pastorku	$z_1 = 19$	$z_3 = 20$
Počty zubů ozubených kol	$z_2 = 44$	$z_4 = 53$
Modul	$m_{12} = 5 \text{ mm}$	$m_{34} = 6 \text{ mm}$
Převodový poměr	$i_{12} = 2,316$	$i_{34} = 2,650$
Sklon zubů	$\beta = 15^\circ$	$\beta = 15^\circ$
Osová vzdálenost	$a_{12} = 165 \text{ mm}$	$a_{34} = 230 \text{ mm}$
Šířka kol	$b_{w12} = 65 \text{ mm}$	$b_{w34} = 80 \text{ mm}$

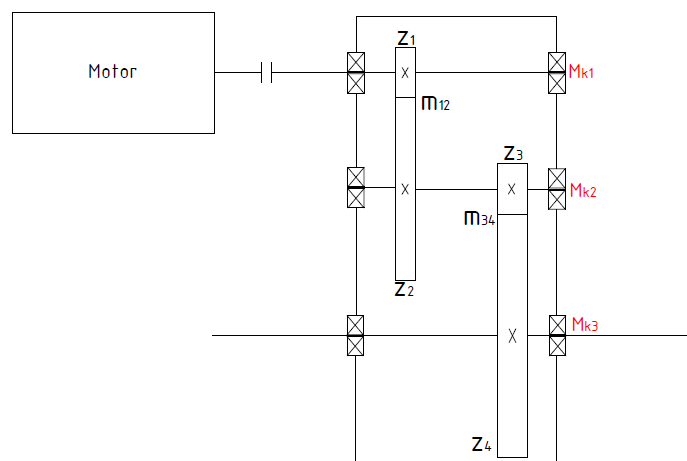
### Volba materiálu ozubených kol hřídelí

Jako materiál pastorku a ozubených kol bývá nejčastěji používána ocel třídy 12, 14 nebo 16. Dané třídy oceli lze chemicko - tepelně zpracovávat konkrétně cementovat, kalit nebo nitridovat. Pro náš případ volíme jako materiál, všech pastorků i ozubených kol, ocel 14220.4. Pro docílení tvrdosti zubů jsou kola cementována a kalena.

Tabulka 11: Vlastnosti ocele 14 220.4

14220.4	$\sigma_{pt}$ [MPa]	$\sigma_{kt}$ [MPa]	Tvrdość HB	$\sigma_{Hlim}$ [MPa]	$\sigma_{Flim}$ [MPa]
	785	590	250/650	1270	700

### Kinematické schéma



Obrázek 29: Kinematické schéma

### **Orientační průměry hřídelí převodovky**

Předběžně z pevnostní rovnice v krutu se zvoleným nízkým dovoleným napětím  $\tau_{Dk}$ , určíme orientační průměr hřídelí.  $\tau_k = \frac{M_k}{W_k} \leq \tau_{Dk}$  (36)

Hodnoty sníženého dovoleného napětí v krutu se pohybují v rozmezí (15÷45) MPa, volíme  $\tau_{Dk} = 30 \text{ MPa}$ .

Průřezový modul v krutu pro kruhový průřez:  $W_k = \frac{\pi \cdot d_{or}^3}{16}$  (37)

$$d_{1or} = \sqrt[3]{\frac{16 \cdot M_{k1}}{\pi \cdot \tau_{Dk}}} = \sqrt[3]{\frac{16 \cdot 497,359}{\pi \cdot 30}} = 43,871 \text{ mm} \quad (38)$$

$$d_{2or} = \sqrt[3]{\frac{16 \cdot M_{k2}}{\pi \cdot \tau_{Dk}}} = \sqrt[3]{\frac{16 \cdot 1128,846}{\pi \cdot 30}} = 57,654 \text{ mm} \quad (39)$$

### **Kontrola omezení spodního obrysu pro vozidlo**

Pomocí programu Inventor Autodesk 2016 byly získány všechny rozměry pastorku a ozubených kol. Ozubené kolo číslo 4. má největší hodnotu hlavového průměru  $d_{4a} = 343 \text{ mm}$ . Z daného průměru provedeme kontrolu pro omezení spodního obrysu vozidla. Platí zde stejná podmínka jako v kroku 4.3 pro jednostupňovou převodovku, ale s využitím hlavového průměru ozubeného kola.

$$\left(\frac{D_{min}}{2} - h\right) > \left(\frac{d_{4a}}{2} + 10\right) \quad (40)$$

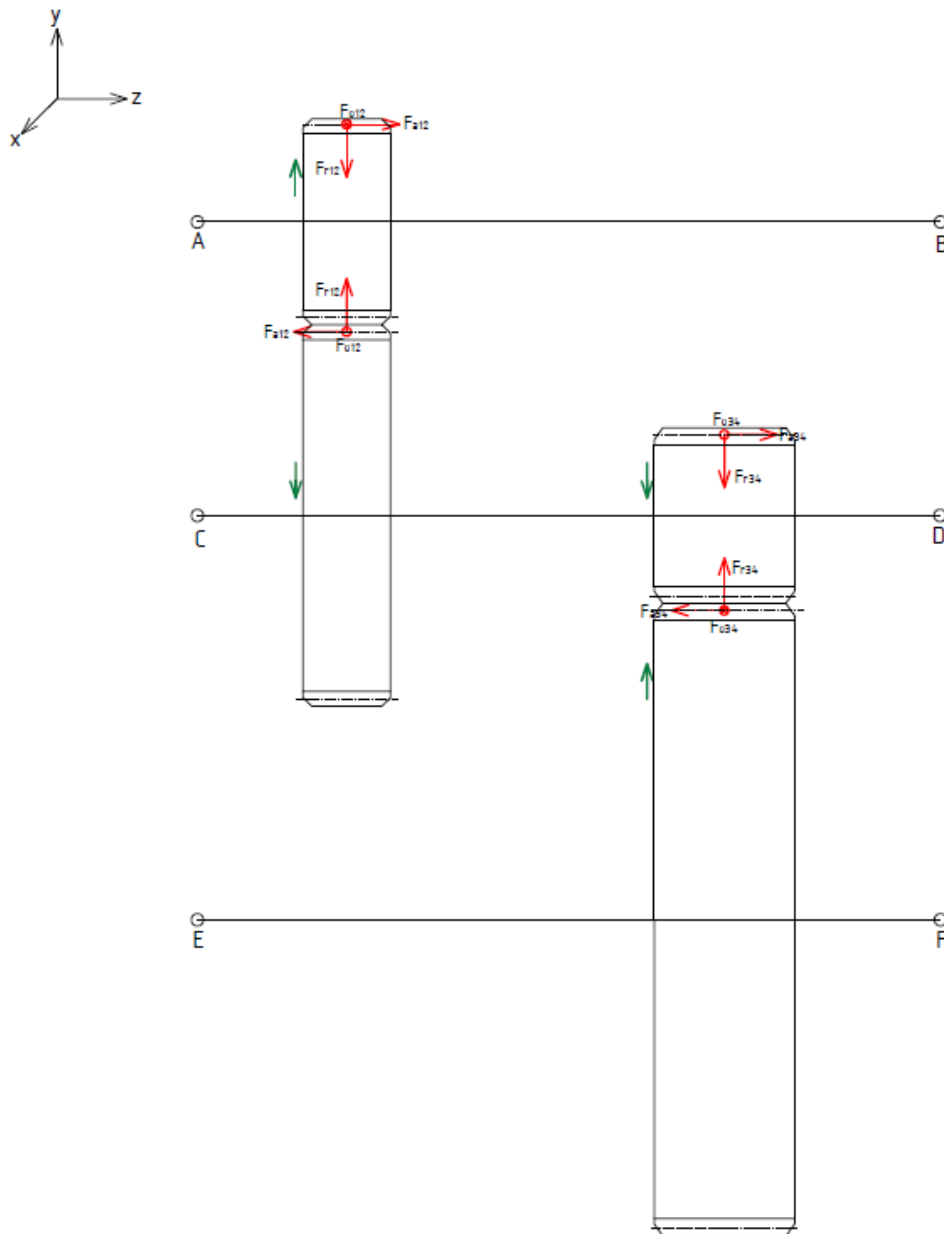
$$\left(\frac{520}{2} - 60\right) > \left(\frac{343}{2} + 10\right) \quad (41)$$

200 mm > 181,5 mm → VYHOVUJE

Z kontroly vyplývá, že kolo i skříň nezasahují do spodního obrysu pro vozidlo.

## 4.5 Výpočet reakcí v ložiskách

Po vypočtení a návrhu ozubených kol, orientačních průměrech hřídelí byl proveden výpočet reakcí. Čelní válcová kola se šikmým ozubením obsahují tři síly axiální  $F_a$ , obvodovou  $F_o$  a radiální  $F_r$ . Na obrázku 30. jsou červenou barvou zobrazeny síly v ozubeních jednotlivých kol. Písmenem A - F jsou znázorněny podpory a zelená šipka znázorňuje smysl otáčení jednotlivých kol a tím i směr obvodové síly.

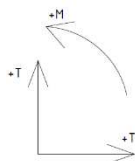


Obrázek 30: Rozložení sil v ozubení

Tabulka 12: Vypočtené síly v ozubení získané z Inventoru

	Soukolí 12	Soukolí 34
Axiální síla $F_a$	2678,093 N	4801,370 N
Radiální síla $F_r$	4113,407 N	7500,542 N
Obvodová síla $F_o$	9994,778 N	17918,958 N

Výpočet je prováděn pro všechny hřídele stejným způsobem. Vyjádříme jednu momentovou a dvě silové podmínky. Z těchto podmínek následně vyjádříme neznámé reakce a do nich číselně dosadíme. Je použit ustanovený směr dle obrázku 31. Působí-li síla proti směru hodinových ručiček, má příslušný moment síly znaménko kladné.

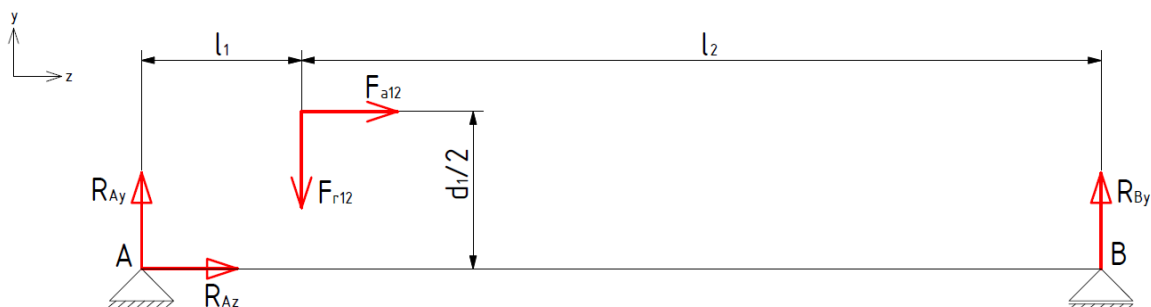


Obrázek 31: Ustanovení kladných směrů

#### 4.5.1 Výpočet reakce na vstupní hřídeli

Vzdálenosti podpor:  $l_1 = 47 \text{ mm}$ ,  $l_2 = 137 \text{ mm}$ ,

Roztečný průměr pastorku 1:  $d_1 = 98 \text{ mm}$



Obrázek 32: Reakce pro vstupní hřídel v rovině YZ

Součet momentů k bodu A

$$\sum M_{iA} = 0: -F_{r12} \cdot l_1 + R_{By} \cdot (l_1 + l_2) - F_{a12} \cdot \frac{d_1}{2} = 0 \quad (42)$$

Z rovnice (42) vyjádříme  $R_{By}$  a číselně dosadíme

$$R_{By} = \frac{F_{r12} \cdot l_1 + F_{a12} \cdot \frac{d_1}{2}}{l_1 + l_2} = \frac{4113,407 \cdot 0,047 + 2678,093 \cdot \frac{0,098}{2}}{0,047 + 0,137} = 1763,895 \text{ N} \quad (43)$$

Součet sil ve směru osy y

$$\sum F_{iy} = 0: R_{Ay} - F_{r12} + R_{By} = 0 \quad (44)$$

Z rovnice (44) vyjádříme  $R_{Ay}$  a číselně dosadíme

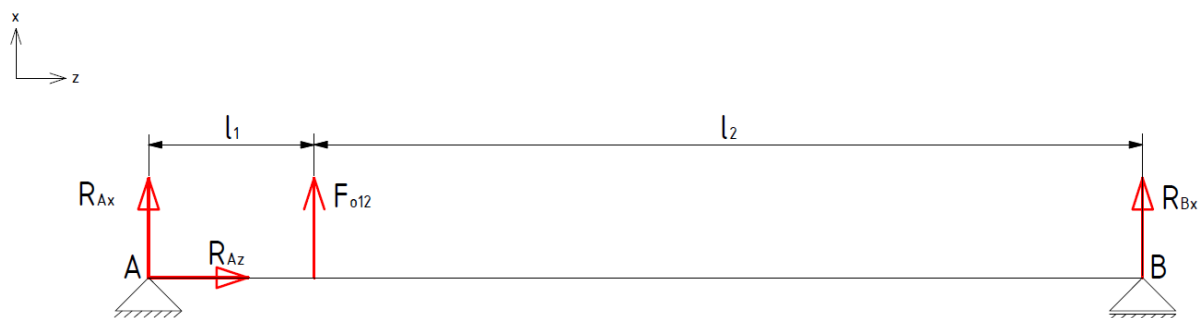
$$R_{Ay} = F_{r12} - R_{By} = 4113,407 - 1763,895 = 2349,512 \text{ N} \quad (45)$$

Součet sil do směru osy z

$$\sum F_{iz} = 0: R_{Az} + F_{a12} = 0 \quad (46)$$

Z rovnice (46) vyjádříme  $R_{Az}$

$$R_{Az} = -F_{a12} = -2678,093 \text{ N} \quad (47)$$



Obrázek 33: Reakce pro vstupní hřídel v rovině XZ

Součet momentů k bodu A

$$\sum M_{iA} = 0: F_{o12} \cdot l_1 + R_{Bx} \cdot (l_1 + l_2) = 0 \quad (48)$$

Z rovnice (48) vyjádříme  $R_{Bx}$  a číselně dosadíme

$$R_{Bx} = \frac{-F_{o12} \cdot l_1}{l_1 + l_2} = \frac{-9994,778 \cdot 0,047}{0,047 + 0,137} = -2553,014 \text{ N} \quad (49)$$

Součet sil ve směru osy x

$$\sum F_{ix} = 0: R_{Ax} + F_{o12} + R_{Bx} = 0 \quad (50)$$

Z rovnice (50) vyjádříme  $R_{Ax}$  a číselně dosadíme

$$R_{Ax} = -F_{o12} - R_{Bx} = -9994,778 + 2553,014 = -7441,764 \text{ N} \quad (51)$$

Výsledné radiální reakce v podporách A a B

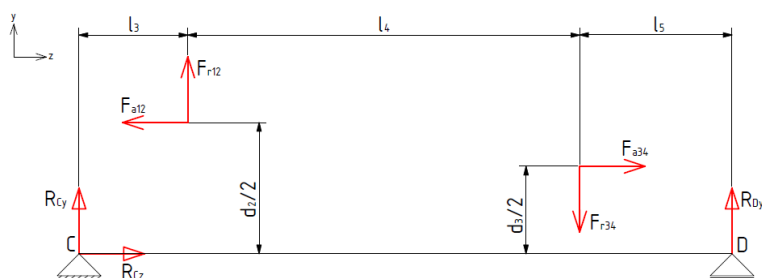
$$R_A = \sqrt{R_{Ax}^2 + R_{Ay}^2} = \sqrt{7441,764^2 + 2349,512^2} = 7803,849 \text{ N} \quad (52)$$

$$R_B = \sqrt{R_{Bx}^2 + R_{By}^2} = \sqrt{2553,014^2 + 1763,895^2} = 3103,096 \text{ N} \quad (53)$$

#### 4.5.2 Výpočet na předlokové hřídeli

Vzdálenosti podpor:  $l_3 = 44 \text{ mm}$ ,  $l_4 = 83 \text{ mm}$ ,  $l_5 = 52 \text{ mm}$ ,

Roztečné průměry kola 2 a pastorku 3:  $d_2 = 228 \text{ mm}$ ,  $d_3 = 124 \text{ mm}$



Obrázek 34: Reakce na předlokové hřídeli v rovině YZ



Součet momentů k bodu C

$$\sum M_{iC} = 0: F_{r12} \cdot l_3 + F_{a12} \cdot \frac{d_2}{2} - F_{r34} \cdot (l_3 + l_4) - F_{a34} \cdot \frac{d_3}{2} + R_{Dy} \cdot (l_3 + l_4 + l_5) = 0 \quad (54)$$

Z rovnice (54) vyjádříme  $R_{Dy}$

$$R_{Dy} = \frac{-F_{r12} \cdot l_3 - F_{a12} \cdot \frac{d_2}{2} + F_{r34} \cdot (l_3 + l_4) + F_{a34} \cdot \frac{d_3}{2}}{l_3 + l_4 + l_5} \quad (55)$$

Číselné dosazení do rovnice (55)

$$R_{Dy} = \frac{-4113,407 \cdot 0,044 - 2678,093 \cdot \frac{0,228}{2} + 7500,542 \cdot (0,044 + 0,083) + 4801,370 \cdot \frac{0,124}{2}}{0,044 + 0,083 + 0,052} = 4267,940 \text{ N} \quad (56)$$

Součet sil ve směru osy y

$$\sum F_{iy} = 0: R_{Cy} + F_{r12} - F_{r34} + R_{Dy} = 0 \quad (57)$$

Z rovnice (57) vyjádříme  $R_{Cy}$  a číselně dosadíme

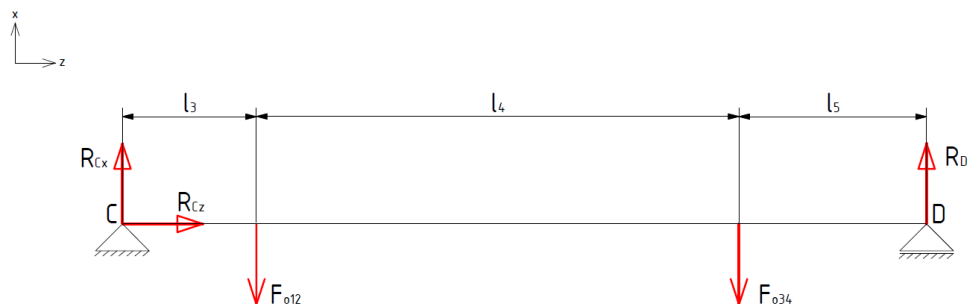
$$R_{Cy} = F_{r34} - F_{r12} - R_{Dy} = 7500,542 - 4113,407 + 4267,940 = 7655,075 \text{ N} \quad (58)$$

Součet sil do směru osy z

$$\sum F_{iz} = 0: R_{Cz} - F_{a12} + F_{a34} = 0 \quad (59)$$

Z rovnice (59) vyjádříme  $R_{Cz}$

$$R_{Cz} = F_{a12} - F_{a34} = 2678,093 - 4801,370 = -2123,277 \text{ N} \quad (60)$$



Obrázek 35: Reakce na předloňové hřídeli v rovině XZ

Součet momentů k bodu C

$$\sum M_{iC} = 0: -F_{012} \cdot l_3 - F_{034} \cdot (l_3 + l_4) + R_{Dx} \cdot (l_3 + l_4 + l_5) = 0 \quad (61)$$

Z rovnice (61) vyjádříme  $R_{Dx}$  a číselně dosadíme

$$R_{Dx} = \frac{F_{012} \cdot l_3 + F_{034} \cdot (l_3 + l_4)}{l_3 + l_4 + l_5} = \frac{9994,778 \cdot 0,044 + 17918,958 \cdot (0,044 + 0,083)}{0,044 + 0,083 + 0,052} = 15170,268 \text{ N} \quad (62)$$

Součet sil ve směru osy x

$$\sum F_{ix} = 0: R_{Cx} - F_{012} - F_{034} + R_{Dx} = 0 \quad (63)$$

Z rovnice (63) vyjádříme  $R_{Cx}$  a číselně dosadíme

$$R_{Cx} = F_{O12} + F_{O34} - R_{Dx} = 9994,7\text{m}78 + 17918,958 - 15170,268 = 12743,468 \text{ N} \quad (64)$$

Výsledné radiální reakce v podporách C a D

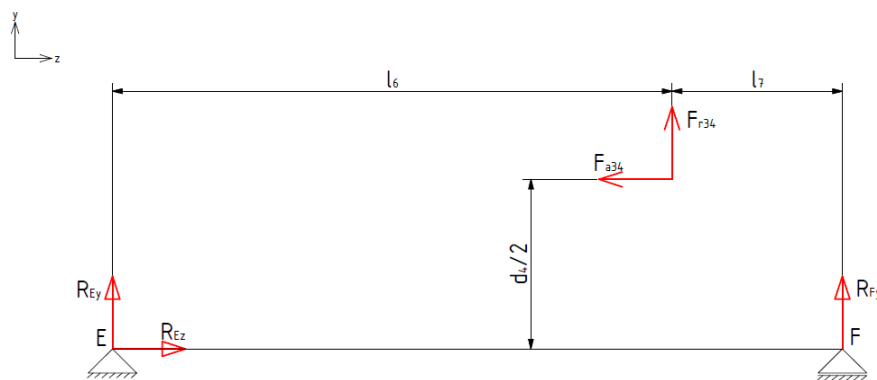
$$R_C = \sqrt{R_{Cx}^2 + R_{Cy}^2} = \sqrt{12743,468^2 + 7655,075^2} = 14865,939 \text{ N} \quad (65)$$

$$R_D = \sqrt{R_{Dx}^2 + R_{Dy}^2} = \sqrt{15170,268^2 + 4267,940^2} = 15759,199 \text{ N} \quad (66)$$

### 4.5.3 Výpočet na výstupní hřídeli

Základní rozměry pro výpočet:  $l_6 = 126 \text{ mm}$ ,  $l_7 = 51 \text{ mm}$ ,

Roztečný průměr ozubeného kola 4:  $d_4 = 329 \text{ mm}$



Obrázek 36: Reakce na výstupní hřídeli v rovině YZ

Součet momentů k bodu E

$$\sum M_{iE} = 0: F_{r34} \cdot l_6 + R_{Fy} \cdot (l_6 + l_7) + F_{a34} \cdot \frac{d_4}{2} = 0 \quad (67)$$

Z rovnice (67) vyjádříme  $R_{Fy}$  a číselně dosadíme

$$R_{Fy} = \frac{-F_{r34} \cdot l_6 - F_{a34} \cdot \frac{d_4}{2}}{l_6 + l_7} = \frac{-7500,542 \cdot 0,126 - 4801,370 \cdot \frac{0,329}{2}}{0,126 + 0,051} = -9801,659 \text{ N} \quad (68)$$

Součet sil ve směru osy y

$$\sum F_{iy} = 0: R_{Ey} + F_{r34} + R_{Fy} = 0 \quad (69)$$

Z rovnice (69) vyjádříme  $R_{Ey}$  a číselně dosadíme

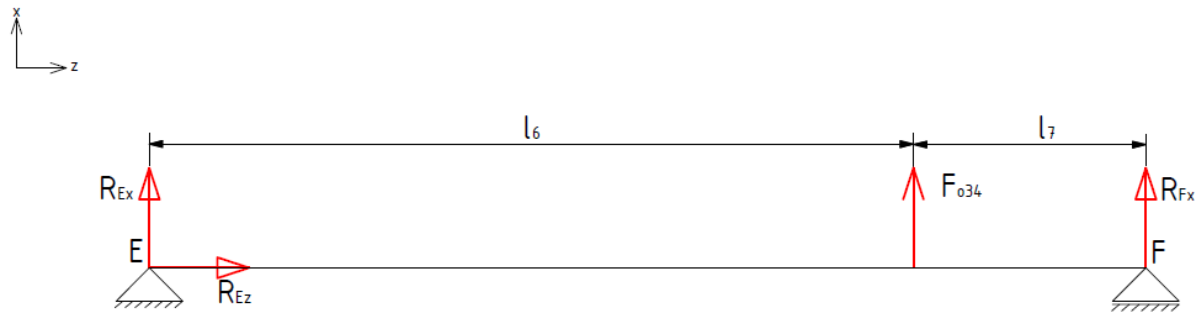
$$R_{Ey} = -F_{r34} - R_{Fy} = -7500,542 + 9801,659 = 2301,117 \text{ N} \quad (70)$$

Součet sil ve směru osy z

$$\sum F_{iz} = 0: R_{Ez} - F_{a34} = 0 \quad (71)$$

Z rovnice (71) vyjádříme  $R_{Ez}$  a číselně dosadíme

$$R_{Ez} = F_{a34} = 4801,370 \text{ N} \quad (72)$$



Obrázek 37: Reakce na výstupní hřídeli v rovině XZ

Součet momentů k bodu E

$$\sum M_{iE} = 0: F_{o34} \cdot l_6 + R_{Fx} \cdot (l_6 + l_7) = 0 \quad (73)$$

Z rovnice (73) vyjádříme  $R_{Fx}$  a číselně dosadíme

$$R_{Fx} = \frac{-F_{o34} \cdot l_6}{l_6 + l_7} = \frac{-17918,958 \cdot 0,126}{0,126 + 0,051} = -12755,868 \text{ N} \quad (74)$$

Součet sil ve směru osy x

$$\sum F_{ix} = 0: R_{Ex} + F_{o34} + R_{Fx} = 0 \quad (75)$$

Z rovnice (75) vyjádříme  $R_{Ex}$  a číselně dosadíme

$$R_{Ex} = -F_{o34} - R_{Fx} = -17918,958 + 12755,868 = -5163,09 \text{ N} \quad (76)$$

Výsledné radiální reakce v podporách E a F

$$R_E = \sqrt{R_{Ex}^2 + R_{Ey}^2} = \sqrt{5163,09^2 + 2301,117^2} = 5652,666 \text{ N} \quad (77)$$

$$R_F = \sqrt{R_{Fx}^2 + R_{Fy}^2} = \sqrt{12775,868^2 + 9801,659^2} = 16102,650 \text{ N} \quad (78)$$

## 4.6 Návrh ložisek

V převodové skříní jsou použita válcová čelní kola se šikmým ozubením, proto je třeba použít ložiska, která dokážou zachytit radiální a axiální síly. Návrh je prováděn dle normy ČSN 02 4610 pomocí Strojnických tabulek 1. Jako typ ložisek jsou vybrány kuželíková ložiska, která mají dle tabulek vynikající vlastnosti pro kombinované zatížení. Návrh posuzujeme podle životnosti ložisek dle jejich hodinového provozu. Při výpočtu je použit exponent  $p$ , který pro kuželíková ložiska s čárovým stykem má hodnotu  $10/3$ . Všechna ložiska jsou zvolena od firmy SKF. Výpočet budeme provádět vždy pro ložisko, které má větší hodnotu reakce. Jelikož pro jednu hřídel použijeme obě ložiska stejného typu.

Pro stroje, které mají nepřetržitý 24 hodinový provoz: převodovky válcovacích stolic, středně velké elektrické stroje, kompresory, důlní výtahy, čerpadla, textilní stroje je doporučena životnost  $(40000 \div 50000)$  hodin. [4]

### Návrh ložisek A a B pro vstupní hřídel

Tabulka 13: Hodnoty reakcí na vstupní hřídeli

$R_A = F_{r1}$	7803,849 N
$R_B$	3103,096 N
$R_{Az} = F_{a1}$	2678,093 N

Výpočet provedeme pro ložisko A. Zvolený průměr hřídele pod ložisky je 60 mm.

Tabulka 14: Parametry ložiska A a B

Označení	33012	
Vnitřní průměr	d = 60 mm	
Vnější průměr	D = 95 mm	
Šířka	B = 27 mm	
Dynamická únosnost	C = 113 000 N	
Výpočtový součinitel	E = 0,33	Y = 1,8

Porovnání výpočtového součinitele e s poměrem axiální a radiální síly

$$\frac{F_{a1}}{F_{r1}} = \frac{2678,093}{7803,849} \leq e \quad (79)$$

$$0,34 \leq 0,33 \quad (80)$$

Z výsledku nerovnosti (80) je ekvivalentní dynamické zatížení vypočteno dle

$$F_{e1} = 0,4 \cdot F_{r1} + Y \cdot F_{a1} = 0,4 \cdot 7803,849 + 1,8 \cdot 2678,093 = 7942,107 \text{ N} \quad (81)$$

Výpočet životnosti ložiska A a B

$$L_{ABhod} = \frac{16666}{n_1} \cdot \left(\frac{C}{F_{e1}}\right)^p = \frac{16666}{2400} \cdot \left(\frac{113000}{7942,107}\right)^{\frac{10}{3}} = 48465 \text{ hod} \quad (82)$$

### Návrh ložisek C a D pro předlohovou hřídel

Tabulka 15: Hodnoty reakcí na předlohové hřídeli

$R_C$	14865,939 N
$R_D = F_{r2}$	15759,199 N
$R_{Cz} = F_{a2}$	2123,277 N

Výpočet provedeme pro ložisko D, s průměrem hřídele pod ložisky 70 mm.

Tabulka 16: Parametry ložiska C a D

Označení	32214	
Vnitřní průměr	d = 70 mm	
Vnější průměr	D = 125 mm	
Šířka	B = 31 mm	
Dynamická únosnost	C = 195 000 N	
Výpočtový součinitel	E = 0,43	Y = 1,4

Porovnání výpočtového součinitele  $e$  s poměrem axiální a radiální síly

$$\frac{F_{a2}}{F_{r2}} = \frac{2123,277}{15759,199} \leq e \quad (83)$$

$$0,13 \leq 0,43 \quad (84)$$

Z výsledku nerovnosti (84) ekvivalentní dynamické zatížení je rovno radiálnímu zatížení

$$F_{e2} = F_{r2} = 15759,199 \text{ N} \quad (85)$$

Výpočet životnosti ložiska C a D

$$L_{CDhod} = \frac{16666}{n_2} \cdot \left(\frac{C}{F_{e2}}\right)^p = \frac{16666}{1036} \cdot \left(\frac{195000}{15759,199}\right)^{\frac{10}{3}} = 70492 \text{ hod} \quad (86)$$

### Návrh ložisek E a F pro výstupní hřídel

Tabulka 17: Hodnoty reakcí na výstupní hřídeli

$R_E$	5652,666 N
$R_F = F_{r3}$	16102,650 N
$R_{Ez} = F_{a3}$	4801,370 N

Výpočet provedeme pro ložisko F. Zvolený průměr hřídele pod ložiska je 130 mm.

Tabulka 18: Parametry ložiska E a F

Označení	32926	
Vnitřní průměr	d = 130 mm	
Vnější průměr	D = 180 mm	
Šířka	B = 32 mm	
Dynamická únosnost	C = 245 000 N	
Výpočtový součinitel	E = 0,33	Y = 1,8

Porovnání výpočtového součinitele  $e$  s poměrem axiální a radiální síly

$$\frac{F_{a3}}{F_{r3}} = \frac{4801,370}{16102,650} \leq e \quad (87)$$

$$0,3 \leq 0,33 \quad (88)$$

Z výsledku nerovnosti (88) ekvivalentní dynamické zatížení je rovno radiálnímu zatížení

$$F_{e3} = F_{r3} = 16102,650 \text{ N} \quad (89)$$

Výpočet životnosti ložiska E a F

$$L_{EFhod} = \frac{16666}{n_3} \cdot \left(\frac{C}{F_{e3}}\right)^p = \frac{16666}{361} \cdot \left(\frac{245000}{16102,650}\right)^{\frac{10}{3}} = 402922 \text{ hod} \quad (90)$$

## 4.7 Pevnostní kontrola hřídele na ohyb a krut

Hřídele převodových skříní jsou namáhány kombinací ohybu a krutu. Pro kontrolu dané kombinace použijeme podmínku pevnosti HMH. Hřídele jsou kontrolovány pod koly, kde ohybový moment nabývá maximálních hodnot. Napětí od krutu spočítáme pro nejmenší průměr, kde napětí nabývá největších hodnot. Modul průřezu v krutu pro kruhový průřez spočteme dle vztahu (37).

$$\text{Modul průřezu v ohybu pro kruhový průřez} \quad W_o = \frac{\pi \cdot d^3}{32} \quad (91)$$

$$\text{Bezpečnost pro houževnaté materiály} \quad S_D = (1,5 \div 2,5) = 2,5$$

$$\text{Napětí na mezi kluzu pro materiál 14220.4} \quad \sigma_{kt} = 590 \text{ MPa}$$

$$\text{Dovolené napětí} \quad \sigma_D = \frac{\sigma_{kt}}{S_D} = \frac{590}{2,5} = 236 \text{ MPa} \quad (92)$$

Doporučené maximální hodnoty průhybu hřídelí jsou spočteny dle [14].

Maximální průhyb pod ozubeným kolem

$$y_{maxOZ} = 0,01 \cdot m_{12}(m_{34}) = 0,01 \cdot 5(6) = 0,05(0,06) \text{ mm} \quad (93)$$

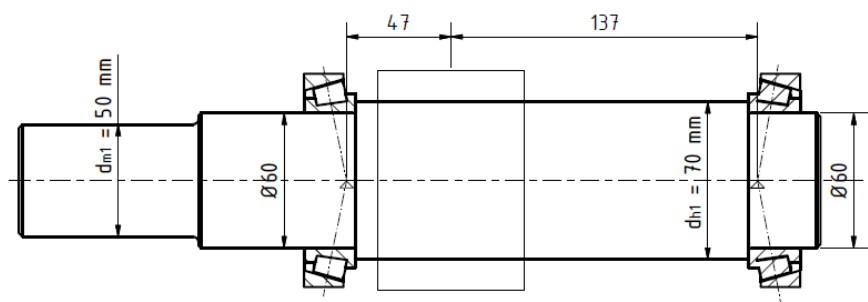
Maximální průhyb mezi ložisky

$$y_{maxL} = 0,01 \cdot l = 0,0003 \cdot 184(179) = 0,0552(0,0537) \text{ mm} \quad (94)$$

Na prvním místě ve výpočtu je hodnota pro vstupní hřídel, hodnota v závorce platí pro předlohou hřídel.

Hodnoty reakcí v podporách byly spočteny v kapitole 4.5, zároveň platí stejné vzdálenosti mezi podporami a koly. V příloze č. 4. jsou graficky zobrazené výpočty hřídelí pomocí programu Autodesk Inventor 2016.

### 4.7.1 Kontrola vstupní hřídele



Obrázek 38: Průměry a rozložení vstupní hřídele

Napětí od krutu spočteme pro nejmenší průměr

$$\tau_{k1} = \frac{M_{k1}}{W_{k1}} = \frac{M_{k1}}{\frac{\pi \cdot d_{m1}^3}{16}} = \frac{M_{k1}}{\frac{\pi \cdot d_{m1}^3}{16}} = \frac{497,359}{\frac{\pi \cdot 0,05^3}{16}} = 20,26 \text{ MPa} \quad (95)$$

Ohybové napětí spočteme od podpory A

$$\sigma_{o1} = \frac{M_{o1}}{W_{o1}} = \frac{\sqrt{M_{oAYZ}^2 + M_{oAXZ}^2}}{\frac{\pi \cdot d_{h1}^3}{32}} = \frac{\sqrt{(R_{Ay} \cdot l_1)^2 + (R_{Ax} \cdot l_1)^2}}{\frac{\pi \cdot d_{h1}^3}{32}} \quad (96)$$

Dosazení do rovnice (96)

$$\sigma_{o1} = \frac{\sqrt{(2349,512 \cdot 0,047)^2 + (7441,764 \cdot 0,047)^2}}{\frac{\pi \cdot 0,07^3}{32}} = 10,89 \text{ MPa} \quad (97)$$

Výsledné maximální redukované napětí

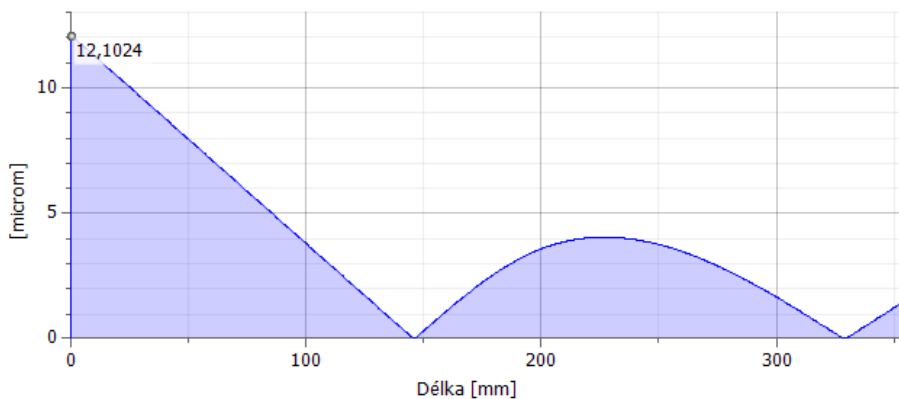
$$\sigma_{red1} = \sqrt{\sigma_{o1}^2 + 3 \cdot \tau_{k1}^2} = \sqrt{10,89^2 + 3 \cdot 20,26^2} = 36,742 \text{ MPa} \quad (98)$$

Porovnání s dovoleným napětím

$$\sigma_{red1} \leq \sigma_D$$

$$36,742 \text{ MPa} \leq 236 \text{ MPa} \rightarrow \text{VYHOVUJE}$$

### Kontrola na průhyb

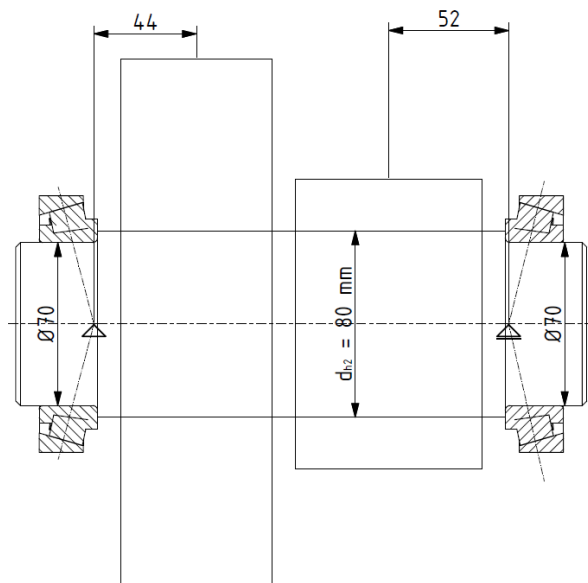


Obrázek 39: Celkový průhyb na vstupní hřídeli

K největšímu průhybu dochází na konci hřídele vstupující do převodovky. Hodnota tohoto průhybu je 0,012 mm. V porovnání s maximálním doporučeným průhybem v rovnicích (93) a (94) hřídel na průhyb vyhovuje.

### 4.7.2 Kontrola předlohové hřídele

Ozubené kolo 2 ve vzdálenosti 44 mm od podpory je spojeno s hřídelí pomocí pera. Do výpočtu však drážku pro pero nezahrneme, jelikož ovlivní výpočet jen málo.



Obrázek 40: Průměry a rozložení předlohové hřídele

Napětí od krutu

$$\tau_{k2} = \frac{M_{k2}}{W_{k2}} = \frac{M_{k2}}{\frac{\pi \cdot d_{h2}^3}{16}} = \frac{M_{k2}}{\frac{\pi \cdot d_{h2}^3}{16}} = \frac{1128,846}{\frac{\pi \cdot 0,08^3}{16}} = 11,23 \text{ MPa} \quad (99)$$

Ohybové napětí od podpory C

$$\sigma_{o2C} = \frac{M_{o2C}}{W_{o2}} = \frac{\sqrt{M_{oCYZ}^2 + M_{oCXZ}^2}}{\frac{\pi \cdot d_{h2}^3}{32}} = \frac{\sqrt{(R_{Cy} \cdot l_3)^2 + (R_{Cx} \cdot l_3)^2}}{\frac{\pi \cdot d_{h2}^3}{32}} \quad (100)$$

Číselné dosazení do rovnice (100)

$$\sigma_{o2C} = \frac{\sqrt{(7655,075 \cdot 0,044)^2 + (12743,468 \cdot 0,044)^2}}{\frac{\pi \cdot 0,08^3}{32}} = 13 \text{ MPa} \quad (101)$$

Ohybové napětí od podpory D

$$\sigma_{o2D} = \frac{M_{o2D}}{W_{o2}} = \frac{\sqrt{M_{oDYZ}^2 + M_{oDXZ}^2}}{\frac{\pi \cdot d_{h2}^3}{32}} = \frac{\sqrt{(R_{Dy} \cdot l_5)^2 + (R_{Dx} \cdot l_5)^2}}{\frac{\pi \cdot d_{h2}^3}{32}} \quad (102)$$

Číselné dosazení do rovnice (102)

$$\sigma_{o2D} = \frac{\sqrt{(4267,940 \cdot 0,052)^2 + (15170,268 \cdot 0,052)^2}}{\frac{\pi \cdot 0,08^3}{32}} = 16,3 \text{ MPa} \quad (103)$$

Výsledné redukované napětí pro hodnotu většího ohybového napětí

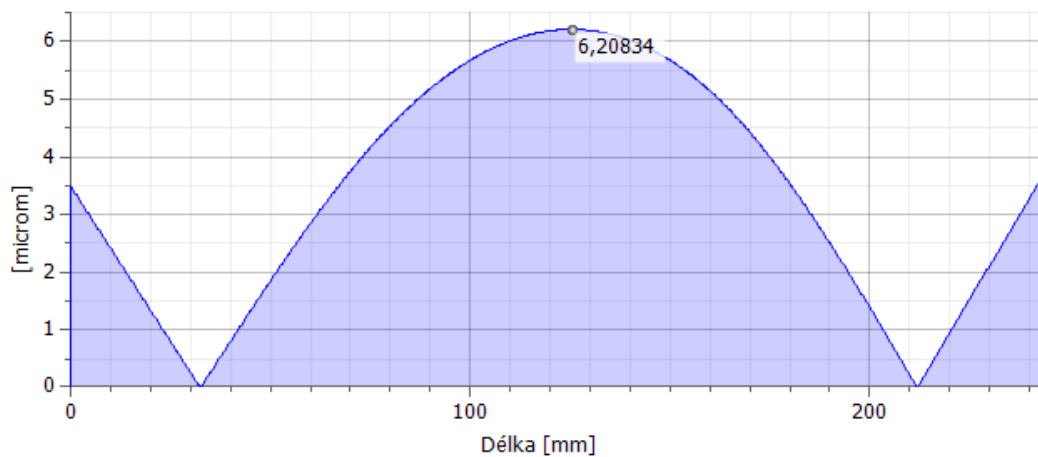
$$\sigma_{red2} = \sqrt{\sigma_{o2D}^2 + 3 \cdot \tau_{k2}^2} = \sqrt{16,3^2 + 3 \cdot 11,23^2} = 25,378 \text{ MPa} \quad (104)$$

Porovnání s dovoleným napětím

$$\sigma_{red2D} \leq \sigma_D$$

$$25,378 \text{ MPa} \leq 236 \text{ MPa} \rightarrow \text{VYHOVUJE}$$

**Kontrola na průhyb**



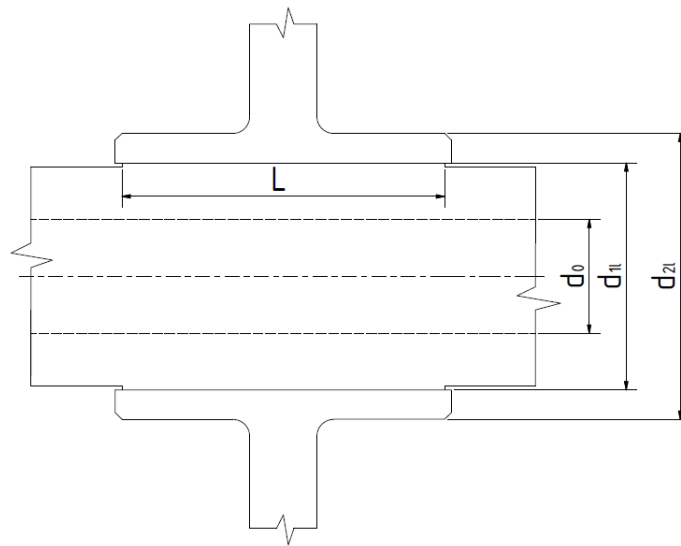
Obrázek 41: Celkový průhyb na předlohové hřídeli

K maximální hodnotě průhybu 0,006 mm dochází pod ozubenými koly. Doporučené maximální hodnoty průhybů, viz rovnice (93) a (94), jsou mnohem vyšší, než vypočtený průhyb. Kontrola předlohové hřídele na průhyb vyhovuje.



#### 4.8 Výpočet nalisování ozubeného kola na nápravu

Krouticí moment na nápravě	$M_{k3} = 2931,613 \text{ Nm}$
Součinitel tření	$f = (0,1 \div 0,25) = 0,15$
Délka lisovacího spoje	$L = 96 \text{ mm}$
Modul pružnosti v tahu	$E = 2,1 \cdot 10^5 \text{ MPa}$
Vnitřní průměr nápravy	$d_0 = 0 \text{ mm}$
Vnější průměr nápravy	$d_{11} = 135 \text{ mm}$
Vnější průměr náboje	$d_{21} = 170 \text{ mm}$
Součinitel bezpečnosti proti prokluzu	$s_f = (2 \div 2,5) = 2$



Obrázek 42: Rozměry pro nalisování

Výpočet koeficientu dle průměru

$$C_1 = \frac{d_{11}^2 + d_0^2}{d_{11}^2 - d_0^2} = \frac{0,135^2 + 0^2}{0,135^2 - 0^2} = 1 \quad (105)$$

$$C_2 = \frac{d_{21}^2 + d_{11}^2}{d_{21}^2 - d_{11}^2} = \frac{0,170^2 + 0,135^2}{0,170^2 - 0,135^2} = 4,42 \quad (106)$$

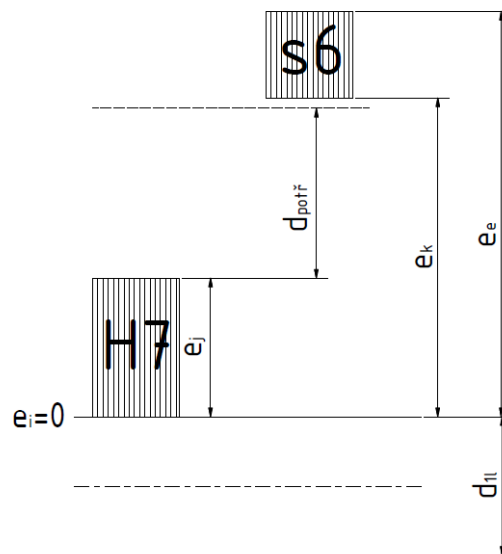
Potřebný tlak ve spojované ploše

$$p_{1potř} = \frac{M_{k3} \cdot s_f}{\pi \cdot \frac{d_1^2}{2} \cdot L \cdot f} = \frac{2931,613 \cdot 2}{\pi \cdot \frac{0,135^2}{2} \cdot 0,096 \cdot 0,15} = 14,223 \text{ MPa} \quad (107)$$

Minimální potřebný přesah ve stykové ploše

$$\Delta d_{potř} = \frac{d_{11} \cdot p_{1potř}}{E} \cdot (C_1 + C_2) = \frac{135 \cdot 14,223}{210000} \cdot (1 + 4,42) = 0,049 \text{ mm} \quad (108)$$

### Určení uložení



Obrázek 43: Tolerance

Jako základ volíme uložení H7, které leží na nulové čáře.

pro  $d_{11} = 135 \text{ mm}$  a H7:  $e_j = 0,04 \text{ mm}$

$$e_i = 0$$

Musí platit:  $e_k \geq e_j + \Delta d_{potř} = 0,04 + 0,049 = 0,089 \text{ mm}$  (109)

Pro  $d_{11} = 135 \text{ mm}$  a s6:  $e_e = 0,117$

$$e_k = 0,092$$

Hodnota  $e_e$  je zároveň maximální průměr nalisování  $\Delta d_{max} = 0,117 \text{ mm}$ .

Dle provedené kontroly uložení H7/s6 vyhovuje.

Při návrhu jsou použity tabulky soustavy tolerancí a uložení z přílohy č. 5.

### Pevnostní kontrola

$$p_{max} = \frac{\Delta d_{max}}{d_{11}} \cdot \frac{E}{(C_1 + C_2)} = \frac{0,000117}{0,135} \cdot \frac{210000 \cdot 10^6}{(1 + 4,42)} = 33,58 \text{ MPa} \quad (110)$$

$$\sigma_{redN} = p_{max} \cdot (C_2 + 1) = 33,58 \cdot (4,42 + 1) = 182 \text{ MPa} \quad (111)$$

$$\sigma_{redH} = p_{max} \cdot (C_1 + 1) = 33,58 \cdot (1 - 1) = 0 \text{ MPa} \quad (112)$$

### Porovnání s dovoleným napětím, které má hodnotu dle výpočtu (92)

$$\sigma_{redN} \leq \sigma_D$$

$$182 \text{ MPa} \leq 236 \text{ MPa} \rightarrow \text{VYHOVUJE}$$

## 4.9 Výpočet těsného pera

Pomocí Inventoru bylo navrženo pero 22x14x63. Nyní provedeme jeho kontrolu na smyk a otláčení.

Krouticí moment na předlohové hřídeli  $M_{k2} = 1128,846 \text{ Nm}$

Šířka pera  $b_p = 22 \text{ mm}$

Výška pera  $h_p = 14 \text{ mm}$

Délka pera  $l_p = 63 \text{ mm}$

Průměr hřídele  $d_{h2} = 80 \text{ mm}$

Dovolený tlak  $p_D = 0,7 \cdot \frac{\sigma_{kt}}{2,5} = 0,7 \cdot \frac{590}{2,5} = 166 \text{ MPa}$  (113)

Dovolené napětí ve smyku  $\tau_{Ds} = 0,6 \cdot \frac{\sigma_{kt}}{2,5} = 0,6 \cdot \frac{590}{2,5} = 142 \text{ MPa}$  (114)

### Kontrola na otláčení

$$p = \frac{F}{S_p} = \frac{\frac{2 \cdot M_{k2}}{d_{h2}}}{\frac{h_p}{2} \cdot (l_p - b_p)} = \frac{\frac{2 \cdot 1128,846}{0,080}}{\frac{0,014}{2} \cdot (0,063 - 0,022)} = 98,3 \text{ MPa} \quad (115)$$

Porovnání s dovoleným tlakem

$$p \leq p_D$$

$98,3 \text{ MPa} \leq 166 \text{ MPa} \rightarrow \text{VYHOVUJE}$

### Kontrola na smyk

$$\tau_s = \frac{F}{S_s} = \frac{\frac{2 \cdot M_{k2}}{d_{h2}}}{b_p \cdot l_p} = \frac{\frac{2 \cdot 1128,846}{0,08}}{0,022 \cdot 0,063} = 20,4 \text{ MPa} \quad (116)$$

Porovnání s dovoleným napětím

$$\tau_s \leq \tau_{Ds}$$

$20,4 \text{ MPa} \leq 142 \text{ MPa} \rightarrow \text{VYHOVUJE}$

## 4.10 Konstrukce převodovky

Skříň převodovky slouží k rozložení a spojení převodových dílů, jejich ochraně před znečištěním, uspořádání mazacího systému a také přenáší síly, které vznikají v ozubeních a ložiskách. Skříň je složena ze spodního a horního dílu, které jsou opatřeny potřebnými prvky pro správnou funkci převodovky. Přes různorodé tvary skříně mají však stejné některé konstrukční prvky jako jsou příruby, žebra, víčka a prvky pro mazání. Tvar těla skříně je určen technologickými, provozními a estetickými podmínkami.

### **Empirický výpočet základních rozměrů skříně**

Dle [15] jsou pomocí empirických vztahů spočtené některé parametry skříně převodovky

Tloušťka stěn skříně

$$\delta = 1,2 \cdot \sqrt[4]{M_3} = 1,2 \cdot \sqrt[4]{2931,613} = 8,83 \text{ mm} = 10 \text{ mm} \quad (117)$$

Tloušťka přírub pro spojení skříní

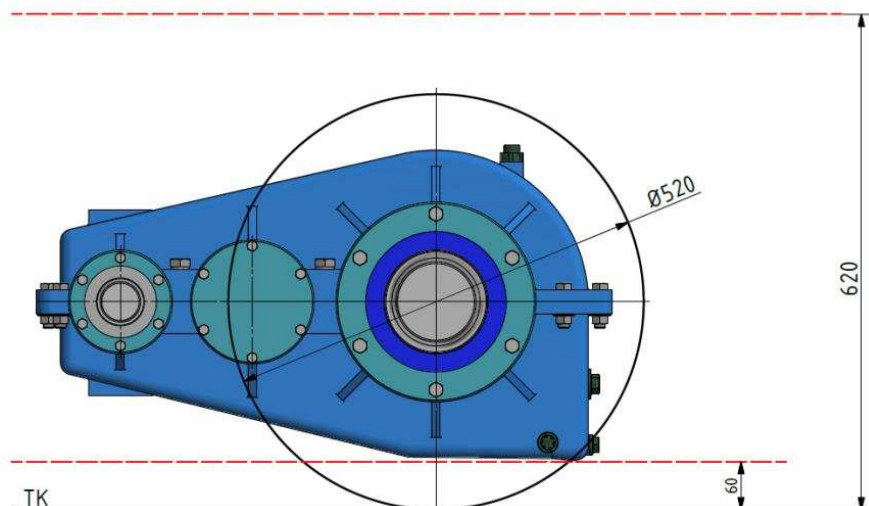
$$\delta_p = 1,5 \cdot \delta = 1,5 \cdot 10 = 15 \text{ mm} \quad (118)$$

Tloušťka žeber

$$\delta_z = (0,9 \div 1) \cdot 10 = 0,95 \cdot 10 = 9,5 \text{ mm} = 10 \text{ mm} \quad (119)$$

### **Kontrola spodního obrysu**

Návrh byl ovlivněn omezením spodního obrysu pro vozidlo při maximálním opotřebení dvojkolí. Výpočet prokazující splnění podmínky byl proveden a dokázán pomocí nerovnosti č. (41). Na obrázku 44. je však pro vizuální porovnání zobrazen výsledný tvar převodovky skříně, která nezasahuje do omezeného prostoru.



Obrázek 44: Kontrola omezení spodního obrysu vozidla a převodovky

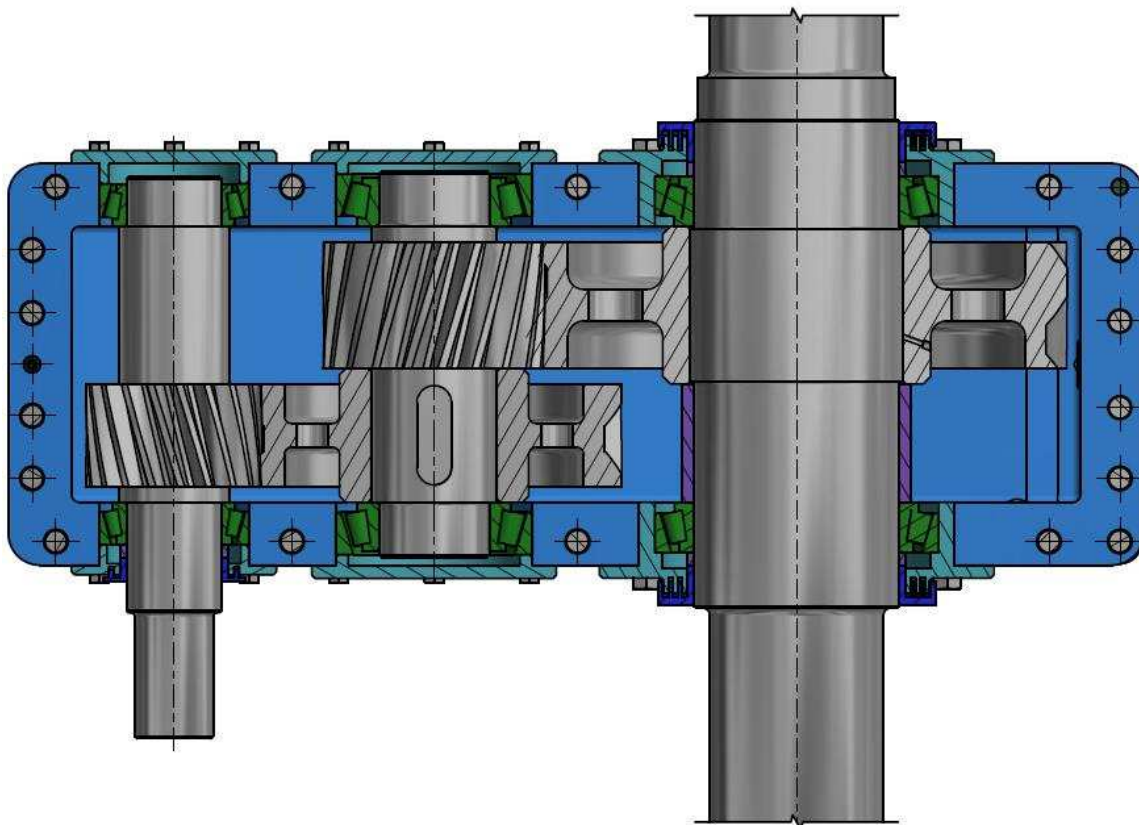
#### 4.10.1 Popis vnitřního uspořádání převodovky

Pastorky obou soukolí jsou vyrobeny jako součást hřídelí. Tím odpadá nutnost axiálního zajištění pastorku. Jako polotovar je použita tyč kruhová. Ozubená kola jsou vyrobena jako výkovek. Po tváření jsou kola obráběna pro zlepšení jakosti povrchu a přesnosti. Z důvodu snížení hmotnosti jsou ozubená kola opatřena odlehčujícími otvory. Ozubené kolo 2. je na hřídel nasazené pomocí pera. Proto náboj kola je opatřen drážkou pro spojení perem. Ozubené kolo 4. je na nápravu nalisované s tolerancí H7/s6. Pro případ demontáže je náboj kola opatřen mazacím kanálkem.

Hřídele jsou uloženy ve skříni pomocí jednořadých kuželíkových ložisek. Axiální zajištění obstarávají změny průměru hřídelí a víčka. Na předloňové hřídeli je ozubené kolo axiálně zajištěno opřením náboje kola o ložisko a pastorek. Na nápravě kvůli velké vzdálenosti od opírací plochy jednoho z ložisek je použita trubka, která slouží jako distanční kroužek.

Jako těsnící prvek jsou použita bezkontaktní labyrintová těsnění. Těsnící účinek je založen na vytvoření malé mezery mezi rotující a statickou částí. Mezera je vyplněna plastickým nebo kapalným mazivem. Mezi hlavní výhody daného typu těsnění patří nízké tření maziva, neopotřebování součástí, jednoduchý provoz, dlouhá životnost a nezávislost na obvodové rychlosti. Funkce těsnění je zabránění úniku oleje ven z převodovky a vniku nečistot a vlhkosti do vnitřního prostoru převodovky. [16]

Pro náš případ je statická část těsnění součástí víček, které jsou přišroubované ke skříni převodovky. Rotující část těsnění je nalisovaná na hřídeli. Pro snadnější vymezení nalisování rotujících částí jsou použité distanční kroužky. Víčka a těsnění jsou vyrobeny jako obrobek z tyče kruhové. Rozměry těsnění jsou navrženy dle přílohy č. 6.



Obrázek 45: Řez převodovky v dělicí rovině

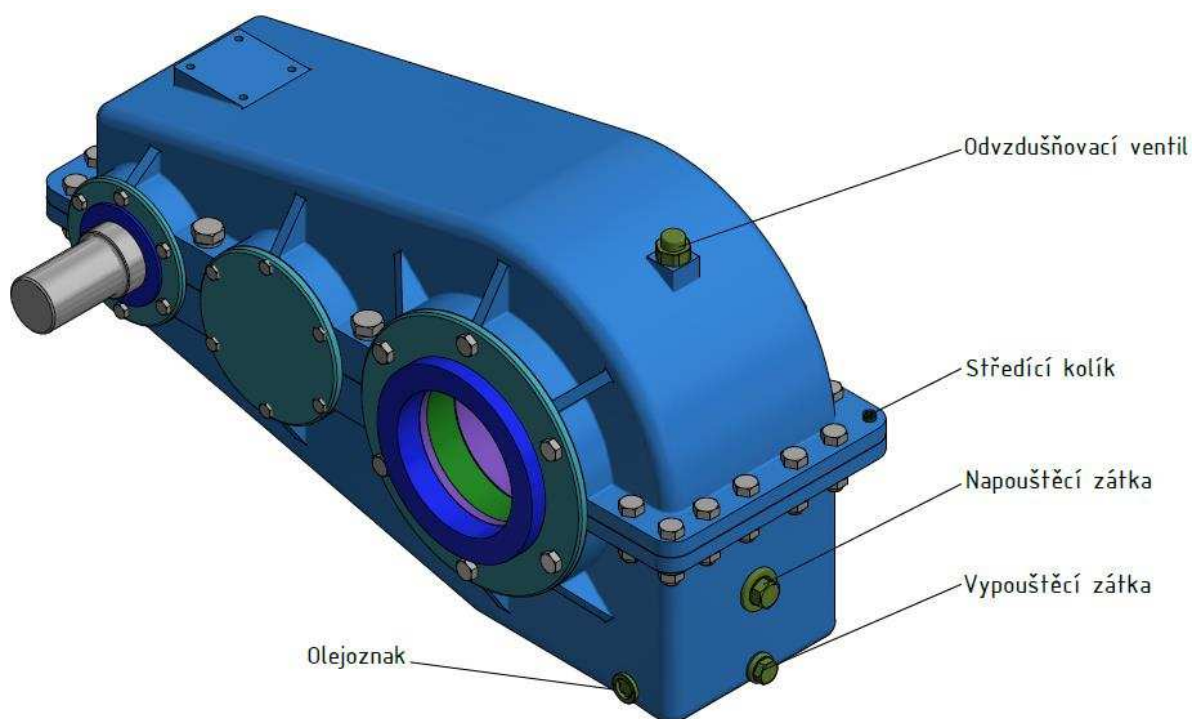
#### 4.10.2 Vnější popis převodovky

Mazání převodové skříně probíhá broděním. To znamená, že hladina oleje je nízká, do olejové lázně je ponořeno pouze velké ozubené kolo 4. Ostatní části jsou mazány odstříkujícím olejem. Skříň je provedena se sklonem a tím olej stéká zpátky pod ozubené kolo.

Při delším provozu převodovky je olej znečištěn opotřebením a zároveň stárne. Tím se jeho vlastnosti zhoršují, proto je olej v převodovce pravidelně nahrazován. K tomuto účelu musí spodní díl skříně převodovky obsahovat vypouštěcí a napouštěcí otvor. Dno skříně je provedeno se sklonem směrem k vypouštěcímu otvoru. V místě otvoru je vytvořeno vybrání pro usazení nečistot a snadnější odtékání oleje. Napouštěcí otvor je umístěn rovněž na spodní skříně, z důvodu snadné přístupnosti. Pro kontrolu stavu oleje je spodní část skříně opatřena olejoznakem od firmy Hennlich. [17]

Při práci převodovky (z důvodu ohřátí oleje a vzduchu) dochází k zvyšování tlaku ve skříně, což vede k průniku oleje skrz těsnění a spoje. Abychom tomuto předešli, je horní skříň opatřena odvzdušňovacím ventilem od firmy Eles+Ganter. [18] Všechny části jsou ke skříně přišroubované.

Převodová skříň je rozdělena vodorovnou dělicí rovinou na dva díly. Spojení těchto dílů zajišťuje šroubový spoj složený ze 13 šroubů M14, matic M14 a podložek A 15. Přesnou polohu horního a dolního dílu skříně docílíme pomocí dvou kuželových kolíků. Jsou menších rozměrů než spojovací šrouby a leží v největší možné vzdálenosti jeden od druhého. Horní a dolní díl obsahuje sedla pro uchycení závěsky. Oba díly převodové skříně jsou vyrobeny jako odlitek ze šedé litiny ČSN 42 2424.



Obrázek 46: Části převodovky

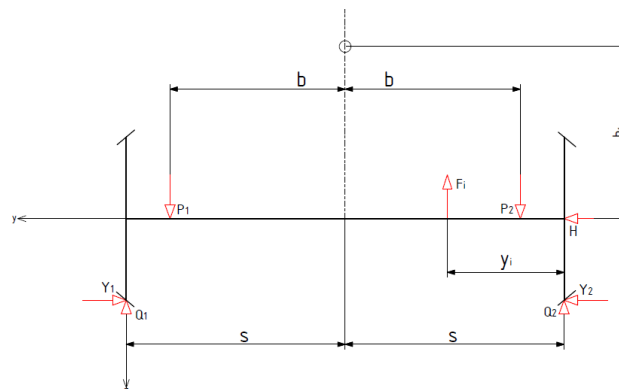
## 5 Koncepce podvozku

### 5.1 Zatížení nápravy

Pro výpočet nápravových ložisek potřebujeme nejdříve zjistit působící síly na nápravě. Výpočet nápravy je prováděn dle normy ČSN EN 13104.

Sedící místa	64
Místa ke stání	114
Průměrná váha cestujícího	$m_c = 70$ kg
Jmenovitá hmotnost vozu	$m_L = 42$ t
Hmotnost dvojkolí	$m_{dv} = 700$ kg
Hmotnost převodovky	$m_p = 215$ kg
Průměr kola	$d = 600$ mm
Výška těžiště nad osou nápravy	$h_1 = 700$ mm
Vzdálenost styčných kružnic	$2s = 1500$ mm
Vzdálenost středů ložisek	$2b = 1240$ mm
Počet náprav	$i = 8$
Působení síly od neodpružené hmoty	$y_i = 380$ mm
Gravitační zrychlení	$g = 9,81$ m/s <sup>2</sup>

#### Určení působících sil



Obrázek 47: Působící síly na nápravě

- $P_1, P_2$  ...síly na čepích
- $Q_1, Q_2$  ...svislé reakce
- $Y_1, Y_2, H$  ...příčné síly
- $F_i$  ...síla od neodpružené hmoty

#### Stanovení hmotností

Hmotnost cestujících

$$m_3 = (\text{sedící místa} + \text{místa ke stání}) \cdot m_c = (64 + 114) \cdot 70 = 12\,460 \text{ kg} \quad (120)$$

Hmotnost upevněna na nápravě

$$m_2 = m_{dv} + \frac{2}{3} \cdot m_p = 700 + \frac{2}{3} \cdot 215 = 843 \text{ kg} \quad (121)$$

Referenční hmotnost

$$m_1 = \frac{m_L}{i} + 1,2 \cdot \frac{m_3}{i} - m_2 = \frac{42000}{8} + 1,2 \cdot \frac{12460}{8} - 843,33 = 6276 \text{ kg} \quad (122)$$

### Síly spojené s hmotnostmi v pohybu

$$P_1 = (0,625 + 0,0875 \cdot \frac{h_1}{b}) \cdot m_1 \cdot g = (0,625 + 0,0875 \cdot \frac{0,70}{0,62}) \cdot 6276 \cdot 9,81 = 44562 \text{ N} \quad (123)$$

$$P_2 = (0,625 - 0,0875 \cdot \frac{h_1}{b}) \cdot m_1 \cdot g = (0,625 - 0,0875 \cdot \frac{0,70}{0,62}) \cdot 6276 \cdot 9,81 = 32398 \text{ N} \quad (124)$$

$$Y_1 = 0,35 \cdot m_1 \cdot g = 0,35 \cdot 6276 \cdot 9,81 = 21548 \text{ N} \quad (125)$$

$$Y_2 = 0,175 \cdot m_1 \cdot g = 0,175 \cdot 6276 \cdot 9,81 = 10774 \text{ N} \quad (126)$$

$$H = Y_1 - Y_2 = 21548 - 10774 = 10774 \text{ N} \quad (127)$$

### Svislé zatížení nápravy částmi s ní spojenými

V našem případě zde vystupuje pouze síla od převodovky.

$$F_i = \frac{2}{3} \cdot m_p \cdot g = \frac{2}{3} \cdot 215 \cdot 9,81 = 1406 \text{ N} \quad (128)$$

### Vertikální reakce

$$Q_1 = \frac{1}{2 \cdot s} \cdot [P_1 \cdot (b + s) - P_2 \cdot (b - s) + (Y_1 - Y_2) \cdot R - F_i \cdot (2 \cdot s - y_i)] \quad (129)$$

Dosazení do rovnice (129)

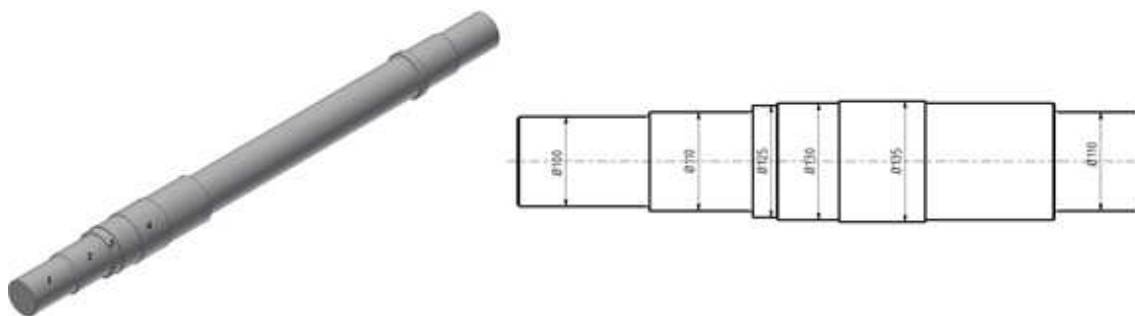
$$Q_1 = \frac{1}{2 \cdot 0,75} \cdot [44562 \cdot (0,62 + 0,75) - 32398 \cdot (0,62 - 0,75) + (21548 - 10774) \cdot 0,3 - 1406 \cdot (2 \cdot 0,75 - 0,38)] = 44612 \text{ N} \quad (130)$$

$$Q_2 = \frac{1}{2 \cdot s} \cdot [P_2 \cdot (b + s) - P_1 \cdot (b - s) - (Y_1 - Y_2) \cdot R - F_i \cdot y_i] \quad (131)$$

Dosazení do rovnice (131)

$$Q_2 = \frac{1}{2 \cdot 0,75} \cdot [32398 \cdot (0,62 + 0,75) - 44562 \cdot (0,62 - 0,75) - (21548 - 10774) \cdot 0,3 - 1406 \cdot 0,38] = 30941 \text{ N} \quad (132)$$

Ozubené kolo druhého sokolí je nalisované na největším průměru nápravy (4). Z důvodu použití vnitřního rámu je kolo kolejevého vozidla nasazeno na průměr (1). Nápravové ložisko je umístěno na průměru (2) mezi osazením (3) a kolem vozidla. Přechody mezi jednotlivými průměry jsou opatřeny zaoblením jako ochrana proti vrubům a koncentracím napětí. Průměry nápravy jsou odstupňovány empiricky.



Obrázek 48: Náprava



## 5.2 Návrh nápravového ložiska

Nápravová ložiska slouží k přenášení hmotnosti skříně a rámu podvozku na nápravu a dvojkolí. Zároveň přenáší hnací a brzdící síly od dvojkolí na rám. V současné době se nejčastěji používají kompaktní ložiskové jednotky. U nichž vnější ložiskový kroužek slouží zároveň jako ložisková skříň. Pro náš případ však použijeme ložiskovou skříň a dvouřadá soudečková ložiska samostatně.

Požadovaná trvanlivost nápravových ložisek pro vozidla městské dopravy se v praxi uvažuje  $L_s = 1\,500\,000$  km. [4]

Tabulka 19: Parametry nápravového ložiska

Označení	24122 CC/W33		
Vnitřní průměr	d = 110 mm		
Vnější průměr	D = 180 mm		
Šířka	B = 69 mm		
Dynamická únosnost	C = 539 000 N		
Výpočtový součinitel	E = 0,37	Y <sub>1</sub> = 1,8	Y <sub>2</sub> = 2,7

Výpočet je prováděn stejným způsobem jako pro ložiska převodové skříně. Radiální a axiální síla byla spočtena při výpočtu nápravy v předchozím kroku.

Tabulka 20: Hodnota reakcí na nápravě

$P_1 = F_r$	44562 N
$H = F_a$	10774 N

Porovnání ekvivalentního součinitele

$$F_a / F_r \leq e \quad (133)$$

$$10774 / 44562 \leq 0,37 \quad (134)$$

$$0,24 \leq 0,37 \quad (135)$$

Dle nerovnosti (135) je ekvivalentní síla spočtena dle vztahu

$$F_e = F_r + Y_1 \cdot F_a = 44562 + 1,8 \cdot 10774 = 63955,2 \text{ N} \quad (136)$$

Pro dané ložisko provedeme výpočet na otáčkovou životnost

$$L_{Not} = \left(\frac{C}{F_e}\right)^p = \left(\frac{539000}{63955,2}\right)^{\frac{10}{3}} = 1218 \cdot 10^6 \text{ ot} \quad (137)$$

Abychom mohli posoudit, zda ložiska vyhovují životnosti 1 500 000 km, musíme danou životnost vyjádřit v otáčkách. Přepočítáme požadovaný počet kilometrů na otáčky pomocí obvodu kola tramvajového vozidla.

$$L_{Sot} = \frac{L_s}{o_k} = \frac{1\,500\,000\,000}{\pi \cdot 0,56} = 852615766,6 \text{ ot} = 853 \cdot 10^6 \text{ ot} \quad (138)$$

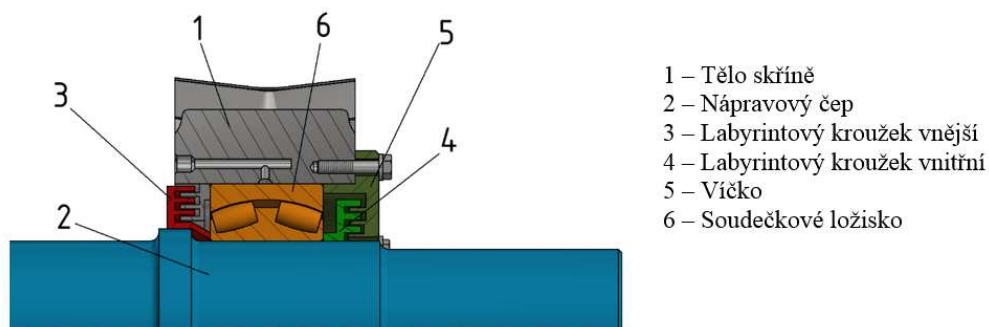
Kontrola

$$L_{Not} \geq L_{Sot}$$

$$1218 \cdot 10^6 \text{ ot} \geq 853 \cdot 10^6 \text{ ot} \rightarrow \text{VYHOVUJE}$$

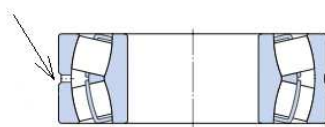
### 5.3 Ložisková skříň

Hlavní částí nápravového ložiska je skříň, vlastní ložisko a těsnění. Tělo skříně (1) představuje obal, ke kterému jsou připevněny ostatní části. V těle skříně jsou vyvrtané kanálky, které slouží pro mazání ložisek. Soudečkové ložisko (6) je na nápravový čep (2) nalisováno. Jako těsnění jsou použity bezkontaktní labyrintové kroužky (3,4), které jsou na nápravu rovněž nalisované. Skříň je uzavřena víčkem (5), které se upevní ke skříni pomocí šroubů s pružnými podložkami. Součástí víčka je labyrintové těsnění.



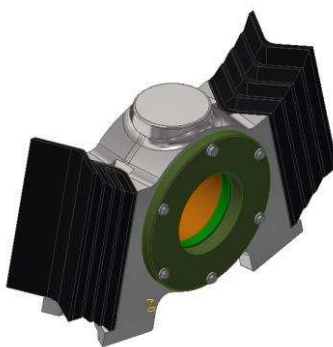
Obrázek 49: Ložisková skříň

Aby docházelo k mazání ložiska, je vnější kroužek soudečkového ložiska opatřen otvorem, do kterého přes kanálky ložiskové skříně proudí mazivo.



Obrázek 50: Soudečkové ložisko s otvorem [19]

### 5.4 Primární vypružení



Obrázek 51: Primární vypružení Meggi

Každá sada těchto pružin je složena ze dvou identických částí. Sada plechů a pryžových těsnění, které jsou symetricky umístěny po obou stranách ložiskové skříně. Plechy jsou spojeny lepidlem nebo prostřednictvím vulkanizace pryže. Pružiny jsou instalovány s mírným sklonem vůči svislé rovině, která je kolmá na směr jízdy. Při vertikálním zatížení nápravy dochází v gumových podložkách současně k tlaku a smyku. Plechy značně zvyšují odolnost proti tlakovým silám, aniž by ovlivňovaly odolnost proti smyku. Pružina má vysokou tuhost v podélném směru, tato vlastnost je výhodná pro trakční a brzdné síly. Výhodou je snadná údržba, malá hmotnost a kompaktnost. Nevýhodou je tepelná závislost pružiny a ztráta pružících vlastností. [20]

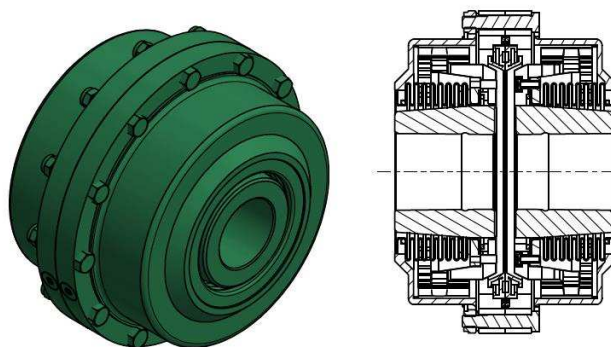
## 5.5 Zubová spojka

Přenos krouticího momentu z motoru na převodovku je zajištěn pomocí zubové spojky. Trakční motor je připevněn k rámu podvozku a je spolu s ním odpružen na pružinách primárního vypružení. Převodovka je nalisovaná na nápravě. Následkem toho se při pohybu podvozku a při stlačení primárních pružin motor vůči převodovce svisle pohybuje. Zubová spojka však tento svislý pohyb umožňuje.

Tabulka 21: Parametry zubové spojky ZDW

Jmenovitý krouticí moment	500 Nm
Maximální krouticí moment	1200 Nm
Maximální otáčky	4200 ot/min
Svislý / Axiální posuv	7 mm / 10 mm

Získaná spojka vyhovuje pro naše pohonné soustrojí. Při porovnání parametru zubové spojky dle tabulky 22. a parametru motoru dle tabulky 8. vidíme, že spojka má vyšší otáčkové i momentové hodnoty než motor.



Obrázek 52: Zubová spojka (Ing. Robert Zemánek)

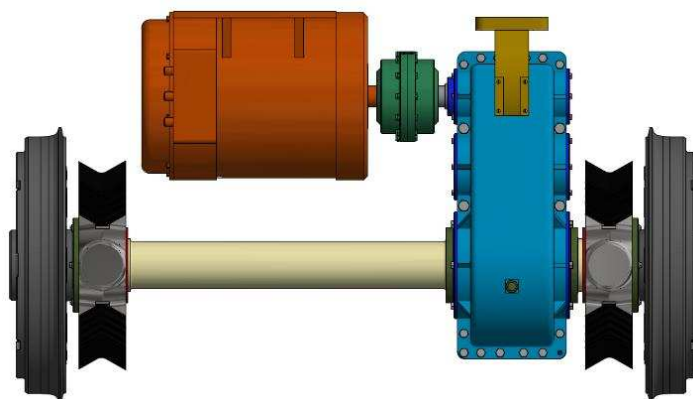
## 5.6 Zavěšení převodovky



Obrázek 53: Závěšovací konzola

Závěšovací konzola slouží k zachycení reakčních sil a držení převodové skříně v horizontální poloze. V současné době jsou používány speciální závěsky umístěné v ose pastorku. Jde o ocelovou konstrukci ve tvaru půlměsíce. Mezi závěskou a skříní převodovky jsou vloženy pružné elementy. Závěska je připevněna k rámu podvozku stejně jako motor. Při stlačení primárních pružin dochází k svislému pohybu motoru i spojky. Proto při daném provedení dochází k menším svislým posuvům mezi motorem a převodovkou.

## 5.7 Pohonné ústrojí



Obrázek 54: Navržený pohon

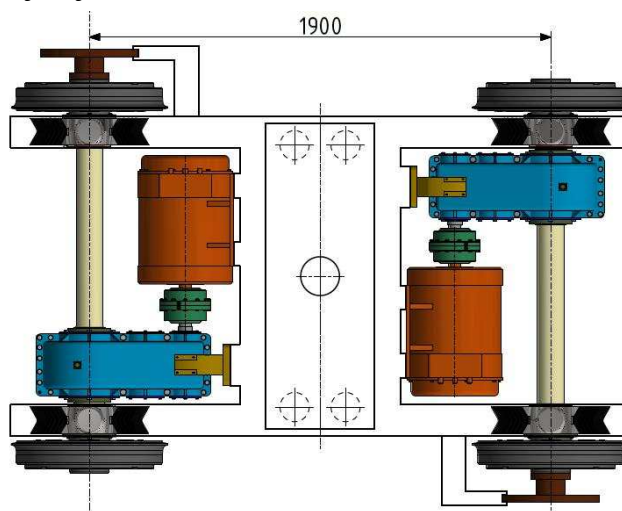
Jak bylo popsáno v kapitole 3.5 je navržený závěškový pohon s čelní dvoustupňovou převodovkou. Rozchod 1435 mm a rozměrové parametry hnacích komponent nám umožnilo použít vnitřní rám. Motor pohání převodovku přes zubovou spojku. Rám je umístěn na ložiskové skříni s vypružením Maggi.

## 5.8 Další části podvozku

Rám podvozku je jedna z nejdůležitějších částí podvozku. Zajišťuje upevnění všech komponent a přenosu sil mezi nimi. Pro námi navržený pohon je rám otevřený vnitřní ve tvaru H. Složený ze dvou podélníků a jednoho příčnicku. Rám je umístěn na ložiskové skříni s primárním vypružením Meggi. Motor a závěska jsou dle jejich konstrukce přišroubovány k příčnicku.

Brzdové ústrojí je z rozměrových důvodů umístěno vně rámu. Brzdový kotouč je přišroubován k náboji tramvajového kola. Pro jedno dvojkolí je použit jeden brzdový kotouč. Z tohoto důvodu musí být rám opatřen speciálními konzolami pro upevnění brzdového ústrojí.

Jako sekundární vypružení jsou zvoleny dvojice ocelových šroubovitých válcových pružin. Jedná se o jeden z nejpoužívanějších typů sekundárního vypružení pro tramvaje. Používají se společně s tlumičem. Na pružinách je umístěna kolébka s otvorem pro otočný čep, která umožní otáčivý pohyb skříně vůči podvozku. Schématické provedení podvozku s naším pohonným soustrojím je zobrazeno na obrázku 55.



Obrázek 55: Koncepce podvozku

## 6 Závěr

Na počátku této práce byla zvolena koncepce vozidla. Výběr byl ovlivněn nutností použití čelní převodovky. Z dostupných typů a zohlednění použití čelní převodovky byla zvolena koncepce tramvaje Flexity Classic částečně nízkopodlažního provedení. Pro danou koncepci byly vypočítány výstupní parametry a dle nich byl zvolen trakční asynchronní motor. Následně byl spočten potřebný převodový poměr, který musí převodovka přenést.

Prvotním záměrem bylo navrhnout pohon s použitím jednostupňové čelní převodovky. Daný typ pro námi spočtený převodový poměr nešlo použít z rozměrových důvodů, které by zasahovaly do průjezdového profilu. Proto byla navržena dvoustupňová čelní převodovka.

Při návrhu dvoustupňové převodovky byl spočten a zkontrolován skutečný převodový poměr pomocí volby ozubení pro obě soukolí. V dalším kroku byly spočteny otáčky a momenty na všech hřídelích převodovky. Tím bylo zjištěno, zda motor přes převodovku dokáže pokrýt potřebné výstupní parametry tramvaje. Pomocí programu Autodesk Inventor 2016 ze základních vstupních parametrů byly kompletně spočítány rozměry ozubení, síly v ozubeních a provedená kontrola ozubení. Ze získaných sil v ozubení byly spočtené reakce v ložiskách a následně jejich návrh. Rovněž byla provedena kontrola hřídelí na ohyb a krut. Práce také obsahuje výpočet nalisování ozubeného kola na nápravu a kontrolu spojení perem ozubeného kola s hřídelí. Všechny navržené a spočtené komponenty jsou zakomponované do skříně převodovky. Ta je následně opatřena doplňkovými prvky, které obstarávají správnou funkci převodovky. Všechny použité součásti jsou zobrazeny ve výkresu sestavy.

V poslední části došlo k výpočtu nápravového ložiska. Následně byly popsány všechny potřebné součásti pohonného soustrojí. Dané soustrojí je pak schématicky zobrazeno v možném provedení podvozku.

## 7 Použitá literatura

- [1] ČSN 28 1300. Tramvajová vozidla – Technické požadavky a zkoušky. Praha: ÚNMZ, Březen 2015
- [2] ČSN 28 0318. Průjezdne průřezy tramvajových tratí a obrysy pro vozidla provozovaná na tramvajových dráhách. Praha: ÚNMZ, Březen 2015
- [3] HELLER, P., DOSTÁL, J. Kolejová vozidla III. Plzeň: Západočeská univerzita 2007
- [4] ŘASA, J., ŠVERCL, J. Strojnické tabulky 1. Praha: Scientia, spol. s.r.o. 2004
- [5] ŘASA, J., ŠVERCL, J. Strojnické tabulky 2. Praha: Scientia, spol. s.r.o. 2007
- [6] HOSNEDL, S., KRÁTKÝ, J. Příručka strojního inženýra 1. Brno: Computer Press, 1999
- [7] RŮŽIČKA, Martin. Současné typy pohonu v elektrické trakce. Plzeň, 2014. Bakalářská práce. Západočeská univerzita, Fakulta elektrotechnická. Vedoucí práce Ing. Roman Pechánek, Ph.D.
- [8] KRÓNEROVÁ, Eva a Jaroslav KRÁTKÝ. Postup návrhu převodové skříně. Plzeň, 2014.

## 8 Internetové zdroje

- [9] FLEXITY Classic – Dortmund, Germany. De.bombardier.com [online]. [cit. 2018-05-02]. Dostupné z: <https://de.bombardier.com/en/transportation/presence-in-germany/projects/project.flexity-dortmund-germany.html?>
- [10] Механические редукторы и зубчатые колёса для рельсовых транспортных средств. Www.wikov.com [online]. Hronov, 2014 [cit. 2018-04-29]. Dostupné z: [http://www.tepark.ru/images/xtray/brands/wikov/Wikov\\_201411\\_Rail\\_RU.pdf](http://www.tepark.ru/images/xtray/brands/wikov/Wikov_201411_Rail_RU.pdf)
- [11] DC Motors. Samico [online]. [cit. 2018-05-19]. Dostupné z: [http://samincoinc.com/product-catalog/DC\\_Motors?previous\\_url\\_id=1](http://samincoinc.com/product-catalog/DC_Motors?previous_url_id=1)
- [12] Тяговые асинхронные электродвигатели. Промышленный Союз [online]. [cit. 2018-05-02]. Dostupné z: <http://motor-e.ru/elektrodvigateli-dlya-gorodskogo-elektrotransporta/tyagovye-asinkhronnye-elektrodvigateli-serii-atcnd.html>
- [13] Производство 2008 год. Omnibus [online]. [cit. 2018-05-19]. Dostupné z: [http://www.omnibus.ru/arhiv/9-10\\_2008/manufacturing/](http://www.omnibus.ru/arhiv/9-10_2008/manufacturing/)
- [14] Hřídel: Maximální průhyb. Mitcalc [online]. [cit. 2018-05-19]. Dostupné z: <http://www.mitcalc.com/doc/shafts/help/cz/shafttxt.htm>
- [15] Конструктивные размеры редуктора. Transporank [online]. [cit. 2018-05-07]. Dostupné z: <http://www.transporank.ru/trareas-607-1.html>
- [16] Лабиринтные уплотнения. CB-Online [online]. [cit. 2018-05-15]. Dostupné z: <http://www.cb-online.ru/spravochniky-online/online-spravochnik-konstruktora/uplotnitelnye-ustrojstva>
- [17] MAZACÍ A GARÁŽOVÁ TECHNIKA: OLEJOZNAKY. Hennlich [online]. [cit. 2018-05-19]. Dostupné z: <https://www.hennlich.cz/produkty/centralni-mazani-a-mazaci-technika-mazaci-a-garazova-technika-olejoznaky-pruhleditka-301/olejoznaky-kh.html>

- [18] Prvky pro hydraulické systémy: Odvzdušňovací ventily. Elesa-ganter [online]. [cit. 2018-05-12]. Dostupné z: <https://www.elesa-ganter.cz/vyrobky/prvky-pro-hydraulicke-systemy/skupina/gn-881>
- [19] Soudečková ložiska. SKF [online]. [cit. 2018-05-12]. Dostupné z: <http://www.skf.com/cz/products/bearings-units-housings/roller-bearings/spherical-roller-bearings/spherical-roller-bearings/index.html?designation=24122%20CC/W33&unit=metricUnit>
- [20] МЕХАНИЧЕСКАЯ ЧАСТЬ ЭЛЕКТРИЧЕСКОГО ПОДВИЖНОГО СОСТАВА. Docplayer [online]. [cit. 2018-05-12]. Dostupné z: <http://docplayer.ru/55156751-Mehanicheskaya-chast-elektricheskogo-podvizhnogo-sostava.html>

## 9 Seznam obrázků

Obrázek 1: Bombardier Flexity Classic [9].....	8
Obrázek 2: Řešená koncepce tramvaje.....	9
Obrázek 3: Výška podlahy .....	10
Obrázek 4: Vysokopodlažní provedení .....	10
Obrázek 5: Částečně nízkopodlažní provedení .....	11
Obrázek 6: Nízkopodlažní provedení.....	11
Obrázek 7: Otočný povozek .....	11
Obrázek 8: Neotočný podvozek .....	12
Obrázek 9: Omezení spodního obrysu vozidla [2].....	12
Obrázek 10: Motor kolmý k nápravě uvnitř rámu [3].....	13
Obrázek 11: Podvozek KOMFORT [3].....	13
Obrázek 12: Podvozek Flexity Bombardier [3] .....	14
Obrázek 13: Pohon podélným motorem s tuhou nápravou [3] .....	14
Obrázek 14: Pohon přes dvě čelní převodovky [3] .....	14
Obrázek 15: Podvozek AEG-MAN [3].....	14
Obrázek 16: Schéma pohonu s dutým pastorkem [3].....	15
Obrázek 17: Schéma pohonu dvojkolí se spojkou [3].....	15
Obrázek 18: Podvozek pro tramvaj 16T, 14T [3].....	15
Obrázek 19: Pohon dutou hřídelí kolem nápravy [3].....	16
Obrázek 20: Rozdělení převodovek dle osy motoru .....	16
Obrázek 21: Jednostupňová kuželová převodovka AWBC-Z [10].....	17
Obrázek 22: Čelní jednostupňová převodovka pro metro [10].....	19
Obrázek 23: Stejnsměrný motor [11] .....	20
Obrázek 24: Asynchronní motor [12] .....	20
Obrázek 25: Hlavní části navrhovaného pohonu .....	22
Obrázek 26: Síla na kole .....	23
Obrázek 27: Ukázka motoru ATD-3 [13] .....	24
Obrázek 28: Omezení spodního obrysu a průměru ozubeného kola.....	25
Obrázek 29: Kinematické schéma.....	29
Obrázek 30: Rozložení sil v ozubení.....	31
Obrázek 31: Ustanovení kladných směrů.....	32

Obrázek 32: Reakce pro vstupní hřídel v rovině YZ.....	32
Obrázek 33: Reakce pro vstupní hřídel v rovině XZ.....	33
Obrázek 34: Reakce na předlohové hřídeli v rovině YZ.....	33
Obrázek 35: Reakce na předlohové hřídeli v rovině XZ.....	34
Obrázek 36: Reakce na výstupní hřídeli v rovině YZ.....	35
Obrázek 37: Reakce na výstupní hřídeli v rovině XZ.....	36
Obrázek 38: Průměry a rozložení vstupní hřídele.....	39
Obrázek 39: Celkový průhyb na vstupní hřídeli.....	40
Obrázek 40: Průměry a rozložení předlohové hřídele.....	40
Obrázek 41: Celkový průhyb na předlohové hřídeli.....	41
Obrázek 42: Rozměry pro nalisování.....	42
Obrázek 43: Tolerance.....	43
Obrázek 44: Kontrola omezení spodního obrysu vozidla a převodovky.....	45
Obrázek 45: Řez převodovky v dělicí rovině.....	46
Obrázek 46: Části převodovky.....	47
Obrázek 47: Působící síly na nápravě.....	48
Obrázek 48: Náprava.....	49
Obrázek 49: Ložisková skříň.....	51
Obrázek 50: Soudečkové ložisko s otvorem [19].....	51
Obrázek 51: Primární vypružení Meggi.....	51
Obrázek 52: Zubová spojka (Ing. Robert Zemánek).....	52
Obrázek 53: Závěsová konzola.....	52
Obrázek 54: Navržený pohon.....	53
Obrázek 55: Koncepce podvozku.....	53

## 10 Seznam tabulek

Tabulka 1: Parametry tramvaje Flexity Classic [9].....	9
Tabulka 2: Rozdělení pohonu dvojkolí dle umístění osy motoru [3].....	13
Tabulka 3: Vysokopodlažní tramvaj s hypoidní převodovkou [10].....	17
Tabulka 4: Kuželovo-čelní převodovka pro nízkopodlažní tramvaj [10].....	18
Tabulka 5: Dvoustupňová převodovka pro vysokopodlažní tramvaj [10].....	18
Tabulka 6: Převodovka pro částečně nízkopodlažní tramvaj [10].....	19
Tabulka 7: Čelní dvoustupňová převodovka pro nízkopodlažní tramvaj [10].....	20
Tabulka 8: Parametry motoru ATD-9.....	24
Tabulka 9: Momenty a otáčky na jednotlivých hřídelích.....	27
Tabulka 10: Vstupní hodnoty pro kompletní výpočet ozubených kol.....	29
Tabulka 11: Vlastnosti ocele 14 220.4.....	29
Tabulka 12: Vypočtené síly v ozubení získané z Inventoru.....	31
Tabulka 13: Hodnoty reakcí na vstupní hřídeli.....	37
Tabulka 14: Parametry ložiska A a B.....	37
Tabulka 15: Hodnoty reakcí na předlohové hřídeli.....	37
Tabulka 16: Parametry ložiska C a D.....	37



Tabulka 17: Hodnoty reakcí na výstupní hřídeli .....	38
Tabulka 18: Parametry ložiska E a F .....	38
Tabulka 19: Parametry nápravového ložiska .....	50
Tabulka 20: Hodnota reakcí na nápravě.....	50
Tabulka 21: Parametry zubové spojky ZDW .....	52

## **11 Výkresová dokumentace**

Výkres sestavy převodovky	0.000
Výrobní výkres vstupní hřídele	0.001
Výrobní výkres ozubeného kola 2	0.002
Výrobní výkres uzavřeného víčka vstupního	0.003
Výrobní výkres spodní skříně převodovky	0.004

## **PŘÍLOHA Č. 1**

# **Parametry motoru ATD**

## Электродвигатели тяговые асинхронные для электропривода вагона трамвая

### Назначение

Для привода оси вагона трамвая

### Основные технические данные и характеристики

Наименование параметра	Величина						
Типоисполнения	АТД-1, АТД-1.1, АТД-2.2, АТД-3	АТД-2.1	АТД-1.4*	АТД-4	АТД-7	АТД-9	АТД-10
Номинальная мощность, кВт	50	54	54	90	30	125	72
Номинальное линейное напряжение, В	467	345	220	400	380	570	500
Номинальный линейный ток, А	76	118	177	160	58	153	130
Частота питающей сети, Гц	50	60	60	67	50	80	80
Синхронная частота вращения, мин <sup>-1</sup> - номинальная - наибольшая	1500 4000	1800 4500	1800 4000	2010 4800	1000 3000	2400 4000	2400 4800
Скольжение, %	2	2	2	1,7	2,5	1,5	1,2
Число фаз обмотки статора	3	3	3	3	3	3	3
Схема соединений	звезда	звезда	звезда	звезда	звезда	звезда	звезда
Момент на валу при номинальной синхронной частоте вращения, Н·м	318	287	218	318	1525	497	328
Коэффициент мощности при номинальной нагрузке	0,87	0,83		0,9	0,88	0,89	0,7

Максимальное среднее квадратичное значение виброскорости по ГОСТ Р МЭК 60034-14, мм/с	2,8	2,8	2,2	2,8	2,2	2,2	2,2
Коэффициент полезного действия, %	93	92	92	90	89	93	92
Степень защиты по ГОСТ	IP54	IP54	IP54	IP54	IP54	IP54	IP54
Режим работы по ГОСТ 183-74	S2 (60 мин)	S2 (60 мин)	S2 (60 мин)	S1	S1	S1	S1
Число фаз обмотки статора	3	3	3	3	3	3	3
Масса двигателя, кг	350/350±5/ 350	350	400±10	350±17	240	387±3	328

Прим.\* Электродвигатель АД-1.4 У1 предназначен для привода шахтных электровозов.

Электродвигатели изготавливаются:

- АД-1 по ТУ 16-2005.ЕИАЦ.526422.001ТУ
- АД-1.4 по ТУ 16-2005.ЕИАЦ.526422.001 ТУ
- АД-2 по ТУ 16-2007.ЕИАЦ.525523.002ТУ
- АД-3 по ТУ 16-2007.ЕИАЦ.525523.001ТУ
- АД-4 по ТУ 16-2007.ЕИАЦ.525523.004ТУ
- АД-7 по ТУ ЕИАЦ.526422.003ТУ,
- АД-9 по ТУ ЕИАЦ.525523.018ТУ.
- АД-10 по ТУ ЕИАЦ.525523.ТУ

## **PŘÍLOHA Č. 2**

### **Použité součinitele**

Tabulka : Modul soukolí [8]

soukolí	$M_t$ [Nm]	$z_{n-1}$ [-]	$\beta$ [°]	$c$ [MPa]	$\psi$ [-]	$m_{(n-1)n}$ [mm]
12			8 - 15°	10 - 15	tvrzené zuby 10 - 15  šlechtěné zuby 25	
34						
56						
(n-1)n						

Tabulka : Součinitel vnějších dynamických sil  $K_A$  [4]

Zatěžování převodovky hnacím strojem	Zatěžování převodovky hnaným (pracovním) strojem			
	plynulé	s malou nerovnoměrností	se střední nerovnoměrností	s velkou nerovnoměrností
plynulé	1,0	1,25	1,5	1,75
s malou nerovnoměrností	1,1	1,35	1,6	1,85
se střední nerovnoměrností	1,25	1,50	1,75	2,0
s velkou nerovnoměrností	1,5	1,75	2,0	2,25

## **PŘÍLOHA Č. 3**

### **Vypočítané hodnoty pro obě soukolí**

## ☐ Scénář - SOUKOLÍ 12

Scénář návrhu - Celková jednotková korekce

Scénář jednotkového posunutí - S vyrovnáním měrných skluzů

Typ výpočtu zatížení - Výpočet krouticího momentu pro daný příkon a otáčky

Typ výpočtu pevnosti - Kontrolní výpočet

Metoda výpočtu pevnosti - CSN 01 4686:1988

## ☐ Společné parametry

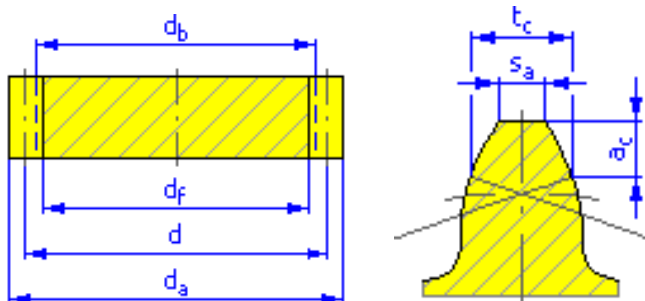
Požadovaný převodový poměr	i	2,3160 ul
Modul	m	5,000 mm
Úhel sklonu	$\beta$	15,0000 deg
Úhel profilu	$\alpha$	20,0000 deg
Vzdálenost os	$a_w$	165,000 mm
Roztečná vzdálenost os	a	163,056 mm
Celková jednotková korekce	$\Sigma x$	0,4045 ul
Rozteč zubů	p	15,708 mm
Základní rozteč	$p_b$	15,218 mm
Provozní úhel záběru	$\alpha_w$	21,8317 deg
Čelní úhel profilu	$\alpha_t$	20,6469 deg
Čelní provozní úhel záběru	$\alpha_{tw}$	22,3699 deg
Základní úhel sklonu	$\beta_b$	14,0761 deg
Čelní modul	$m_t$	5,176 mm
Čelní rozteč	$p_t$	16,262 mm
Součinitel trvání záběru	$\varepsilon$	2,5143 ul
Součinitel záběru profilu	$\varepsilon_\alpha$	1,4433 ul
Součinitel záběru kroku	$\varepsilon_\beta$	1,0710 ul
Zaručená boční vůle	$j_{nmin}$	0,063 mm
Mezní úchylka vzdálenosti os	$f_a$	0,030 mm
Mezní úchylka rovnoběžnosti os	$f_x$	0,0100 mm
Mezní úchylka rovnoběžnosti os	$f_y$	0,0050 mm

## ☐ Kola

		Kolo 1	Kolo 2
Typ modelu		Komponenta	Komponenta
Počet zubů	z	19 ul	44 ul
Jednotkové posunutí	x	0,3544 ul	0,0501 ul
Průměr roztečné kružnice	d	98,351 mm	227,761 mm
Průměr hlavové kružnice	$d_a$	111,738 mm	238,105 mm
Průměr patní kružnice	$d_f$	89,395 mm	215,762 mm
Průměr základní kružnice	$d_b$	92,034 mm	213,132 mm
Pracovní roztečný průměr	$d_w$	99,524 mm	230,476 mm
Šířka ozubení	b	65,000 mm	65,000 mm



Šířkový poměr	$b_r$	0,6609 ul	0,2854 ul
Výška hlavy zubu	$a^*$	1,0000 ul	1,0000 ul
Hlavová vřele	$c^*$	0,2500 ul	0,2500 ul
Zaoblení paty	$r_r^*$	0,3500 ul	0,3500 ul
Tloušťka zubu	$s$	9,144 mm	8,036 mm
Čelní tloušťka zubu	$s_t$	9,467 mm	8,320 mm
Tloušťka zubu na tětivě	$t_c$	8,074 mm -0,039 mm -0,079 mm	7,096 mm -0,052 mm -0,096 mm
Výška hlavy zubu nad tětivou	$a_c$	5,224 mm	3,880 mm
Rozměr přes zuby	$W$	39,583 mm -0,037 mm -0,075 mm	84,756 mm -0,049 mm -0,090 mm
Rozměr přes zuby	$z_w$	3,000 ul	6,000 ul
Rozměr přes válečky (kuličky)	$M$	113,871 mm -0,090 mm -0,152 mm	241,503 mm -0,140 mm -0,215 mm
Průměr válečku (kuličky)	$d_M$	9,000 mm	9,000 mm
Mezní úchylka sklonu zubu	$F_\beta$	0,0100 mm	0,0100 mm
Mezní obvodové házení ozubení	$F_r$	0,0180 mm	0,0250 mm
Mezní úchylka čelní rozteče	$f_{pt}$	0,0080 mm	0,0090 mm
Mezní úchylka základní rozteče	$f_{pb}$	0,0075 mm	0,0085 mm
Náhradní počet zubů	$z_v$	20,907 ul	48,416 ul
Virtuální roztečný průměr	$d_n$	104,535 mm	242,080 mm
Virtuální hlavový průměr	$d_{an}$	117,922 mm	252,424 mm
Virtuální průměr základní kružnice	$d_{bn}$	98,230 mm	227,481 mm
Jednotková korekce bez zúžení	$x_z$	0,4708 ul	-0,3264 ul
Jednotková korekce bez podříznutí	$x_p$	-0,2031 ul	-1,8121 ul
Jednotkové posunutí s dovol. podříznutím	$x_d$	-0,3731 ul	-1,9820 ul
Snížení hlavy zubu	$k$	0,0157 ul	0,0157 ul
Jednotková šířka hlavy zubu	$s_a$	0,5633 ul	0,7754 ul
Hlavový úhel profilu	$\alpha_a$	34,1969 deg	25,9900 deg



## ☐ Zatížení

		Kolo 1	Kolo 2
Výkon	P	125,000 kW	122,500 kW
Otáčky	n	2400,00 rpm	1036,36 rpm
Krouticí moment	T	497,359 N m	1128,744 N m
Účinnost	$\eta$	0,980 ul	
Radiální síla	$F_r$	4113,407 N	
Obvodová síla	$F_t$	9994,778 N	
Axiální síla	$F_a$	2678,093 N	
Normální síla	$F_n$	11146,803 N	
Obvodová rychlost	v	12,359 mps	
Rezonanční otáčky	$n_{E1}$	12851,440 rpm	

## ☐ Materiál

		Kolo 1	Kolo 2
		CSN 14220	CSN 14220
Mez pevnosti v tahu	$S_u$	785 MPa	785 MPa
Mez kluzu v tahu	$S_y$	588 MPa	588 MPa
Modul pružnosti v tahu	E	206000 MPa	206000 MPa
Poissonova konstanta	$\mu$	0,300 ul	0,300 ul
Mez únavy v ohybu	$\sigma_{Flim}$	700,0 MPa	700,0 MPa
Mez únavy v dotyku	$\sigma_{Hlim}$	1270,0 MPa	1270,0 MPa
Tvrдость v jádře zubu	JHV	210 ul	210 ul
Tvrдость na boku zubu	VHV	650 ul	650 ul
Bázový počet zatěžovacích cyklů v ohybu	$N_{Flim}$	3000000 ul	3000000 ul
Bázový počet zatěžovacích cyklů v dotyku	$N_{Hlim}$	100000000 ul	100000000 ul
Exponent Wöhlerovy křivky pro ohyb	$q_F$	9,0 ul	9,0 ul
Exponent Wöhlerovy křivky pro dotyk	$q_H$	10,0 ul	10,0 ul
Zpracování materiálu	tvar	4 ul	4 ul

## ☐ Výpočet pevnosti

### ☐ Součinitelé přidavných zatížení

Součinitel vnějších dynamických sil	$K_A$	1,500 ul	
Součinitel vnitřních dynamických sil	$K_{Hv}$	1,081 ul	1,081 ul
Souč. nerovnoměrnosti zatížení po šířce	$K_{H\beta}$	1,316 ul	1,262 ul
Součinitel podílu zatížení jednotlivých zubů	$K_{H\alpha}$	1,088 ul	1,088 ul
Součinitel jednorázového přetížení	$K_{AS}$	1,000 ul	

### ☐ Součinitelé pro dotyk

Součinitel mechanických vlastností	$Z_E$	189,812 ul	
Součinitel tvaru spoluzabírajících zubů	$Z_H$	2,320 ul	
Součinitel délky dotyku	$Z_e$	0,832 ul	
Součinitel jednopárového záběru	$Z_B$	1,000 ul	1,000 ul
Součinitel životnosti	$Z_N$	1,000 ul	1,000 ul
Součinitel maziva	$Z_L$	0,967 ul	
Součinitel výchozí drsnosti zubů	$Z_R$	1,000 ul	
Součinitel obvodové rychlosti	$Z_v$	1,037 ul	
Součinitel sklonu zubu	$Z_\beta$	0,983 ul	
Součinitel velikosti	$Z_x$	1,000 ul	1,000 ul
Součinitel párování materiálu	$Z_w$	1,000 ul	

### ☐ Součinitelé pro ohyb

Součinitel tvaru zubu	$Y_{Fa}$	2,276 ul	2,282 ul
Součinitel koncentrace napětí	$Y_{Sa}$	1,519 ul	1,607 ul
Součinitel přidavného vrubu v patě zubu	$Y_{Sag}$	1,000 ul	1,000 ul
Součinitel sklonu zubu	$Y_\beta$	0,866 ul	
Součinitel délky dotyku	$Y_e$	0,693 ul	
Součinitel střídavého zatížení	$Y_A$	1,000 ul	1,000 ul
Součinitel technologie výroby	$Y_T$	1,000 ul	1,000 ul
Součinitel životnosti	$Y_N$	1,000 ul	1,000 ul
Součinitel vrubové citlivosti	$Y_\delta$	1,196 ul	1,186 ul
Součinitel velikosti	$Y_x$	1,000 ul	1,000 ul
Součinitel drsnosti povrchu	$Y_R$	1,000 ul	

### ☐ Výsledky

Součinitel bezpečnosti v dotyku	$S_H$	1,551 ul	1,551 ul
Součinitel bezpečnosti v ohybu	$S_F$	5,889 ul	5,506 ul
Statická bezpečnost v dotyku	$S_{Hst}$	3,111 ul	3,111 ul
Statická bezpečnost v ohybu	$S_{Fst}$	12,311 ul	11,607 ul
Kontrolní výpočet		<b>Kladný</b>	

## ☐ Scénář – SOUKOLÍ 34

Scénář návrhu - Celková jednotková korekce

Scénář jednotkového posunutí - S vyrovnáním měrných skluzů

Typ výpočtu zatížení - Výpočet krouticího momentu pro daný příkon a otáčky

Typ výpočtu pevnosti - Kontrolní výpočet

Metoda výpočtu pevnosti - CSN 01 4686:1988

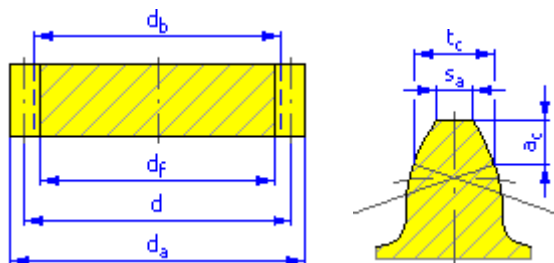
## ☐ Společné parametry

Požadovaný převodový poměr	i	2,6500 ul
Modul	m	6,000 mm
Úhel sklonu	$\beta$	15,0000 deg
Úhel profilu	$\alpha$	20,0000 deg
Vzdálenost os	$a_w$	230,000 mm
Roztečná vzdálenost os	a	226,725 mm
Celková jednotková korekce	$\Sigma x$	0,5723 ul
Rozteč zubů	p	18,850 mm
Základní rozteč	$p_b$	18,261 mm
Provozní úhel záběru	$\alpha_w$	22,1936 deg
Čelní úhel profilu	$\alpha_t$	20,6469 deg
Čelní provozní úhel záběru	$\alpha_{tw}$	22,7133 deg
Základní úhel sklonu	$\beta_b$	14,0761 deg
Čelní modul	$m_t$	6,212 mm
Čelní rozteč	$p_t$	19,514 mm
Součinitel trvání záběru	$\varepsilon$	2,5340 ul
Součinitel záběru profilu	$\varepsilon_\alpha$	1,4355 ul
Součinitel záběru kroku	$\varepsilon_\beta$	1,0985 ul
Zaručená boční vůle	$j_{nmin}$	0,072 mm
Mezní úchylka vzdálenosti os	$f_a$	0,035 mm
Mezní úchylka rovnoběžnosti os	$f_x$	0,0100 mm
Mezní úchylka rovnoběžnosti os	$f_y$	0,0050 mm

## ☐ Kola

		Kolo 1	Kolo 2
Typ modelu		Komponenta	Komponenta
Počet zubů	z	20 ul	53 ul
Jednotkové posunutí	x	0,3940 ul	0,1783 ul
Průměr roztečné kružnice	d	124,233 mm	329,218 mm
Průměr hlavové kružnice	$d_a$	140,643 mm	343,039 mm
Průměr patní kružnice	$d_f$	113,961 mm	316,357 mm
Průměr základní kružnice	$d_b$	116,254 mm	308,073 mm
Pracovní roztečný průměr	$d_w$	126,027 mm	333,973 mm
Šířka ozubení	b	80,000 mm	80,000 mm

Šířkový poměr	$b_r$	0,6440 ul	0,2430 ul
Výška hlavy zubu	$a^*$	1,0000 ul	1,0000 ul
Hlavová vřůle	$c^*$	0,2500 ul	0,2500 ul
Zaoblení paty	$r_f^*$	0,3500 ul	0,3500 ul
Tloušťka zubu	$s$	11,145 mm	10,204 mm
Čelní tloušťka zubu	$s_t$	11,539 mm	10,563 mm
Tloušťka zubu na tětivě	$t_c$	9,842 mm -0,039 mm -0,079 mm	9,010 mm -0,064 mm -0,108 mm
Výška hlavy zubu nad tětivou	$a_c$	6,414 mm	5,271 mm
Rozměr přes zuby	$W$	47,754 mm -0,037 mm -0,075 mm	120,782 mm -0,060 mm -0,101 mm
Rozměr přes zuby	$z_w$	3,000 ul	7,000 ul
Rozměr přes válečky (kuličky)	$M$	144,310 mm -0,085 mm -0,147 mm	348,020 mm -0,170 mm -0,245 mm
Průměr válečku (kuličky)	$d_M$	11,000 mm	11,000 mm
Mezní úchylka sklonu zubu	$F_\beta$	0,0100 mm	0,0100 mm
Mezní obvodové házení ozubení	$F_r$	0,0180 mm	0,0250 mm
Mezní úchylka čelní rozteče	$f_{pt}$	0,0080 mm	0,0090 mm
Mezní úchylka základní rozteče	$f_{pb}$	0,0075 mm	0,0085 mm
Náhradní počet zubů	$z_v$	22,007 ul	58,319 ul
Virtuální roztečný průměr	$d_n$	132,044 mm	349,916 mm
Virtuální hlavový průměr	$d_{an}$	148,453 mm	363,737 mm
Virtuální průměr základní kružnice	$d_{bn}$	124,080 mm	328,813 mm
Jednotková korekce bez zúžení	$x_z$	0,4380 ul	-0,6092 ul
Jednotková korekce bez podříznutí	$x_p$	-0,2675 ul	-2,3913 ul
Jednotkové posunutí s dovol. podříznutím	$x_d$	-0,4374 ul	-2,5613 ul
Snížení hlavy zubu	$k$	0,0265 ul	0,0265 ul
Jednotková šířka hlavy zubu	$s_a$	0,5707 ul	0,7765 ul
Hlavový úhel profilu	$\alpha_a$	33,8957 deg	25,6001 deg



## ☐ Zatížení

		Kolo 1	Kolo 2
Výkon	P	122,500 kW	120,050 kW
Otáčky	n	1036,00 rpm	390,94 rpm
Krouticí moment	T	1129,140 N m	2932,376 N m
Účinnost	$\eta$	0,980 ul	
Radiální síla	$F_r$	7500,542 N	
Obvodová síla	$F_t$	17918,958 N	
Axiální síla	$F_a$	-4801,370 N	
Normální síla	$F_n$	20035,447 N	
Obvodová rychlost	v	6,739 mps	
Rezonanční otáčky	$n_{E1}$	9463,408 rpm	

## ☐ Materiál

		Kolo 1	Kolo 2
		CSN 14220	CSN 14220
Mez pevnosti v tahu	$S_u$	785 MPa	785 MPa
Mez kluzu v tahu	$S_y$	588 MPa	588 MPa
Modul pružnosti v tahu	E	206000 MPa	206000 MPa
Poissonova konstanta	$\mu$	0,300 ul	0,300 ul
Mez únavy v ohybu	$\sigma_{Flim}$	700,0 MPa	700,0 MPa
Mez únavy v dotyku	$\sigma_{Hlim}$	1270,0 MPa	1270,0 MPa
Tvrдость v jádře zubu	JHV	210 ul	210 ul
Tvrдость na boku zubu	VHV	650 ul	650 ul
Bázový počet zatěžovacích cyklů v ohybu	$N_{Flim}$	3000000 ul	3000000 ul
Bázový počet zatěžovacích cyklů v dotyku	$N_{Hlim}$	100000000 ul	100000000 ul
Exponent Wöhlerovy křivky pro ohyb	$q_F$	9,0 ul	9,0 ul
Exponent Wöhlerovy křivky pro dotyk	$q_H$	10,0 ul	10,0 ul
Zpracování materiálu	tvar	4 ul	4 ul

## ☐ Výpočet pevnosti

### ☐ Součinitelé přidavných zatížení

Součinitel vnějších dynamických sil	$K_A$	1,500 ul	
Součinitel vnitřních dynamických sil	$K_{Hv}$	1,036 ul	1,036 ul
Souč. nerovnoměrnosti zatížení po šířce	$K_{H\beta}$	1,246 ul	1,206 ul
Součinitel podílu zatížení jednotlivých zubů	$K_{H\alpha}$	1,048 ul	1,048 ul
Součinitel jednorázového přetížení	$K_{AS}$	1,000 ul	

### ☐ Součinitelé pro dotyk

Součinitel mechanických vlastností	$Z_E$	189,812 ul	
Součinitel tvaru spoluzabírajících zubů	$Z_H$	2,301 ul	
Součinitel délky dotyku	$Z_e$	0,835 ul	
Součinitel jednopárového záběru	$Z_B$	1,000 ul	1,000 ul
Součinitel životnosti	$Z_N$	1,000 ul	1,000 ul
Součinitel maziva	$Z_L$	0,962 ul	
Součinitel výchozí drsnosti zubů	$Z_R$	1,000 ul	
Součinitel obvodové rychlosti	$Z_v$	1,016 ul	
Součinitel sklonu zubu	$Z_\beta$	1,000 ul	
Součinitel velikosti	$Z_x$	1,000 ul	1,000 ul
Součinitel párování materiálu	$Z_w$	1,000 ul	

### ☐ Součinitelé pro ohyb

Součinitel tvaru zubu	$Y_{Fa}$	2,209 ul	2,162 ul
Součinitel koncentrace napětí	$Y_{Sa}$	1,526 ul	1,616 ul
Součinitel přidavného vrubu v patě zubu	$Y_{Sag}$	1,000 ul	1,000 ul
Součinitel sklonu zubu	$Y_\beta$	0,863 ul	
Součinitel délky dotyku	$Y_e$	0,697 ul	
Součinitel střídavého zatížení	$Y_A$	1,000 ul	1,000 ul
Součinitel technologie výroby	$Y_T$	1,000 ul	1,000 ul
Součinitel životnosti	$Y_N$	1,000 ul	1,000 ul
Součinitel vrubové citlivosti	$Y_\delta$	1,180 ul	1,177 ul
Součinitel velikosti	$Y_x$	1,000 ul	1,000 ul
Součinitel drsnosti povrchu	$Y_R$	1,000 ul	

### ☐ Výsledky

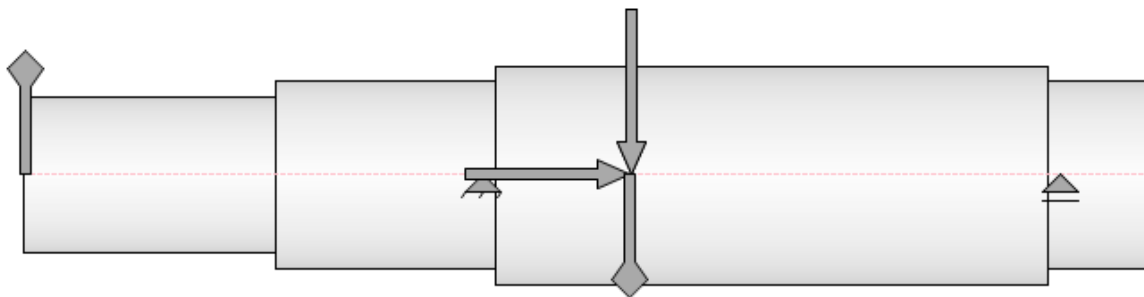
Součinitel bezpečnosti v dotyku	$S_H$	1,518 ul	1,518 ul
Součinitel bezpečnosti v ohybu	$S_F$	5,559 ul	5,352 ul
Statická bezpečnost v dotyku	$S_{Hst}$	3,178 ul	3,178 ul
Statická bezpečnost v ohybu	$S_{Fst}$	11,778 ul	11,367 ul
Kontrolní výpočet		<b>Kladný</b>	

## **PŘÍLOHA Č. 4**

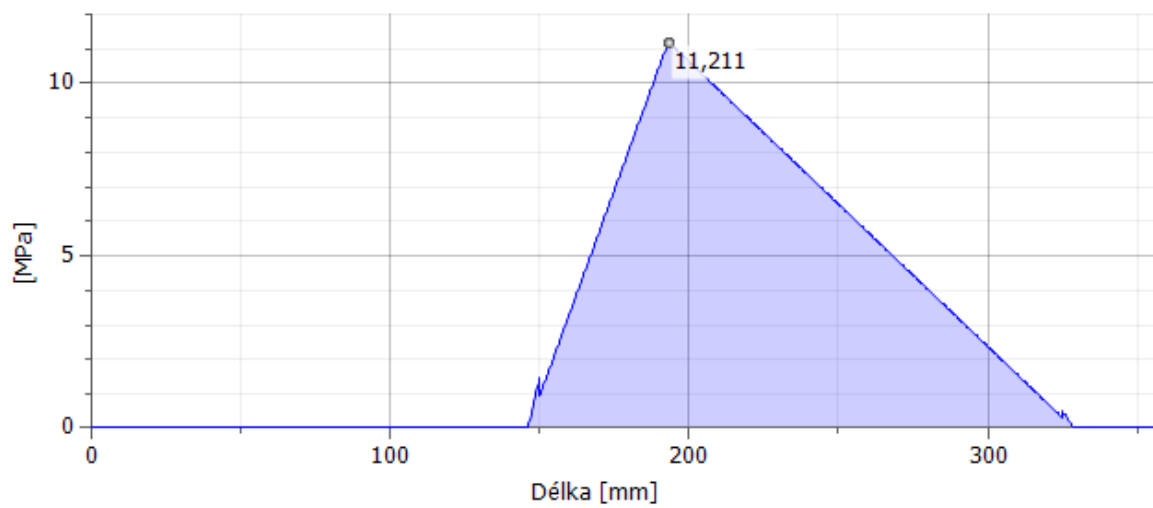
# **Vypočet hřidelí**



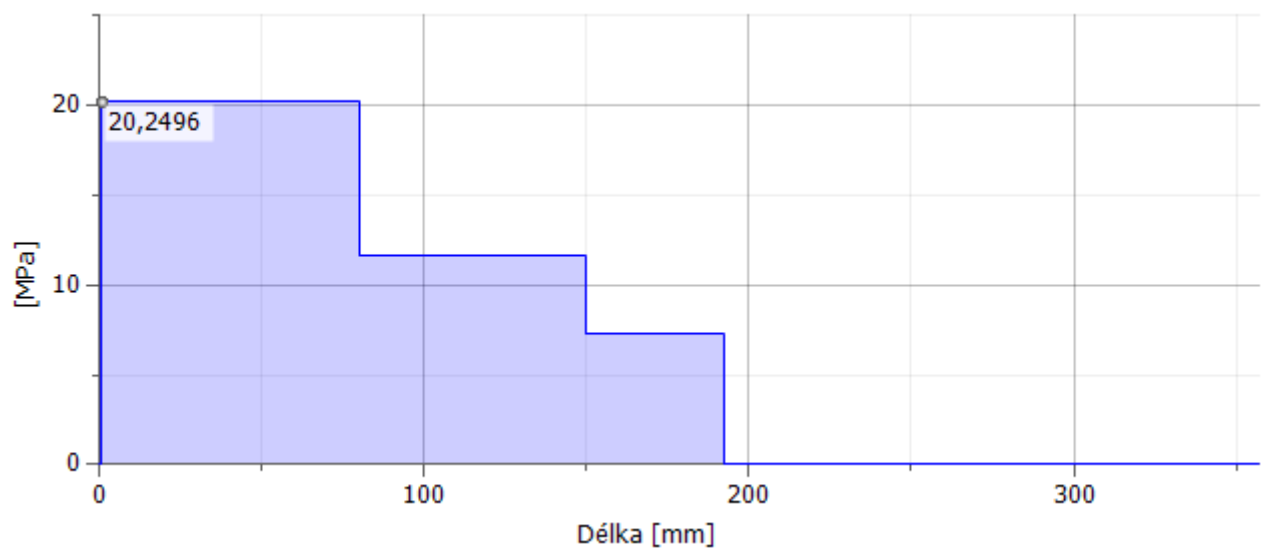
## Vstupní hřídel



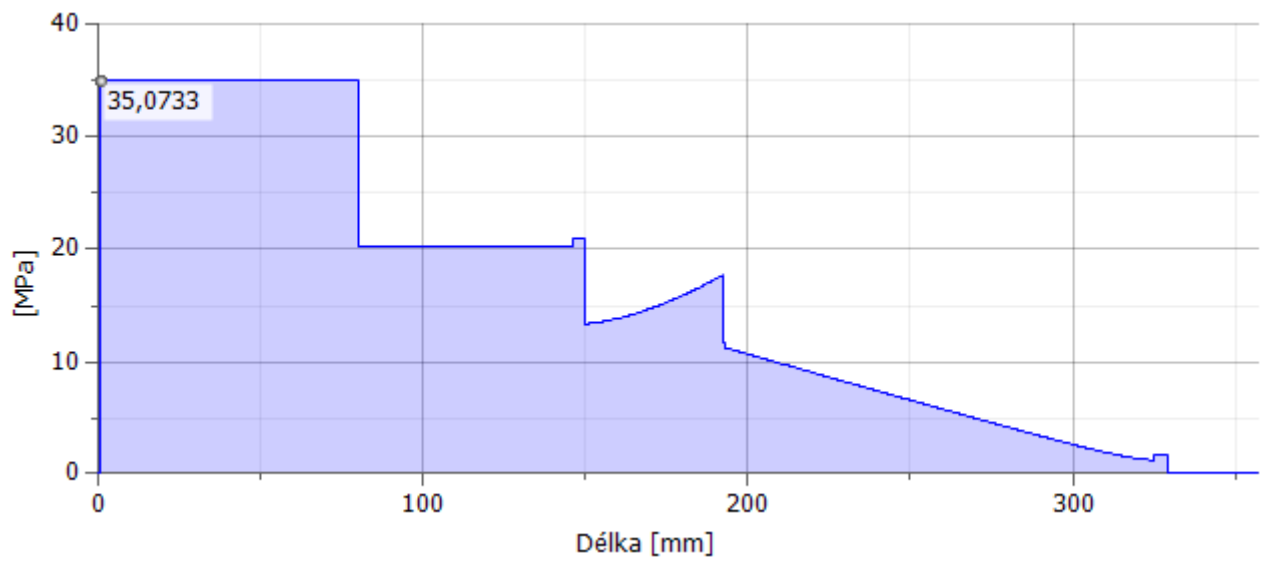
### ▣ Napětí v ohybu



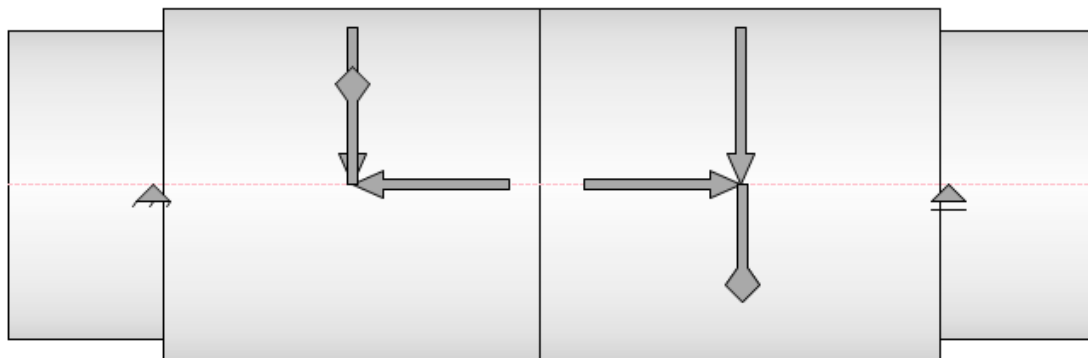
### ▣ Napětí v krutu



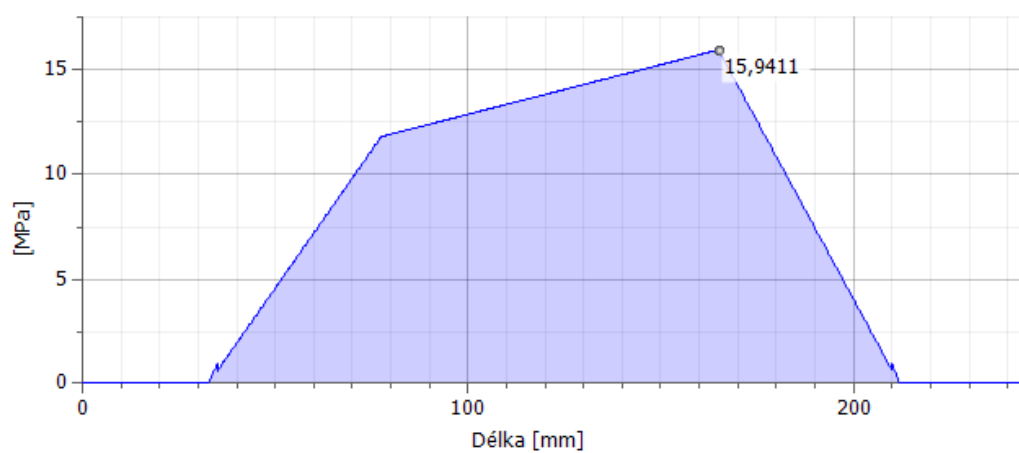
## ☐ Redukované napětí



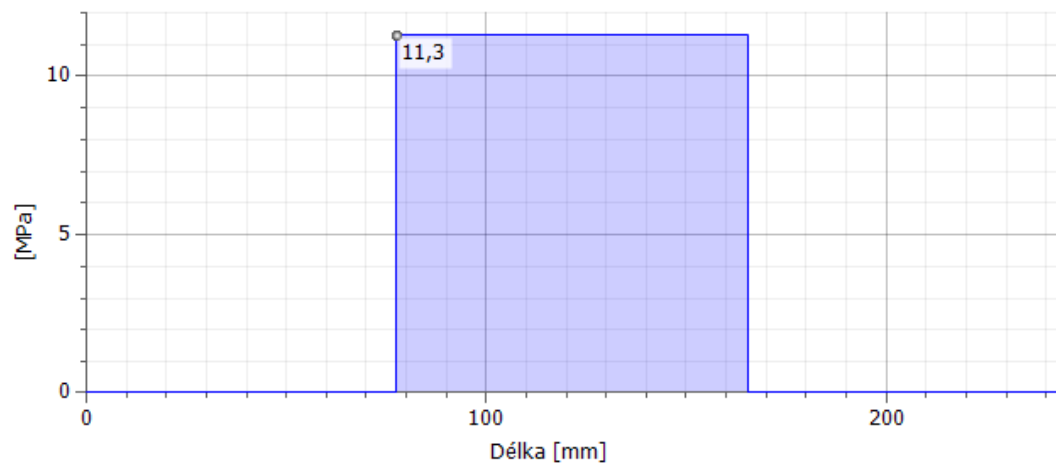
## Hřídel předlohová



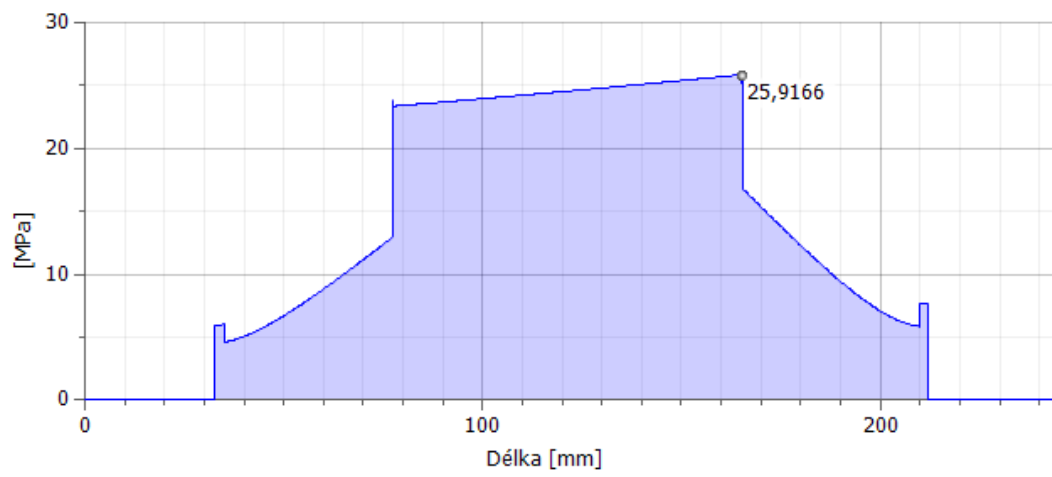
### ☐ Napětí v ohybu



### ☐ Napětí v krutu



## ☐ Redukované napětí



## **PŘÍLOHA Č. 5**

# **Soustava tolerancí a uložení**

# Soustava tolerancí a uložení ISO výběr z ČSN EN 20286

rozměr		e				f				g				
přes	do	horní	dolní			horní	dolní			horní	dolní			
			7	8	9		6	7	8	9		4	5	6
1	3	-14	-24	-28	-39	-6	-12	-16	-20	-31	-2	-5	-6	-8
3	6	-20	-32	-38	-50	-10	-18	-22	-28	-40	-4	-8	-9	-12
6	10	-25	-40	-47	-61	-13	-22	-28	-35	-49	-5	-9	-11	-14
10	18	-32	-50	-59	-75	-16	-27	-34	-43	-59	-6	-11	-14	-17
18	30	-40	-61	-73	-92	-20	-33	-41	-53	-72	-7	-13	-16	-20
30	50	-50	-75	-89	-112	-25	-41	-50	-64	-87	-9	-16	-20	-25
50	80	-60	-90	-106	-134	-30	-49	-60	-76	-104	-10	-18	-23	-29
80	120	-72	-107	-126	-159	-36	-58	-71	-90	-123	-12	-22	-27	-34
120	180	-85	-125	-148	-185	-43	-68	-83	-106	-143	-14	-26	-32	-39
180	250	-100	-146	-172	-215	-50	-79	-96	-122	-165	-15	-29	-35	-44
250	315	-110	-162	-191	-240	-56	-88	-108	-137	-186	-17	-33	-40	-49
315	400	-125	-182	-214	-265	-62	-98	-119	-151	-202	-18	-36	-43	-54
400	500	-135	-198	-232	-290	-68	-108	-131	-165	-223	-20	-40	-47	-60

rozměr		h dolní													
přes	do	horní	dolní												
			4	5	6	7	8	9	10	11	12	13	14	16	
1	3	0	-3	-4	-6	-10	-14	-25	-40	-60	-100	-140	-250	-600	
3	6	0	-4	-5	-8	-12	-18	-30	-48	-75	-120	-180	-300	-750	
6	10	0	-4	-6	-9	-15	-22	-36	-58	-90	-150	-220	-360	-900	
10	18	0	-5	-8	-11	-18	-27	-43	-70	-110	-180	-270	-430	-1100	
18	30	0	-6	-9	-13	-21	-33	-52	-84	-130	-210	-330	-520	-1300	
30	50	0	-7	-11	-16	-25	-39	-62	-100	-160	-250	-390	-620	-1600	
50	80	0	-8	-13	-19	-30	-46	-74	-120	-190	-300	-460	-740	-1900	
80	120	0	-10	-15	-22	-35	-54	-87	-140	-220	-350	-540	-870	-2200	
120	180	0	-12	-18	-25	-40	-63	-100	-160	-250	-400	-630	-1000	-2500	
180	250	0	-14	-20	-29	-46	-72	-115	-185	-290	-460	-720	-1150	-2900	
250	315	0	-16	-23	-32	-52	-81	-130	-210	-320	-520	-810	-1300	-3200	
315	400	0	-18	-25	-36	-57	-89	-140	-230	-360	-570	-890	-1400	-3600	
400	500	0	-20	-27	-40	-63	-97	-155	-250	-400	-630	-970	-1550	-4000	

rozměr		j			k				m				n			
přes	do	horní		dolní	horní			dolní*	horní			dolní	horní			dolní
		5	6	5a6	5	6	7	5a7	5	6	7	5	6	7	5	6
1	3	+2	+4	-2	+4	+6	+10	0	+6	+8	+14	+2	+8	+10	+14	+4
3	6	+3	+6	-2	+6	+9	+13	+1	+9	+12	+16	+4	+13	+16	+20	+8
6	10	+4	+7	-2	+7	+10	+16	+1	+12	+15	+21	+6	+16	+19	+25	+10
10	18	+5	+8	-3	+9	+12	+19	+1	+15	+18	+25	+7	+20	+23	+30	+12
18	30	+5	+9	-4	+11	+15	+23	+2	+17	+21	+29	+8	+24	+28	+36	+15
30	50	+6	+11	-5	+13	+18	+27	+2	+20	+25	+34	+9	+28	+33	+42	+17
50	80	+6	+12	-7	+15	+21	+32	+2	+24	+30	+41	+11	+33	+39	+50	+20
80	120	+6	+13	-9	+18	+25	+38	+3	+28	+35	+48	+13	+38	+45	+58	+23
120	180	+7	+14	-11	+21	+28	+43	+3	+33	+40	+55	+15	+45	+52	+67	+27
180	250	+7	+16	-13	+24	+33	+50	+4	+37	+46	+63	+17	+51	+60	+77	+31
250	315	+7	+16	-16	+27	+36	+56	+4	+43	+52	+72	+20	+57	+66	+86	+34
315	400	+7	+18	-18	+29	+40	+61	+4	+46	+57	+78	+21	+62	+73	+94	+37
400	500	+7	+20	-20	+32	+45	+68	+5	+50	+63	+86	+23	+67	+80	+103	+40

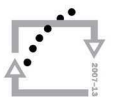
\* - dolní úchytky tolerančního pole **k** pro IT8 a vyšší je = 0

rozměr		p			r			s			
přes	do	horní		dolní	horní		dolní	horní			dolní
		5	6	5	6	5	6	7	5	6	7
1	3	+10	+12	+6	+14	+16	+10	+18	+20	+24	+14
3	6	+17	+20	+12	+20	+23	+15	+24	+27	+31	+19
6	10	+21	+24	+15	+25	+28	+19	+29	+32	+38	+23
10	18	+26	+29	+18	+31	+34	+23	+36	+39	+46	+28
18	30	+31	+35	+22	+37	+41	+28	+44	+48	+56	+35
30	50	+37	+42	+26	+45	+50	+34	+54	+59	+68	+43
50	65	+45	+51	+32	+54	+60	+41	+66	+72	+83	+53
65	80	+45	+51	+32	+56	+62	+43	+72	+78	+89	+59
80	100	+52	+59	+37	+66	+73	+51	+86	+93	+106	+71
100	120	+52	+59	+37	+69	+76	+54	+94	+101	+114	+79
120	140	+61	+68	+43	+81	+88	+63	+110	+117	+132	+92
140	160	+61	+68	+43	+83	+90	+65	+118	+125	+140	+100
160	180	+61	+68	+43	+86	+93	+68	+126	+133	+148	+108
180	200	+70	+79	+50	+97	+106	+77	+142	+151	+168	+122
200	225	+70	+79	+50	+100	+109	+80	+150	+159	+176	+130
225	250	+70	+79	+50	+104	+113	+84	+160	+169	+186	+140
250	280	+79	+88	+56	+117	+126	+94	+181	+190	+210	+158
280	315	+79	+88	+56	+121	+130	+98	+193	+202	+222	+170
315	355	+87	+98	+62	+133	+144	+108	+215	+226	+247	+190
355	400	+87	+98	+62	+139	+150	+114	+233	+244	+265	+208
400	450	+95	+108	+68	+153	+166	+126	+259	+272	+295	+232
450	500	+95	+108	+68	+159	+172	+132	+279	+292	+315	+252

rozměr		H horní																dolní
přes	do	5	6	7	8	9	10	11	12	13	16	17						
		1	3	+4	+6	+10	+14	+25	+40	+60	+100	+140	+600	+1000	0			
3	6	+5	+8	+12	+18	+30	+48	+75	+120	+180	+750	+1200	0					
6	10	+6	+9	+15	+22	+36	+58	+90	+150	+220	+900	+1500	0					
10	18	+8	+11	+18	+27	+43	+70	+110	+180	+270	+1100	+1800	0					
18	30	+9	+13	+21	+33	+52	+84	+130	+210	+330	+1300	+2100	0					
30	50	+11	+16	+25	+39	+62	+100	+160	+250	+390	+1600	+2500	0					
50	80	+13	+19	+30	+46	+74	+120	+190	+300	+460	+1900	+3000	0					
80	120	+15	+22	+35	+54	+87	+140	+220	+350	+540	+2200	+3500	0					
120	180	+18	+25	+40	+63	+100	+160	+250	+400	+630	+2500	+4000	0					
180	250	+20	+29	+46	+72	+115	+185	+290	+460	+720	+2900	+4600	0					
250	315	+23	+32	+52	+81	+130	+210	+320	+520	+810	+3200	+5200	0					
315	400	+25	+36	+57	+89	+140	+230	+360	+570	+890	+3600	+5700	0					
400	500	+27	+40	+63	+97	+155	+250	+400	+630	+970	+4000	+6300	0					

rozměr		N				P							
přes	do	5		6		7		8		7		9	
		hor	dol	hor	dol	hor	dol	hor	dol	hor	dol	hor	dol
1	3	-4	-8	-4	-10	-4	-14	-4	-18	-6	-16	-6	-31
3	6	-7	-12	-5	-13	-4	-16	-2	-20	-8	-20	-12	-42
6	10	-8	-14	-7	-16	-4	-19	-3	-25	-9	-24	-15	-51
10	18	-9	-17	-9	-20	-5	-23	-3	-30	-11	-29	-18	-61
18	30	-12	-21	-11	-24	-7	-28	-3	-36	-14	-35	-22	-74
30	50	-13	-24	-12	-28	-8	-33	-3	-42	-17	-42	-26	-88
50	80	-15	-28	-14	-33	-9	-39	-4	-50	-21	-51	-32	-106
80	120	-18	-33	-16	-38	-10	-45	-4	-58	-24	-59	-38	-124
120	180	-21	-39	-20	-45	-12	-52	-4	-67	-28	-68	-43	-143
180	250	-25	-45	-22	-51	-14	-60	-5	-77	-33	-79	-50	-165
250	315	-27	-50	-25	-57	-16	-66	-5	-86	-36	-88	-56	-186
315	400	-30	-55	-26	-62	-16	-73	-5	-94	-41	-98	-62	-202
400	500	-33	-60	-27	-67	-17	-80	-6	-103	-45	-108	-68	-223

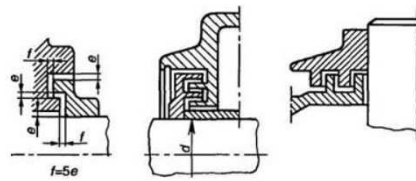
Tento výběr z norem je spolufinancován Evropským sociálním fondem a státním rozpočtem České republiky.



## **PŘÍLOHA Č. 6**

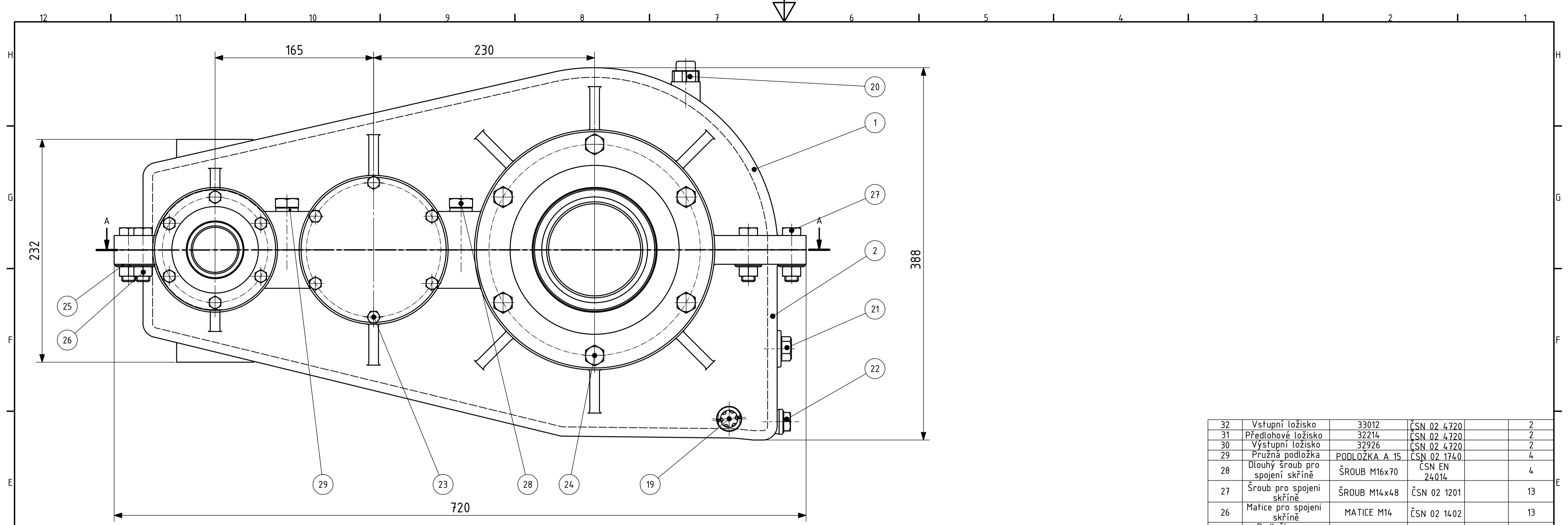
# **Rozměry labyrintového těsnění**

Tabulka : Rozměry labyrintových vůlí [16]

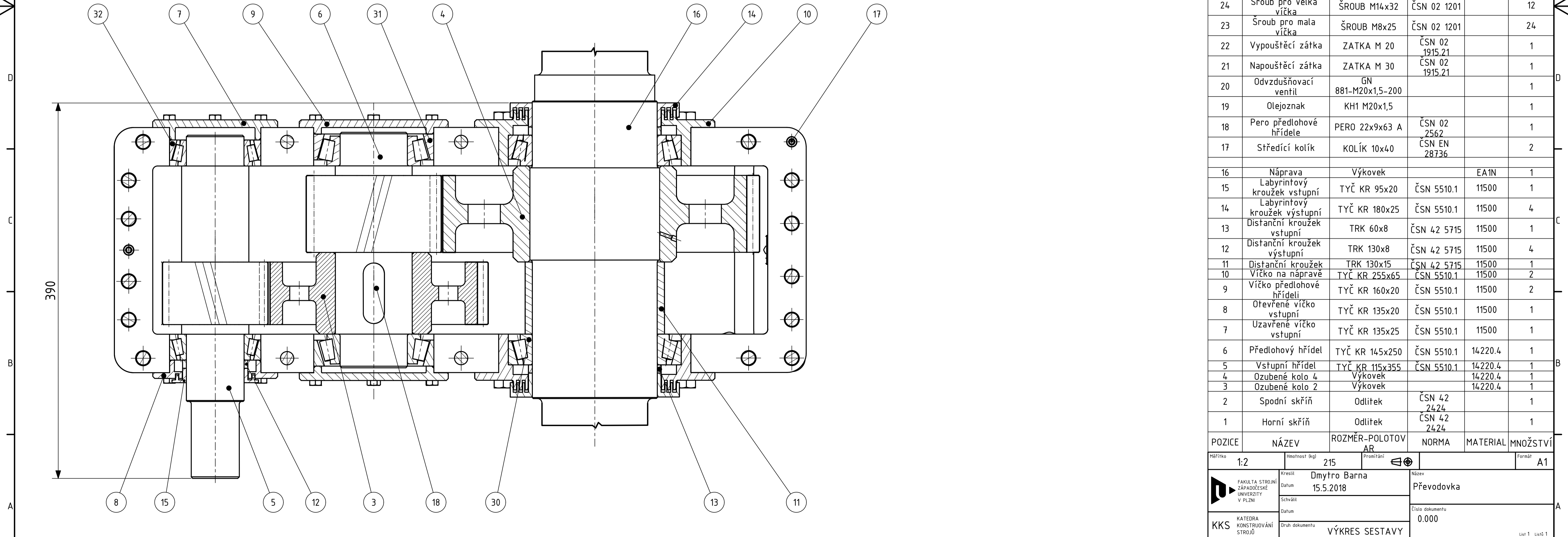


d	e	d	e	d	e	d	e
10; 15; 20;	0.2	45; 50; 55;	0.3	85; 90; 95;	0.4	120; 130;	0.5
25; 30; 35;		60; 65; 70;		100; 105;		140; 150;	
40		75; 80		110		160; 170	



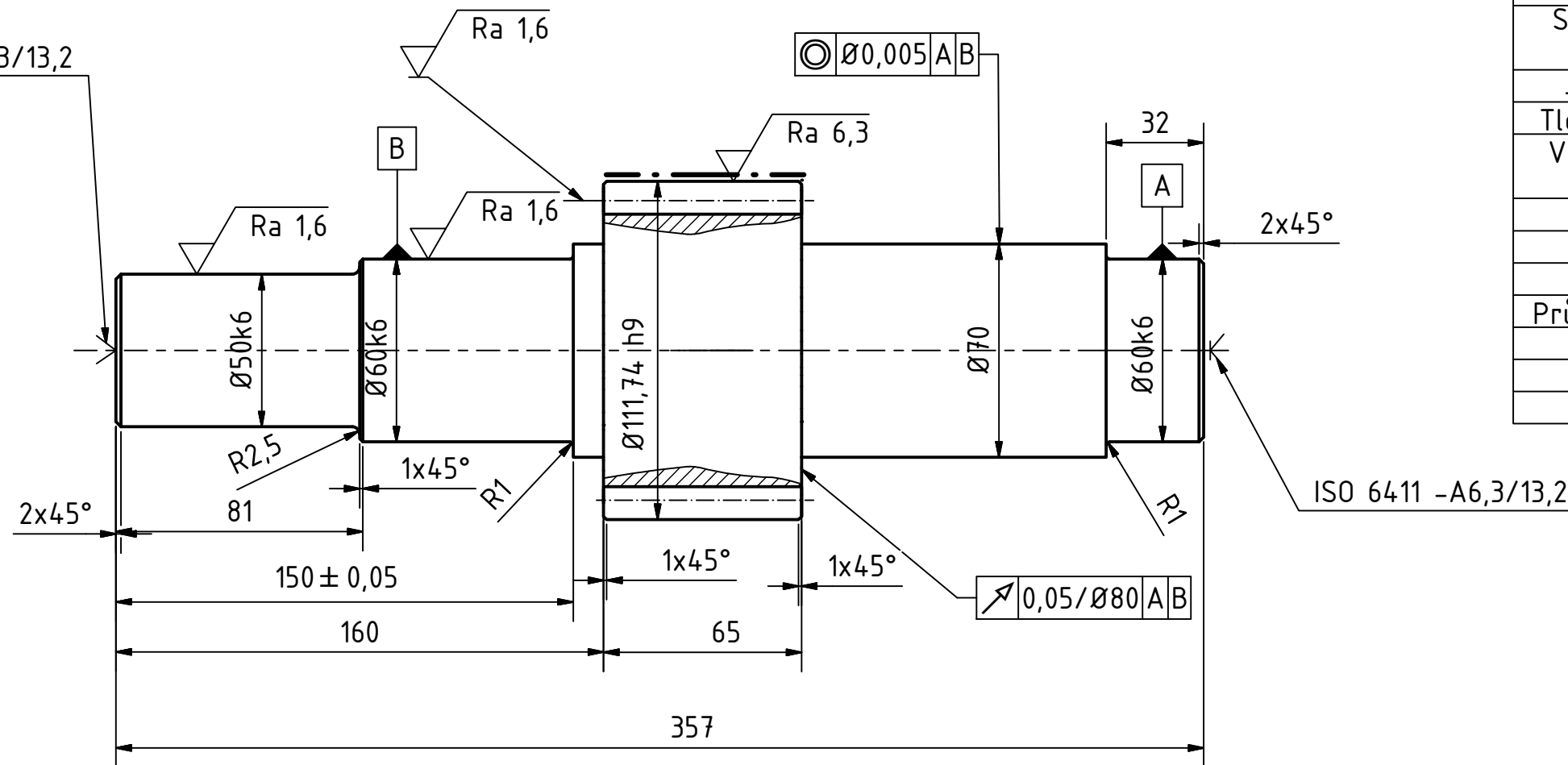


A-A (1:2)



32	Vstupní ložisko	33012	ČSN 02 4720		2
31	Předlohavé ložisko	32214	ČSN 02 4720		2
30	Výstupní ložisko	32926	ČSN 02 4720		2
29	Pružná podložka	PODLOŽKA A 15	ČSN 02 1740		4
28	Dlouhý šroub pro spojení skříně	ŠROUB M16x70	ČSN EN 24014		4
27	Šroub pro spojení skříně	ŠROUB M14x48	ČSN 02 1201		13
26	Matice pro spojení skříně	MATICE M14	ČSN 02 1402		13
25	Podložka pro spojení skříně	PODLOŽKA A 15	ČSN 02 1702		13
24	Šroub pro velká víčka	ŠROUB M14x32	ČSN 02 1201		12
23	Šroub pro malá víčka	ŠROUB M8x25	ČSN 02 1201		24
22	Vypouštěcí zátka	ZATKA M 20	ČSN 02 1915.21		1
21	Napouštěcí zátka	ZATKA M 30	ČSN 02 1915.21		1
20	Odvzdušňovací ventil	GN 881-M20x1,5-200			1
19	Olejoznak	KH1 M20x1,5			1
18	Pero předlohavé hřídele	PERO 22x9x63 A	ČSN 02 2562		1
17	Středící kolík	KOLÍK 10x40	ČSN EN 28736		2
16	Náprava	Výkovek		EA1N	1
15	Labyrintový kroužek vstupní	TYČ KR 95x20	ČSN 5510.1	11500	1
14	Labyrintový kroužek výstupní	TYČ KR 180x25	ČSN 5510.1	11500	4
13	Distanční kroužek vstupní	TRK 60x8	ČSN 42 5715	11500	1
12	Distanční kroužek výstupní	TRK 130x8	ČSN 42 5715	11500	4
11	Distanční kroužek	TRK 130x15	ČSN 42 5715	11500	1
10	Víčko na nápravě	TYČ KR 255x65	ČSN 5510.1	11500	2
9	Víčko předlohavé hřídeli	TYČ KR 160x20	ČSN 5510.1	11500	2
8	Otevřené víčko vstupní	TYČ KR 135x20	ČSN 5510.1	11500	1
7	Uzavřené víčko vstupní	TYČ KR 135x25	ČSN 5510.1	11500	1
6	Předlohavý hřídel	TYČ KR 145x250	ČSN 5510.1	14220.4	1
5	Vstupní hřídel	TYČ KR 115x355	ČSN 5510.1	14220.4	1
4	Ozubené kolo 4	Výkovek		14220.4	1
3	Ozubené kolo 2	Výkovek		14220.4	1
2	Spodní skříň	Odlitek	ČSN 42 2424		1
1	Horní skříň	Odlitek	ČSN 42 2424		1
POZICE	NÁZEV	ROZMÉR-POLOTOV AR	NORMA	MATERIAL	MNOŽSTVÍ
Měřítko 1:2	Skalárnost (kg)	215	Průmysl		Formát A1
	Kreslil	Dmytro Barna	Název	Převodovka	
	Datum	15.5.2018			
	Schválil		Číslo dokumentu	0.000	
	Datum				
KKS	Druh dokumentu	VÝKRES SESTAVY		Lst 1. Lst 0.1	

ISO 6411 -A6,3/13,2



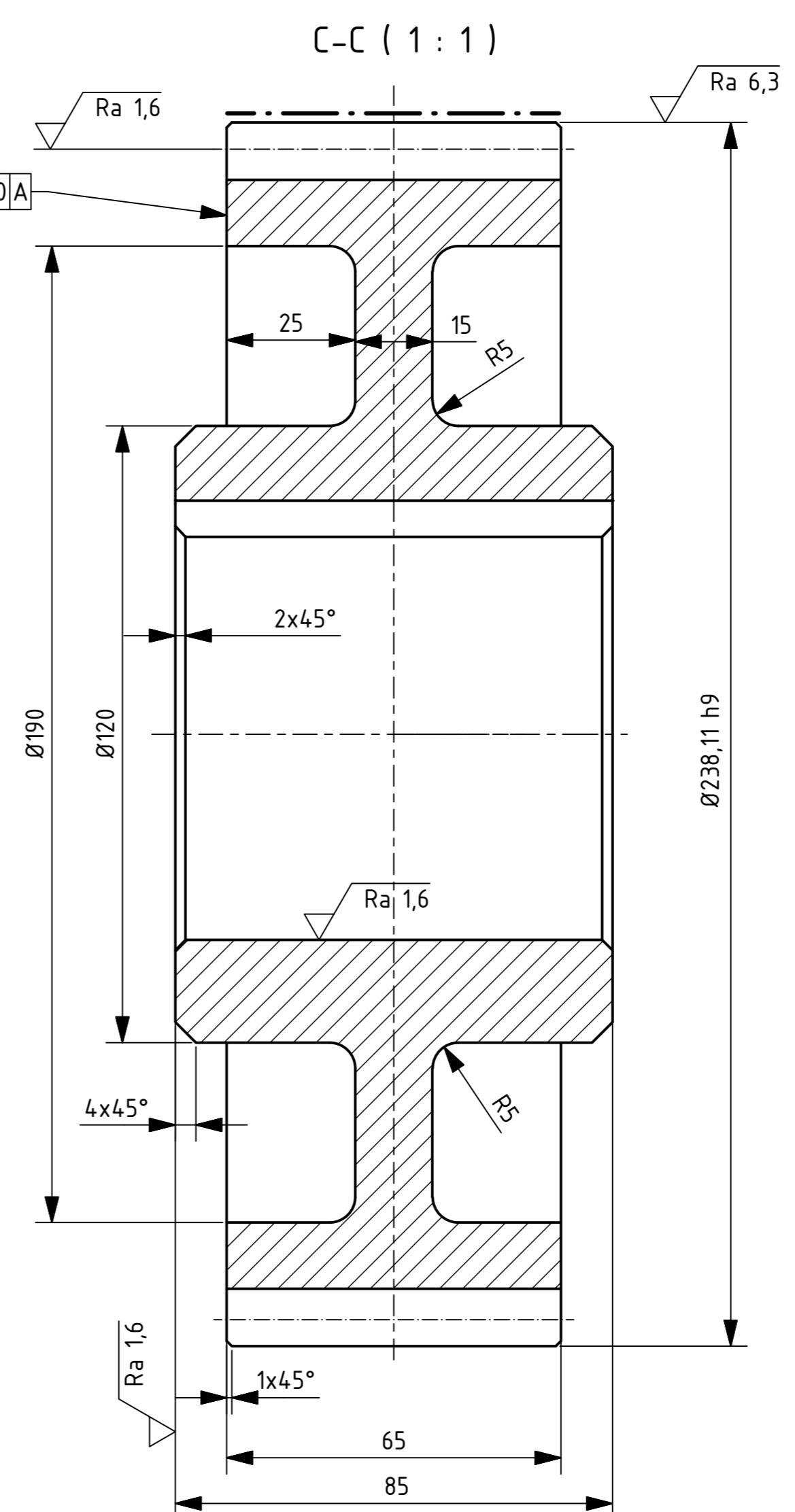
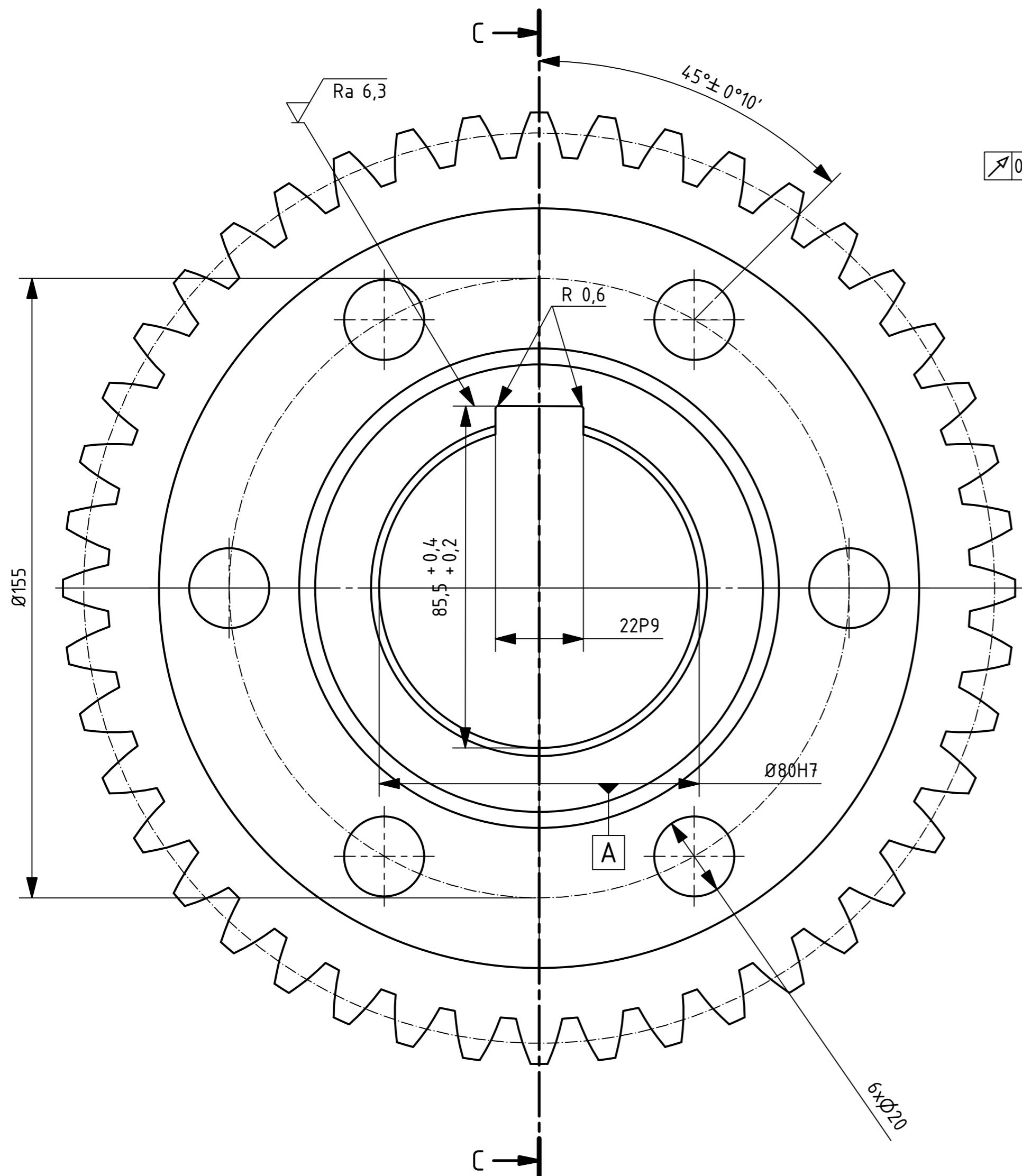
Počet zubů	z	19
Modul	m	5
Úhel profilu	alfa	20
Normální základní profil	CSN 01 4607	
Úhel sklonu boční křivky zubů	beta	15
Smysl stoupaní boční křivky zubů		levý
Jednotkové posunutí		0,354
Tloušťka zubů na třetivě		8,074
Výška hlavy zubů nad třetivou		5,224
Rozměr přes zuby	W	39,583
Rozměr přes kuličky	M	113,871
Modul čelní	mt	5,176
Průměr základní kružnice	db	92,034
Roztečný průměr	d	98,351
Patní průměr	df	89,395
Hlavový průměr	da	111,738

CEMENTOVÁNO A KALENO

Textura povrchu Ra 3,2 (✓)	Hrany ISO 13715 -0,4 / +0,4	Měřítko 1:2	Přesnost ISO 2768 - mK
		Hmotnost (kg) 10	Tolerování ISO 8015
			Promitání ⊕

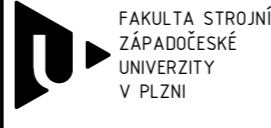
Materiál - Polotovár **TYČ KR 115x355ČSN 5510.1 14220,4** Formát **A3**

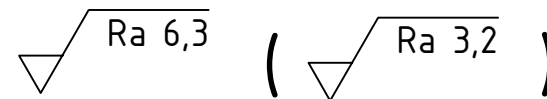
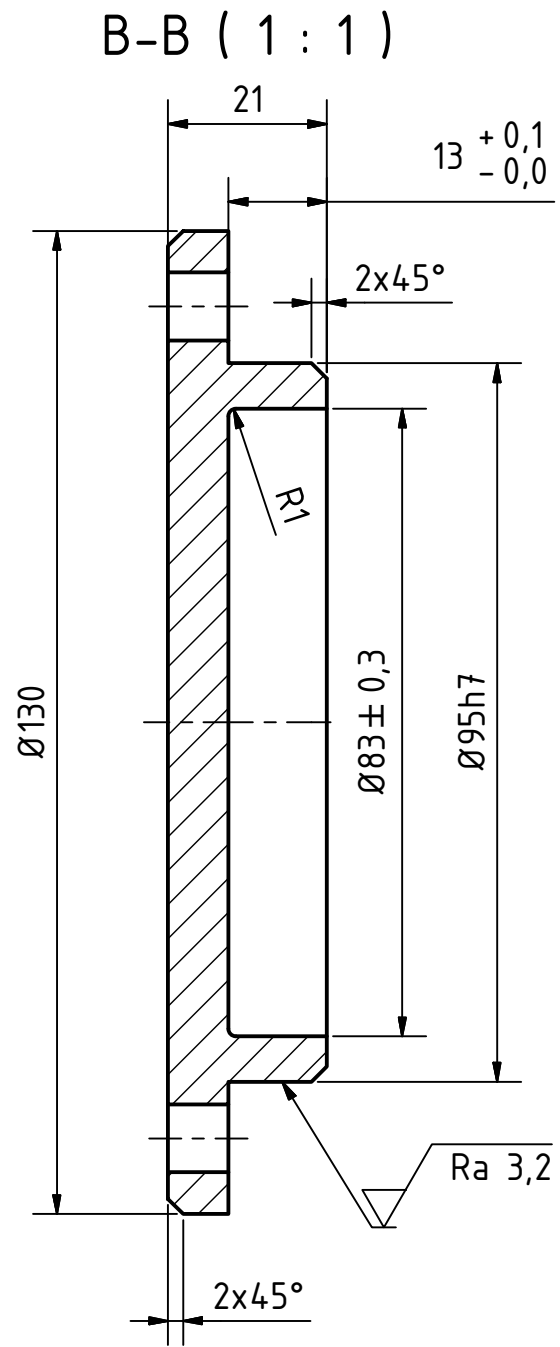
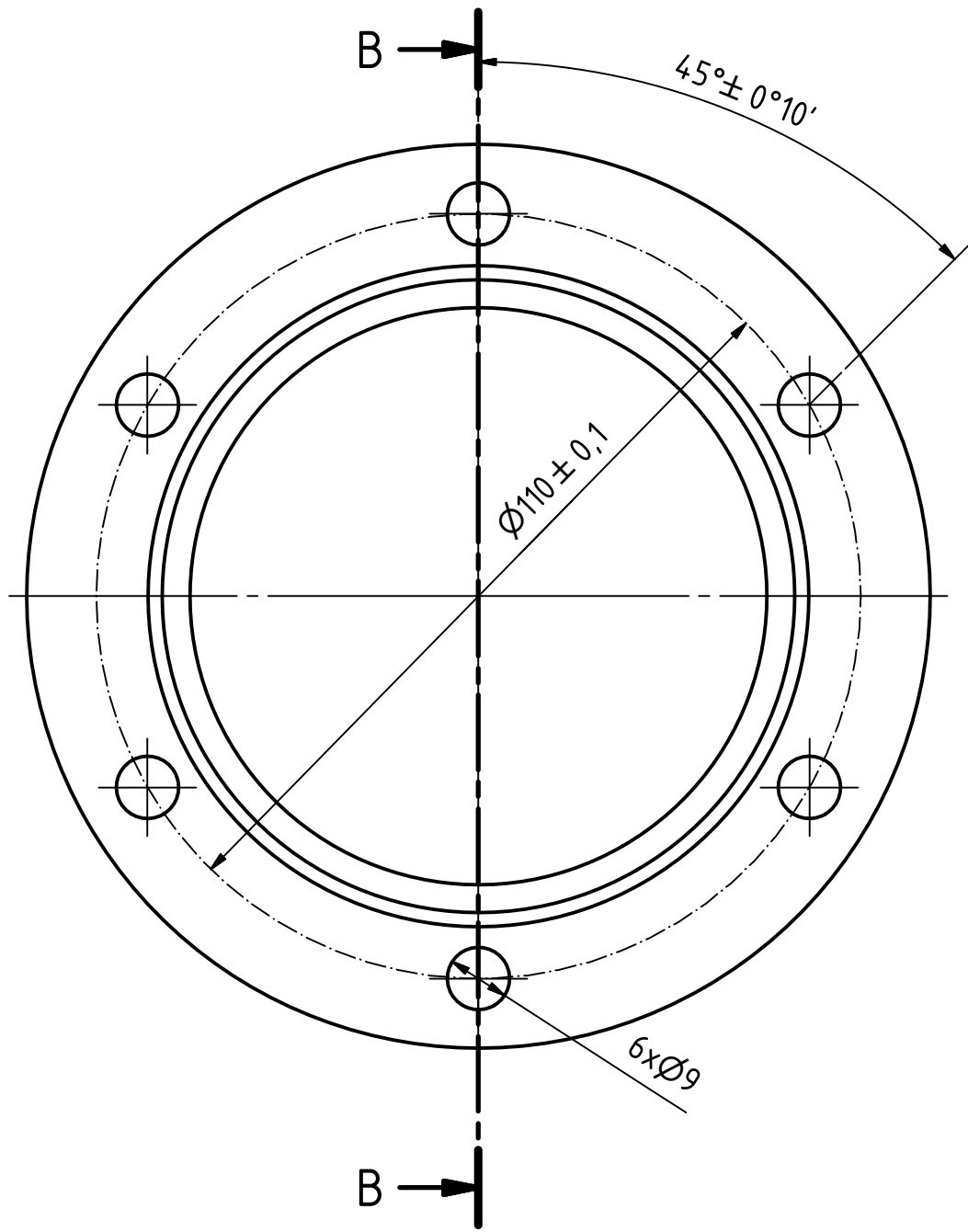
<p>FAKULTA STROJNÍ ZÁPADOČESKÉ UNIVERZITY V PLZNI</p>	Kreslil <b>Dmytro Barna</b>	Název <b>Vstupní hřídel</b>
	Datum <b>17.5.2018</b>	Číslo dokumentu <b>0.001</b>
KKS KATEDRA KONSTRUOVÁNÍ STROJŮ	Schválil  Datum  Druh dokumentu <b>VÝROBNÍ VÝKRES</b>	



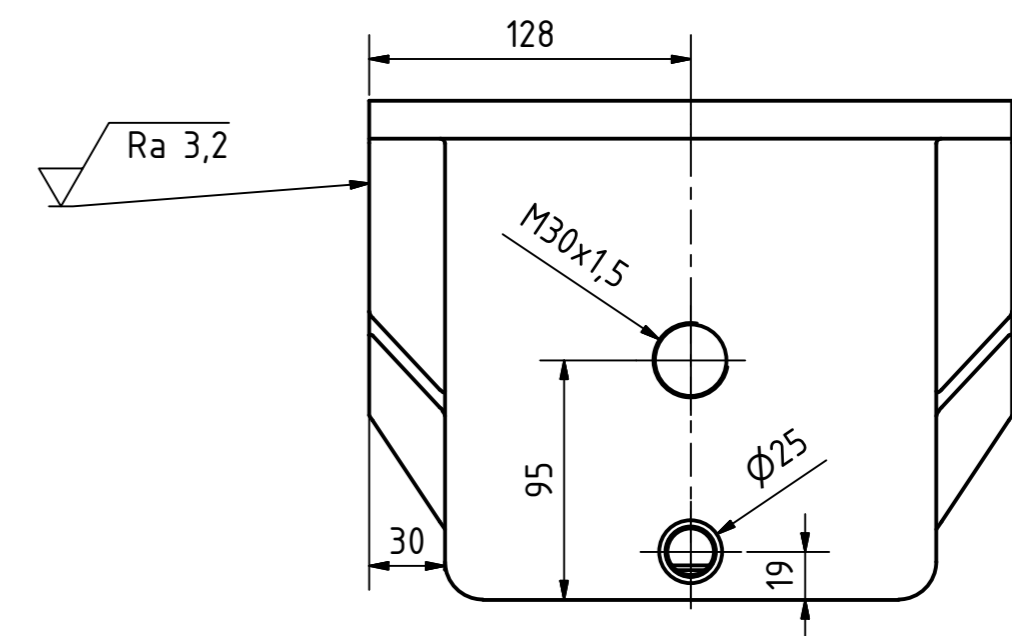
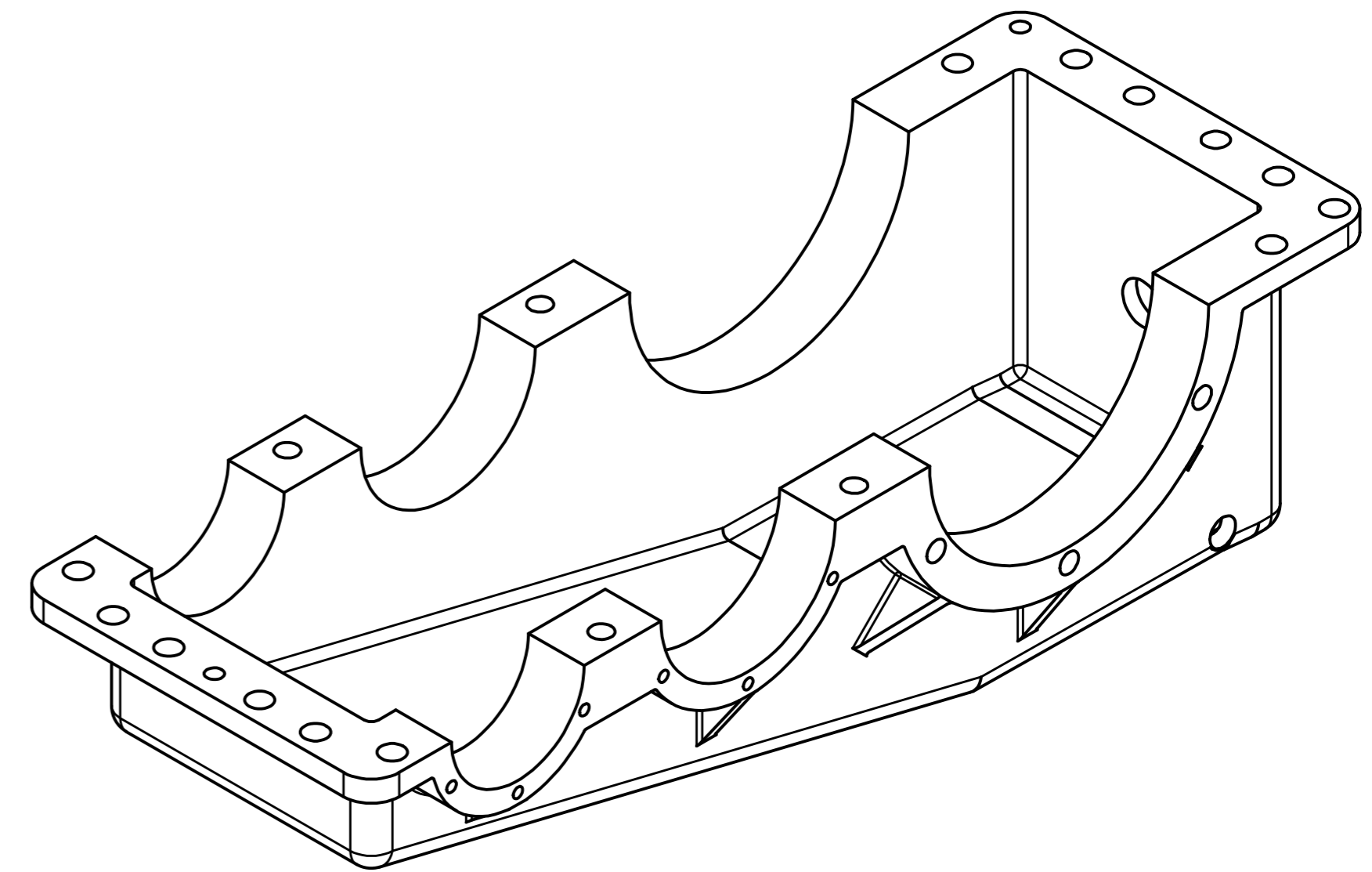
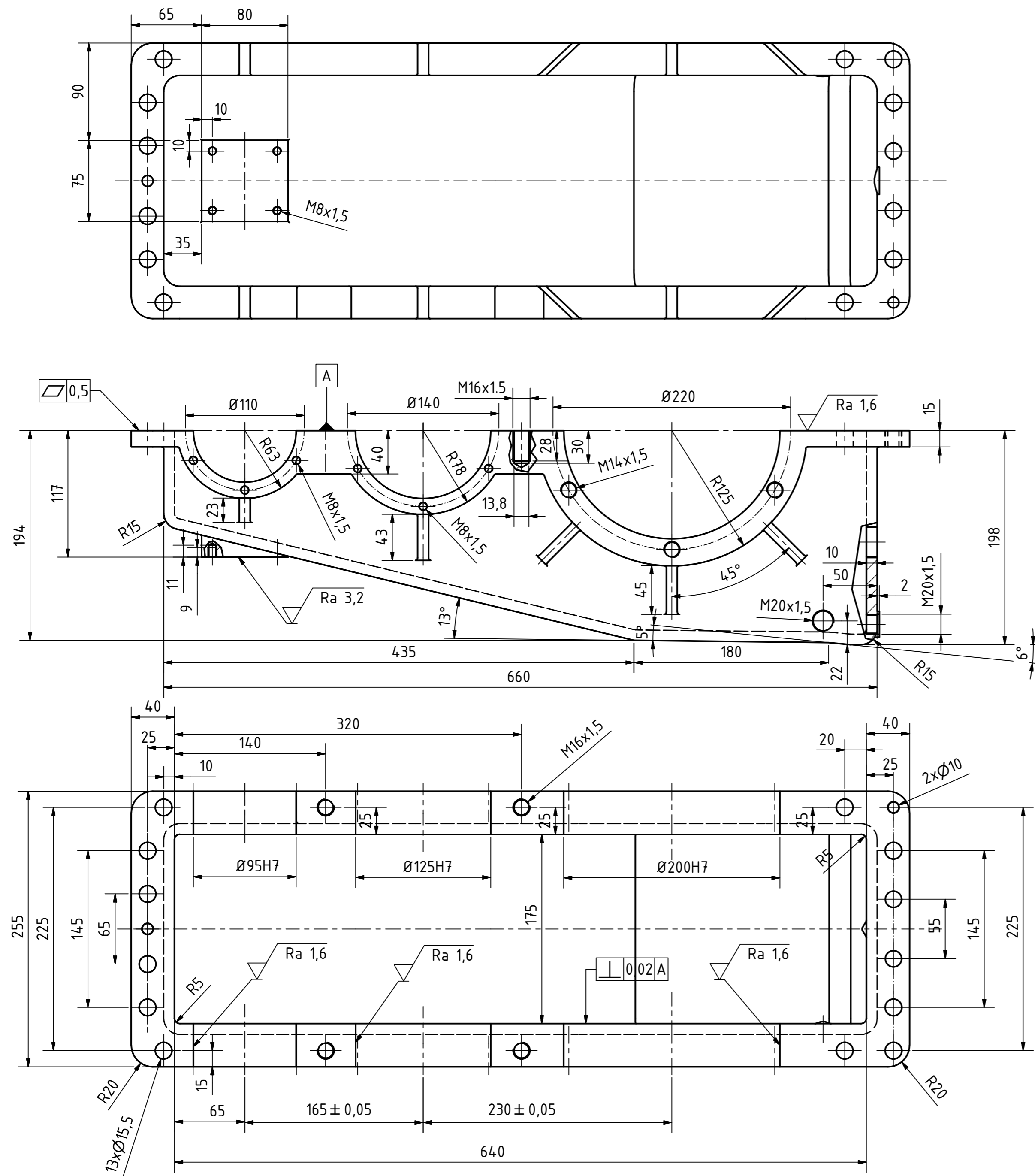
Počet zubů	z	44
Modul	m	5
Úhel profilu	alfa	20
Normální základní profil	CSN 01 4607	
Úhel sklonu boční křivky zubů	beta	15
Smysl stoupání boční křivky zubů		pravý
Jednotkové posunutí		0,0501
Tloušťka zubů na těživě		7,096
Výška hlavy zubů nad těživou		3,88
Rozměr přes zuby	W	84,756
Rozměr přes kuličky	M	241
Modul čelní	mt	5,176
Průměr základní kružnice	db	230,132
Roztečný průměr	d	227,76
Patní průměr	df	215,76
Hlavový průměr	da	238,11

--- CEMENTOVÁNO A KALENO  $\sqrt{Ra\ 3,2}$  (  $\sqrt{Ra\ 1,6}$  ,  $\sqrt{Ra\ 6,3}$  )

Textura povrchu $\sqrt{Ra\ 3,2}$ (✓)	Hrany ISO 13715 -0,4 +0,4	Měřítko 1:1	Přesnost ISO 2768 - mK
		Hmotnost (kg) 13	Tolerování ISO 8015
			Promítání $\left[ \begin{array}{c} \text{---} \\ \text{---} \end{array} \right]$
Materiál - Polotovár Vykovák 14220.4		Formát A2	
 FAKULTA STROJNÍ ZÁPADOČESKÉ UNIVERZITY V PLZNI	Kreslil Dmytro Barna	Název Ozubene kolo 2	
	Datum 17.5.2018	Číslo dokumentu 0.002	
KKS KATEDRA KONSTRUOVÁNÍ STROJŮ	Datum	Druh dokumentu VÝROBNÍ VÝKRES	



Textura povrchu $Ra 6,3$ (✓)	Hrany ISO 13715 $-0,4$ $+0,4$	Měřítko 1:1	Přesnost ISO 2768 - mK
		Hmotnost (kg) 0,2	Tolerování ISO 8015
Materiál - Polotovár TYČ KR 135x25 ČSN 5510.1 11500		Promítání 	
Kreslil Dmytro Barna Datum 17.5.2018		Formát A3	
KKS KATEDRA KONSTRUOVÁNÍ STROJŮ	Schválil Datum		Název Uzavřené víčko vstupní
	Druh dokumentu VÝROBNÍ VÝKRES		Číslo dokumentu 0.003



Nekotována tloušťka stěn 10 mm  
 Nekotované radiusy R2  
 Tloušťka žebér 10 mm  
 Drsnost vrtaných otvoru Ra 6,3

Ra 12,5 (✓)		Hrany ISO 13715 -0,4 / +0,4		Měřítko 1:3	Přesnost ISO 2768 - mK
Ra 12,5 (✓)				Hmotnost (kg) 35	Tolerování ISO 8015
Materiál - Polotovár Odlitek ČNS 42 2424				Formát A2	
 FAKULTA STROJNÍ ZÁPADOČESKÉ UNIVERZITY V PLZNI	Kreslil Dmytro Barna	Název Spodní skříň			
	Datum 18.5.2018	Číslo dokumentu 0.004			
KKS KATEDRA KONSTRUOVÁNÍ STROJŮ	Datum	Druh dokumentu VÝROBNÍ VÝKRES			